

PONTIFÍCIA UNIVERSIDADE CATÓLICA DE SÃO PAULO
Programa de Pós Graduação em Economia e Administração FEA – PUC-SP



Núcleo de Estudos do Futuro
PUC . SP . Brasil



GPS

TEMA 9. LONGEVIDADE

1. INTRODUÇÃO

O presente trabalho da disciplina: Métodos Quantitativos e Qualitativos de pesquisa Empírica, têm como objetivo efetuar uma análise exploratória de dados relativos a um conjunto de 27 variáveis de características humanas ou não, selecionados previamente, com o objetivo de explicar questões relacionadas a LONGEVIDADE HUMANA em um universo de 132 países, sendo três categóricas e vinte e quatro variáveis quantitativas. Os softwares estatístico utilizados serão: **MINITAB e SPSS.**

Os dados serão obtidos em instituições confiáveis de renomes internacionais e apresentados de forma geral, os dados e variáveis.

Através da utilização do GRAPHICAL SUMMARY para cada variável, serão separadas as sintéticas das analíticas e realizado comentários. Após esse procedimento, as relações das variáveis serão analisadas todas juntas e separadas, através de dendogramas, e através da regressão Stepwise realizada análises em componentes principais, com o objetivo de verificar quais variáveis melhor explicam tais componentes.

Na sequência, será feita uma comparação entre oito regiões iniciais, utilizando ANOVAS, referente a cada variável, e realizados comentários sobre a relevância destas; a classificação não supervisionada dos países (dendograma), formando novos grupos de países mais relevantes, e através de ANOVAS serão feitas comparações entre tais, classificando as novas regiões (piores para melhores)

Através de Classificação Supervisionada (Análise Discriminante, Regressão Logística e Árvores de Classificação) será avaliada a eficiência relativa destas técnicas e a importância relativa das variáveis sintéticas e analíticas.

Na sequência serão repetidos os passos: Classificação não supervisionada e Classificação supervisionada, com foco em outras regiões: OUTROS, AIBER e AVECO; avaliando a posição da região AIBER em relação aos outros. Serão feitos Gráficos de Radar, separadamente por variáveis sintéticas e analíticas , com respectivos comentários.

Na sequência focaremos os 21 países da região AIBER (incluindo Cuba), repetiremos alguns passos citados acima, e realizaremos um Mapa da região, com comentários.

Por fim, faremos as considerações finais desse trabalho.

2. ENTENDENDO OS DADOS

2.1 Os Indivíduos

Os indivíduos desta análise são os 132 países analisados por uma serie de indicadores de referencia internacional. Os dados analisados de cada país são as variáveis que descrevemos a seguir.

2.2 As Variáveis

Esta pesquisa é composta por 24 variáveis quantitativas e 3 categóricas – o nome dos países, seu código e região. As mesmas são melhores explicadas na Tabela 1. As variáveis podem ainda ser divididas em índices sintéticos e variáveis-componentes ou indicadores, do seguinte modo: Das vinte e três variáveis quantitativas:

- 7 variáveis que são em realidade índices sintéticos;
- O Índice de Idade Assistida (Agewatch Index) é composto por 5 variáveis intrínsecas ao indicador e mais outras 8 variáveis que são indicadores diretamente extraídos do Banco Mundial (*World Development Indicators*). Destas últimas, 6 são referentes ao ano de 2013 e os outros dois, de 2012.
- O índice de progresso social é composto por 1 variável intrínseca a este índice e outras 2 obtidas diretamente do Relatório Anual de Desenvolvimento Humano (HDR – *Human Development Report*)

2.2.1 Índices sintéticos: São sete: Índice de Progresso Social, o Índice de Desenvolvimento Humano (IDH)¹, Índice de Governança, Índice de Proteção Ambiental (EPI²), o Índice de Planeta Feliz (HPI³), Índice de Idade Assistida⁴ (Agewatch) e o Índice de Ginni para os países selecionados.

2.2.2 Indicadores componentes do Índice de Progresso Social (IPS): São 3 indicadores, sendo 1 (Expectativa de Vida) referente à dimensão “Fundamentos do Bem-Estar” mais especificamente no grupo de componentes “Saúde e Bem-Estar”. Os outros 2 (expectativas de nascimento masculino e feminina) são indicadores presentes no Relatório Anual de Desenvolvimento Humano de 2013.

2.2.3 Indicadores componentes do Índice de Idade Assistida (Agewatch Index): São 7 indicadores promulgados pela Organização das Nações Unidas, divisão de Pesquisa e Estatística de População Humana. São eles: “Percentual da População de um país com idades igual ou superior a 65 anos”, “Crescimento anual da População”, “Percentual de População Feminina de um País”, “População Total de um País”, “Percentual de sobrevivência feminina até 65 anos”, “Percentual de sobrevivência masculina até 65 anos”. Os 5 primeiros indicadores se referem ao ano de 2013 e os dois últimos a 2012. Os outros 5 indicadores são promulgados pela Helpage Organization⁵. Estes indicadores são: “Percentual da População de um País acima de 60 anos”, “Condições de Saúde de Pessoas Idosas” (*Health Status*), “Aptidão, Inserção e Acesso de Pessoas Idosas no Emprego e na Educação” (*Capability*), “Independência Financeira de Pessoas Idosas” (*Income Security*), que é o percentual da população idosa que recebe proventos o suficiente para ser independente financeiramente de outras pessoas, e “Ambiente e Condições de Vida Favoráveis a Pessoas Idosas” (*Enabling Environment*), que se refere às condições de vida, de transporte público, cidadania e segurança voltadas às pessoas idosas.

¹ Índice publicado pelo PNUD – ONU

² A sigla EPI se refere ao termo *Environmental Protection Index*.

³ A sigla é devida a abreviação de *Happy Planet Index*.

⁴ Do Inglês Agewatch, que trata de política para idosos,

⁵ Helpage Organization é uma organização mundial em defesa das pessoas idosas. Analisa diversos indicadores relacionados às condições sócio-econômicas e vida das mesmas.

Tabela 1. As Variáveis e os Respectivos Anos de Referência

| Variável | Significado | Tipo | Unidade de Medida |
|---|---|-----------------------|-------------------|
| País | É o nome do país presente na base de dados. | Variável Categórica | N/A |
| Código do País | É o código do país, composto de três letras atribuída a cada país em estudo (Country Code). | Variável Categórica | N/A |
| Região | É a região geográfica em que o país está localizado. Existem ao todo 20 regiões no mundo: Austrália e Nova Zelândia; Ásia Central; Leste da Ásia; Oeste da Ásia; Sul da Ásia; Norte da Ásia; Norte da África; Sul da África; Leste da África; Oeste da África; África Central; Norte da Europa; Sul da Europa; Oeste da Europa; Leste da Europa; Ibero-América; Norte da América; América Central; Sul da América; Caribe; | Variável Categórica | N/A |
| Índice de Progresso Social (SPI) | Índice de Progresso Social | Variável Quantitativa | Porcentagem |
| Expectativa de Vida | Número médio de anos de vida das pessoas de um determinado país. | Variável Quantitativa | Anos |
| Expectativa de Vida Masculina | Número médio de anos de vida que as pessoas do sexo masculino têm, em um dado país. Ano Base: 2013 | Variável Quantitativa | Anos |
| Expectativa de Vida Feminina | Número médio de anos de vida que as pessoas do sexo feminino têm, em um dado país. Ano Base: 2013 | Variável Quantitativa | Anos |
| IDH | O Índice de Desenvolvimento Humano (IDH) mede o progresso de um país a partir de três dimensões: renda per capita, saúde e educação. Fonte/Ano Base: PNUD, 2013. | Variável Quantitativa | Porcentagem |
| Índice de Governança Governamental | Indica o efetivo exercício das condições de governabilidade de um país, suas instituições e o exercício da autoridade e autonomia. Inclui os processos que os governos são eleitos, monitorados e substituídos, a capacidade de governança efetiva e implementação de soluções. Adoção de políticas e ações visando o bem social e do cidadão. É subdividido em cinco dimensões: Controle da Corrupção, Aplicação das Leis, Estabilidade Política, Qualidade Regulatória e Voz e Contabilidade; | Variável Quantitativa | Porcentagem |
| Índice de Idade Assistida (Agewatch Index) - 2014 | HelpAge International's Global AgeWatch Index ranks countries by how well their ageing populations are faring. It is based on four domains that are key enablers of older people's wellbeing: income, health, capability and enabling environment. The world is ageing fast. By 2030, there will be more people over 60 | Variável Quantitativa | Porcentagem |

| | | |
|--|---|--|
| | <p>than under 10. Already there are more adults over 60 than children under 5. The Global AgeWatch Index has been developed and constructed by HelpAge International from international data sets drawn from the United Nations Department of Economic and Social Affairs, the World Bank, World Health Organization, International Labour Organization, UNESCO and the Gallup World Poll. It has benefited from a global advisory panel of more than 40 independent experts in ageing, health, social protection and human development. The need for a global ageing index. Data is needed for informed debate on ageing. Policy makers broadly agree that we can and should do better in measuring social and economic progress as a means to promote improvements. The result has been the emergence of a number of different indexes providing evidence that is useful for policy makers. However, none of the existing indexes provides a global picture of how well countries are doing to support the wellbeing of their ageing populations.</p> <p>For the first time the Global AgeWatch Index makes international comparisons of quality of life in older age possible. The Index is a tool to measure progress and aims to improve the impact of policy and practice on ageing populations. The Index brings together a unique set of internationally comparable data based on older people's income status, health status, capability (education and employment), and enabling environment. These domains have been selected because they were identified by older people and policy makers alike as key enablers of older people's wellbeing.</p> <p>Tradução para a língua portuguesa: Índice da HelpAge International AgeWatch Mundial classifica os países por quanto está sendo positivo o envelhecimento da população. Baseia-se quatro domínios que são elementos fundamentais de bem-estar das pessoas mais velhas: renda, saúde, capacidade e ambiente favorável. O mundo está envelhecendo rapidamente. Em 2030, haverá mais pessoas acima de 60 anos do que abaixo de 10 anos de idade. Já há mais adultos com mais de 60, do que crianças com menos de 5. O Índice</p> | |
|--|---|--|

| | | | |
|--|--|-----------------------|-------------|
| | <p>AgeWatch global foi desenvolvido e construído pela HelpAge International a partir de conjuntos de dados internacionais extraídos do Departamento das Nações Unidas de Direitos Econômicos e dos Assuntos Sociais, o Banco Mundial, Organização Mundial da Saúde, Organização Internacional do Trabalho, a UNESCO e do Gallup World Poll. Ele se beneficiou de um painel consultivo global de mais de 40 especialistas independentes no envelhecimento, a saúde, a proteção social e o desenvolvimento humano. Há necessidade de um índice de envelhecimento global. Os dados são necessários para o debate informado sobre o envelhecimento. Os formuladores de políticas concordam amplamente que podemos e devemos fazer melhor na medição do progresso social e econômico como meio para promover melhorias. O resultado foi o surgimento de um número de diferentes índices que comprovam que é útil para a decisão política. No entanto, nenhum dos índices existentes fornece uma visão global de como os países estão fazendo para apoiar o bem-estar das suas populações envelhecidas.</p> <p>Pela primeira vez, o Índice Global de AgeWatch faz comparações internacionais de qualidade de vida na velhice possível. O índice é uma ferramenta para medir o progresso e tem o objetivo de melhorar o impacto das políticas e práticas sobre envelhecimento das populações. O índice reúne um conjunto único de dados internacionalmente comparáveis com base em (educação e emprego) na renda, estado de saúde, capacidade das pessoas mais velhas, e ambiente favorável. Estes domínios foram selecionados porque eles foram identificados por pessoas mais velhas e decisões políticas tanto quanto os fatores fundamentais de bem-estar das pessoas idosas.</p> | | |
| % da População com mais de 60 anos | Quociente entre o número de pessoas com idade igual ou superior a 60 anos, dividido pelo número total de pessoas de um país. Fonte/Ano Base: ONG “Helpage Organization”, 2014. | Variável Quantitativa | Porcentagem |
| Income Security (Segurança Financeira) | Independência Financeira de Pessoas Idosas Fonte: Helpage Organization | Variável Quantitativa | Porcentagem |
| Health Status | Condições de Saúde de Pessoas Idosas Fonte: Helpage Organization | Variável Quantitativa | Porcentagem |
| Capability | Aptidão, Inserção e Acesso de Pessoas Idosas | Variável | Porcentagem |

| | | | |
|--|---|-----------------------|--|
| | no Emprego e na Educação. Fonte: Helpage Organization | Quantitativa | |
| Enabling Environment | “Ambiente e Condições de Vida Favoráveis a Pessoas Idosas” que se refere às condições de vida, de transporte público, cidadania e segurança voltadas às pessoas idosas. Fonte: Helpage Organization. | Variável Quantitativa | Porcentagem |
| % da População com até 14 anos | Quociente entre o número de pessoas com idade até 14 anos, dividido pelo número total de pessoas de um país. Fonte/Ano Base: ONU, 2013. | Variável Quantitativa | Porcentagem |
| % da População entre 15 a 64 anos | Quociente entre o número de pessoas com idade entre 15 e 64 anos, dividido pelo número total de pessoas de um país. Fonte/Ano Base: ONU, 2013. | Variável Quantitativa | Porcentagem |
| % da População acima de 64 anos | Quociente entre o número de pessoas com idade acima de 64 anos, dividido pelo número total de pessoas de um país. Fonte/Ano Base: ONU, 2013. | Variável Quantitativa | Porcentagem |
| % de Crescimento Anual População | Quociente entre o número de pessoas nascidas em um determinado ano, dividido pelo número total de pessoas de um país. Fonte/Ano Base: ONU, 2013. | Variável Quantitativa | Porcentagem |
| % da População do sexo feminino | Quociente entre o número de pessoas do sexo feminino de um determinado ano, dividido pelo número total de pessoas de um país. Fonte/Ano Base: ONU, 2013. | Variável Quantitativa | Porcentagem |
| População Total de um País | Número total de pessoas que compõem a população de um País. Fonte/Ano Base: ONU, 2013. | Variável Quantitativa | habitantes |
| % de Sobrevivência da População feminina até a idade de 65 anos | Quociente entre o número de pessoas do sexo feminino, com idades entre 0 e 65 anos, dividido pelo número total de pessoas do sexo feminino de um dado país. Fonte/Ano Base: ONU, 2012. | Variável Quantitativa | Porcentagem |
| % de Sobrevivência da População masculina até a idade de 65 anos | Quociente entre o número de pessoas do sexo masculino, com idades entre 0 e 65 anos, dividido pelo número total de pessoas do sexo masculino de um dado país. Fonte/Ano Base: ONU, 2012. | Variável Quantitativa | Porcentagem |
| <i>Environmental Protection Index (EPI)</i> | The Environmental Performance Index (EPI) ranks how well countries perform on high-priority environmental issues in two broad policy areas: protection of human health from environmental harm and protection of ecosystems. Fonte: EPI | Variável Quantitativa | Pontuação do país, em escala centesimal. |
| Índice de Planeta Feliz (HPI) | The Happy Planet Index (HPI) is the leading global measure of sustainable well-being. The HPI measures what matters: the extent to which countries deliver long, happy, sustainable lives for the people that live in them. Fonte: HPI | Variável Quantitativa | Pontuação do país, em escala centesimal. |

| | | | |
|-----------------|---|-----------------------|--|
| Índice de Ginni | <p>Gini index measures the extent to which the distribution of income (or, in some cases, consumption expenditure) among individuals or households within an economy deviates from a perfectly equal distribution. A Lorenz curve plots the cumulative percentages of total income received against the cumulative number of recipients, starting with the poorest individual or household. The Gini index measures the area between the Lorenz curve and a hypothetical line of absolute equality, expressed as a percentage of the maximum area under the line. Thus a Gini index of 0 represents perfect equality, while an index of 100 implies perfect inequality.</p> <p>Tradução para a língua Portuguesa:</p> <p>Índice de Gini mede a extensão em que a distribuição de renda (ou em alguns casos, despesa de consumo) entre os indivíduos ou agregados familiares dentro de uma economia desvia de uma distribuição perfeitamente igual . Uma curva de Lorenz traça as percentagens cumulativas de rendimento total recebido contra o número acumulado de beneficiários , começando com o indivíduo ou agregado familiar mais pobre . As medidas de índice de Gini da área entre a curva de Lorenz e uma linha hipotética de igualdade absoluta , expressa em percentagem da superfície máxima abaixo da linha . Assim, um índice de Gini de 0 representa igualdade perfeita , enquanto um índice de 100 implica desigualdade perfeita.</p> | Variável Quantitativa | Pontuação do país, em escala centesimal. |
| OHI | Pontuação no Índice de Saúde dos Oceanos – OHI. Fonte: HPI | Variável Quantitativa | Pontuação do país, em escala centesimal. |

* As variáveis marcadas com * foram positivadas para as análises deste trabalho.

2.3 A Tabela de Dados

A tabela de dados está disponível no **Anexo I** em formato Excel e Minitab.

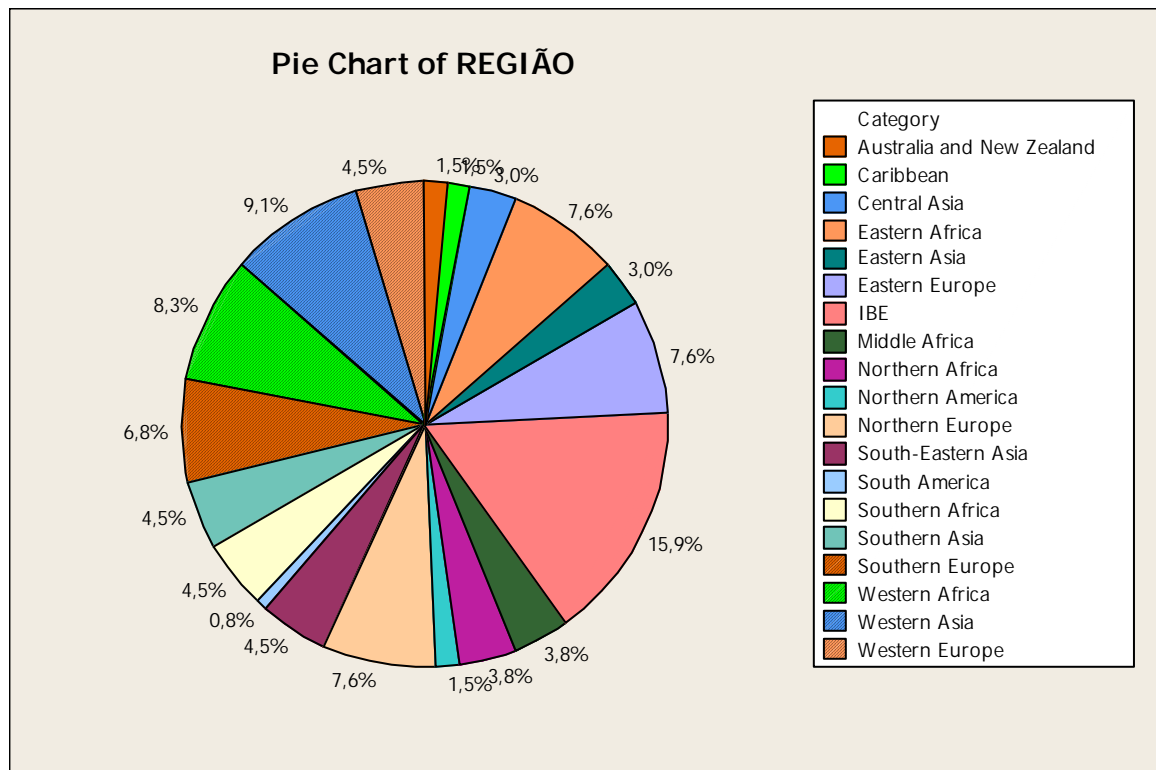
3. ANÁLISE DESCRIPTIVA DAS VARIÁVEIS

3.1 Variáveis Categóricas

Este tipo de variável indica que o foco de concentração deve ser a análise de gráficos do tipo **pie chart**, conforme abaixo.

3.1.1 Variáveis: Distribuição dos Países em Função das Regiões Geográficas.

A base de dados considerada totaliza 132 países listados categoricamente em países e seus respectivos códigos, agrupados pela região do mundo em que estão localizados. O Gráfico I abaixo mostra a distribuição de países por região, a saber: Austrália e Nova Zelândia; Ásia Central; Leste da Ásia; Oeste da Ásia; Sul da Ásia; Norte da Ásia; Norte da África; Sul da África; Leste da África; Oeste da África; África Central; Norte da Europa; Sul da Europa; Oeste da Europa; Leste da Europa; Ibero-América; Norte da América; América Central; Sul da América; Caribe.



Categorias:

1.

3.2 Variáveis Quantitativas

3.2.1 Substituição de valores vazios pela média da categoria

A análise deste tipo de variável permite a utilização de uma maior gama de ferramentas de análise como histogramas, curvas de densidade, gráfico de ramos, box-plot e dot-plot, além de informações numéricas como média, desvio-padrão, mediana, quartis, 5 números, intervalo de confiança e teste de normalidade de Anderson-Darling.

O primeiro tratamento realizado foi a substituição de células vazias (marcadas com asterisco) pelo valor médio das variáveis em cada variável. Na análise abaixo (Tabela 3) foi possível identificar o número de valores faltantes na coluna “N*” e a média de cada variável.

Tabela 3 configurar

| Total | | | | | | |
|---------------------------|-------|-----|----|----------|---------|------------|
| Variable | Count | N | N* | Mean | Minimum | Maximum |
| Social Progress Index | 132 | 132 | 0 | 63,67 | 32,60 | 88,24 |
| Life expectancy (years) | 132 | 132 | 0 | 70,355 | 46,669 | 82,695 |
| Life expectancy at birth | 132 | 132 | 0 | 73,232 | 48,290 | 86,951 |
| Life expectancy at birth | 132 | 132 | 0 | 68,268 | 48,218 | 80,309 |
| IDH - 2013 | 132 | 125 | 7 | 0,6894 | 0,3370 | 0,9440 |
| 1. Governança | 132 | 132 | 0 | 53,38 | 15,22 | 100,00 |
| 1. AgeWatch Index 2014 | 132 | 90 | 42 | 51,70 | 4,10 | 93,40 |
| % População com mais de | 132 | 90 | 42 | 15,298 | 3,700 | 32,800 |
| 1.1 Income Security | 132 | 90 | 42 | 58,80 | 6,00 | 89,10 |
| 1.2 Health Status | 132 | 90 | 42 | 52,94 | 18,80 | 83,90 |
| 1.3 Capabilitiy | 132 | 90 | 42 | 35,36 | 1,60 | 76,20 |
| 1.4 Enabling Environment | 132 | 90 | 42 | 66,070 | 45,100 | 83,700 |
| Population ages 0-14 (%) | 132 | 132 | 0 | 27,337 | 13,051 | 50,093 |
| Population ages 15-64 (%) | 132 | 132 | 0 | 63,842 | 47,289 | 84,289 |
| Population ages 65 and a | 132 | 132 | 0 | 8,821 | 0,418 | 25,078 |
| Population growth (annua | 132 | 132 | 0 | 1,2004 | -1,0650 | 3,8545 |
| Population, female (% of | 132 | 132 | 0 | 50,281 | 29,926 | 54,285 |
| Population, totalAno 201 | 132 | 132 | 0 | 48549054 | 323002 | 1357380000 |
| Survival to age 65, fema | 132 | 132 | 0 | 77,48 | 22,31 | 94,83 |
| Survival to age 65, male | 132 | 132 | 0 | 68,34 | 22,42 | 89,20 |
| EPI Score | 132 | 132 | 0 | 52,48 | 18,43 | 87,67 |
| Happy Planet Index | 132 | 129 | 3 | 42,673 | 22,591 | 64,036 |
| GINNI Index | 132 | 119 | 13 | 39,024 | 24,820 | 63,140 |

Num segundo passo, substituímos os valores faltantes pela média de cada variável, resultando na Tabela 3, abaixo, na qual verificamos que os valores faltantes foram zerados sem impacto na média da distribuição:

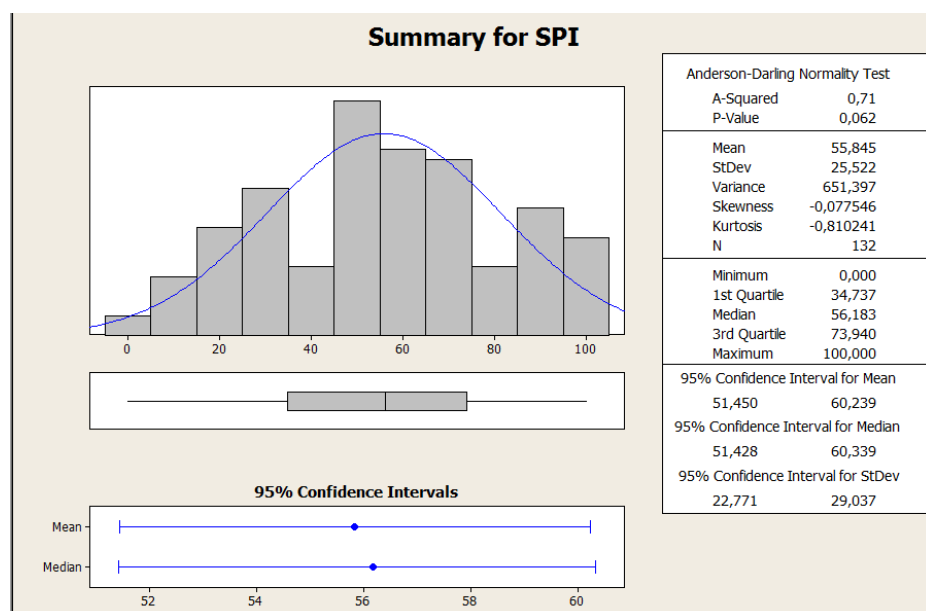
3.2.2 Análise das variáveis

Nesta seção utilizaremos as seguintes ferramentas estatísticas para analisar as 24 variáveis quantitativas : Histograma, Curva de Densidade, Box-Plot, Intervalo de confiança da média e mediana .

Também poderemos considerar na análise dados como Média, desvio-padrão, variância, quantidade de observações, valores mínimos, máximos, informações dos quartis e o teste de normalidade de Anderson-Darling (A-Squared e P-Value), para todas as variáveis.

ANÁLISE DESCRIPTIVA

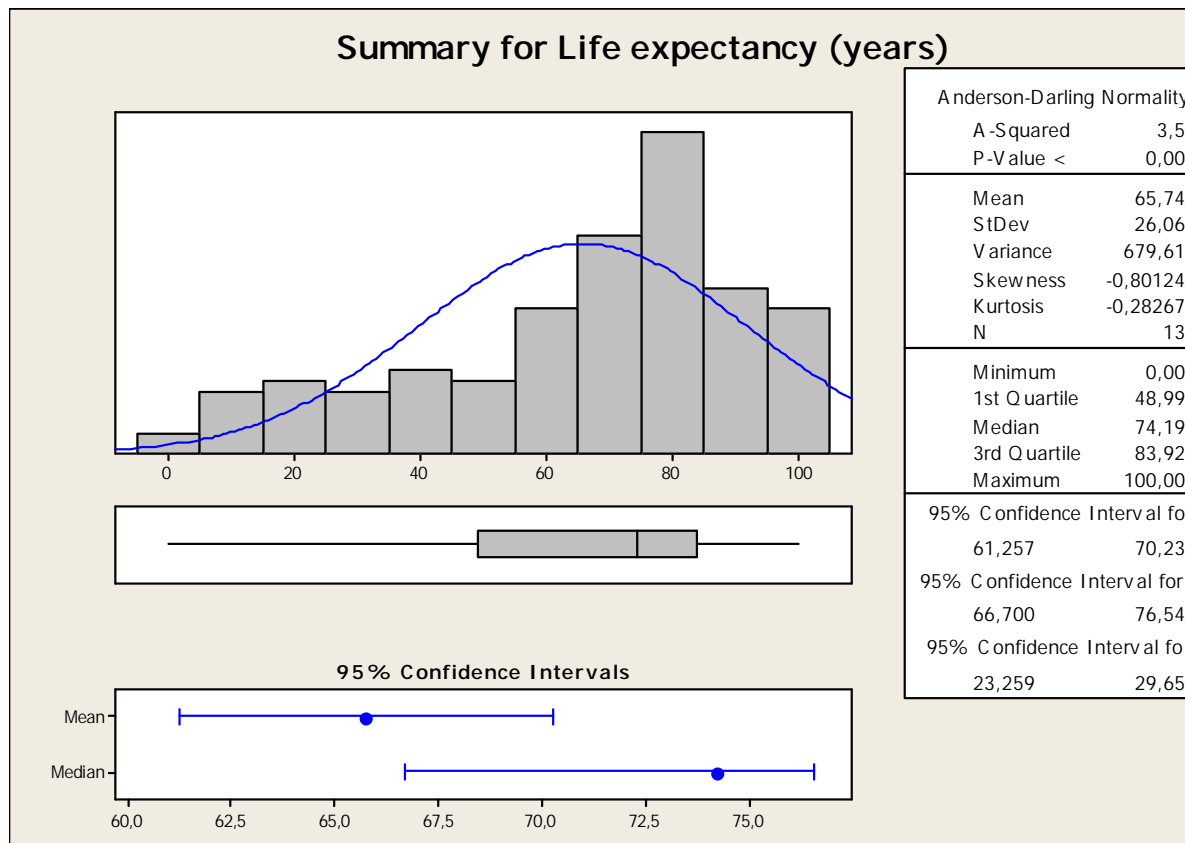
SPI – Índice de Progresso Social



A princípio a distribuição aproxima-se da normal. O gráfico registra a pontuação cardinal no conjunto de observações para os 132 países analisados.

Percebe-se um número menor de países do que o esperado classificados entre 35 e 45 com apenas 7 observações, e o mesmo fenômeno se repete para a faixa de pontuação 75 à 85, que também apresenta apenas 7 observações. O maior número de observações encontra-se na faixa de 45 a 55, com 24 observações. Esta faixa corresponde a última faixa imediatamente inferior à mediana e corresponde a um nível de desenvolvimento considerado “médio” pelo índice. A mediana de 56,183 e o terceiro quartil de 73,94 indicam o poder discricionário do índice, que consegue separar o grupo de países em 11 estratos bem definidos, o que pode ser bastante útil para classificações futura de dados.

Life Expectancy (years)



A princípio o indicador apresenta uma distribuição não simétrica, com desvio para a esquerda, indicando uma maior concentração de países nos estratos superiores, prova disso é o primeiro quartil estimado em 48,99 e a mediana em 74,19. Ademais, há uma concentração especificamente nos países com notas normalizadas de 65 a 75 e 75 a 85, registrando o maior pico nessa última faixa.

Registraramos então 21 países na faixa de 65 a 75, 31 países na faixa subsequente (pico) depois 16 países com nota acima de 85 e 14 com nota acima de 95. Como é possível verificar na Tabela 6, o primeiro grupo é composto de países de alto IPS, em sua maioria localizados na Europa, com expectativa de vida mínima de 80 anos.

Tabela 6 – Grupo de 14 países com maior expectativa de vida

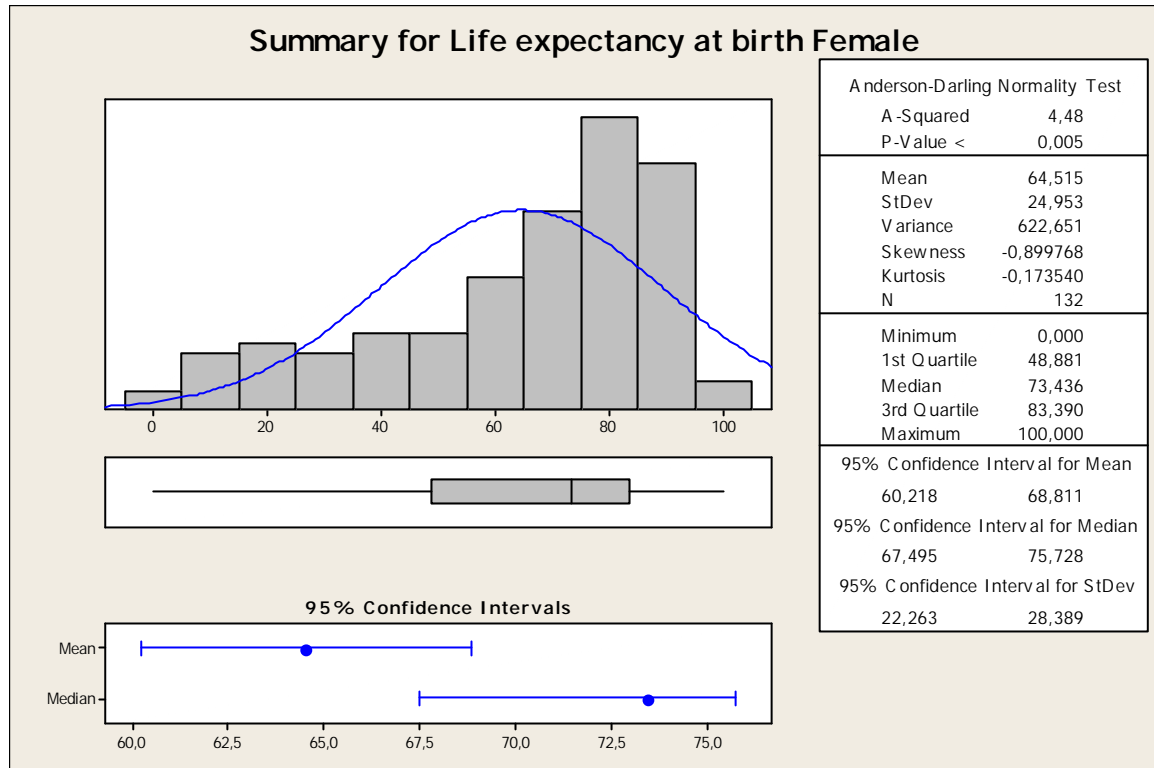
| País | CÓD | Região | IPS | LIFE_EXP |
|-------------|-----|---------------------------|-------|----------|
| Switzerland | CHE | Western Europe | 88,19 | 82,695 |
| Japan | JPN | Eastern Asia | 84,21 | 82,591 |
| Iceland | ISL | Northern Europe | 88,07 | 82,359 |
| Spain | ESP | IBE | 80,77 | 82,327 |
| Italy | ITA | Southern Europe | 76,93 | 82,088 |
| Australia | AUS | Australia and New Zealand | 86,10 | 81,85 |
| Sweden | SWE | Northern Europe | 87,08 | 81,802 |
| Israel | ISR | Western Asia | 71,40 | 81,756 |
| France | FRA | Western Europe | 81,11 | 81,668 |
| Norway | NOR | Northern Europe | 87,12 | 81,295 |
| Netherlands | NLD | Western Europe | 87,37 | 81,205 |
| Canada | CAN | Northern America | 86,95 | 81,068 |
| Austria | AUT | Western Europe | 85,11 | 81,03 |
| New Zealand | NZL | Australia and New Zealand | 88,24 | 80,905 |

Nos estratos inferiores, percebemos que não há outliers, indicando a continuidade das faixas etárias, no entanto há diferenças significativas - chegando a 10 anos de expectativa de vida - entre os últimos três estratos, que contém, respectivamente, dois, seis e sete países, Tabela 7. No primeiro estrato, Botswana e Lesotho figuram com 46,6 e 48,2 anos respectivamente. No segundo estrato, vemos um aumento gradual até chegar na faixa de 51,7 anos (Nigéria), aumentando continuamente até fechar o terceiro estrato com 55,6 anos (Burkina Faso). É nítida a relação deste indicador com a nota no IPS, embora Botswana, o pior colocado, não está entre os piores colocados no IPS, o que denota que o país deve ter tido notas superiores em outros indicadores.

Tabela 7 : Os quinze países com pior expectativa de vida

| País | CÓD | Região | IPS | LIFE_EXP |
|--------------------------|------------|-----------------|------------|-----------------|
| Botswana | BWA | Southern Africa | 65,60 | 46,669 |
| Lesotho | LSO | Southern Africa | 48,94 | 48,220 |
| Swaziland | SWZ | Southern Africa | 48,87 | 48,661 |
| Central African Republic | CAF | Eastern Africa | 34,17 | 48,793 |
| Mozambique | MOZ | Eastern Africa | 45,23 | 49,488 |
| Chad | TCD | Middle Africa | 32,60 | 50,236 |
| Angola | AGO | Middle Africa | 39,93 | 51,06 |
| Nigeria | NGA | Western Africa | 42,65 | 51,710 |
| Burundi | BDI | Eastern Africa | 37,33 | 53,137 |
| Cameroon | CMR | Middle Africa | 45,51 | 54,137 |
| Malawi | MWI | Southern Africa | 48,79 | 54,140 |
| Mali | MLI | Western Africa | 46,85 | 54,191 |
| South Africa | ZAF | Southern Africa | 62,96 | 55,296 |
| Burkina Faso | BFA | Western Africa | 47,33 | 55,440 |
| Guinea | GIN | Western Africa | 37,41 | 55,590 |
| | | | | |

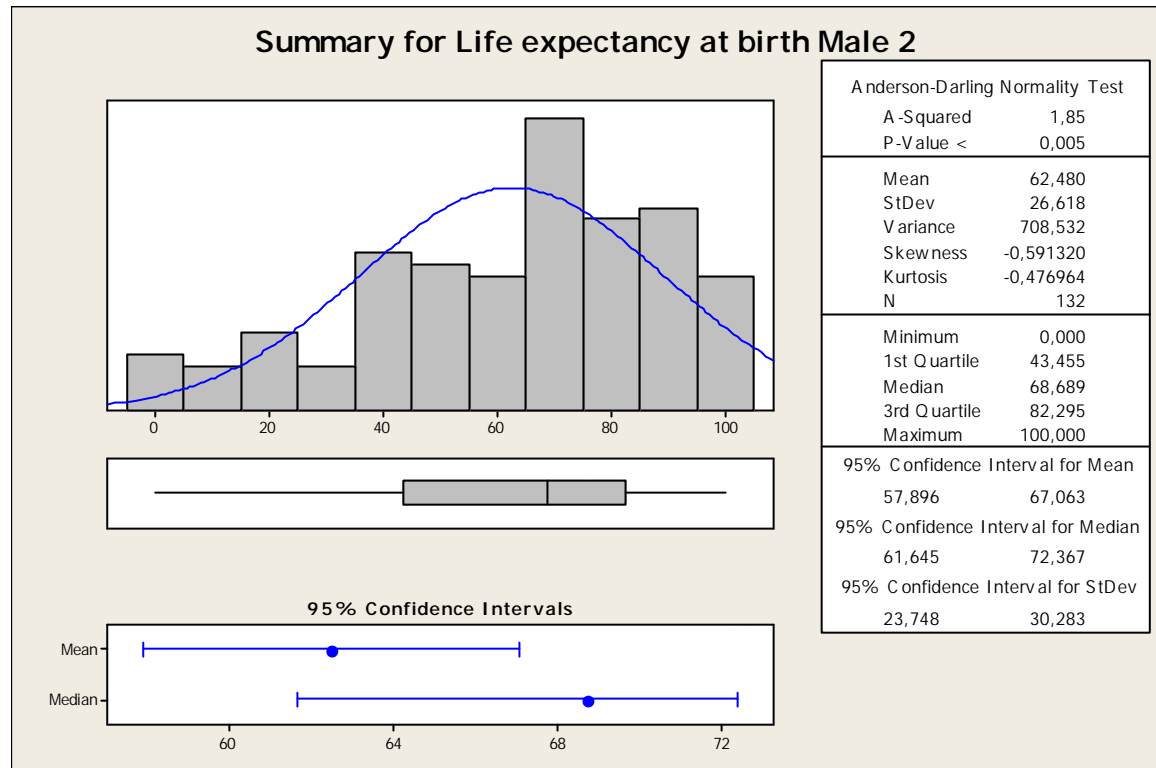
Life expectancy at birth Female



A princípio a distribuição apresenta uma curva não simétrica, deslocada para a esquerda. O gráfico registra a pontuação cardinal no conjunto de observações para os 132 países analisados.

Percebe-se que a média do indicador é de 73 . A mediana corresponde a 64, o primeiro quartil corresponde a 48, o terceiro quartil corresponde a 83.

Life expectancy at birth Male 2

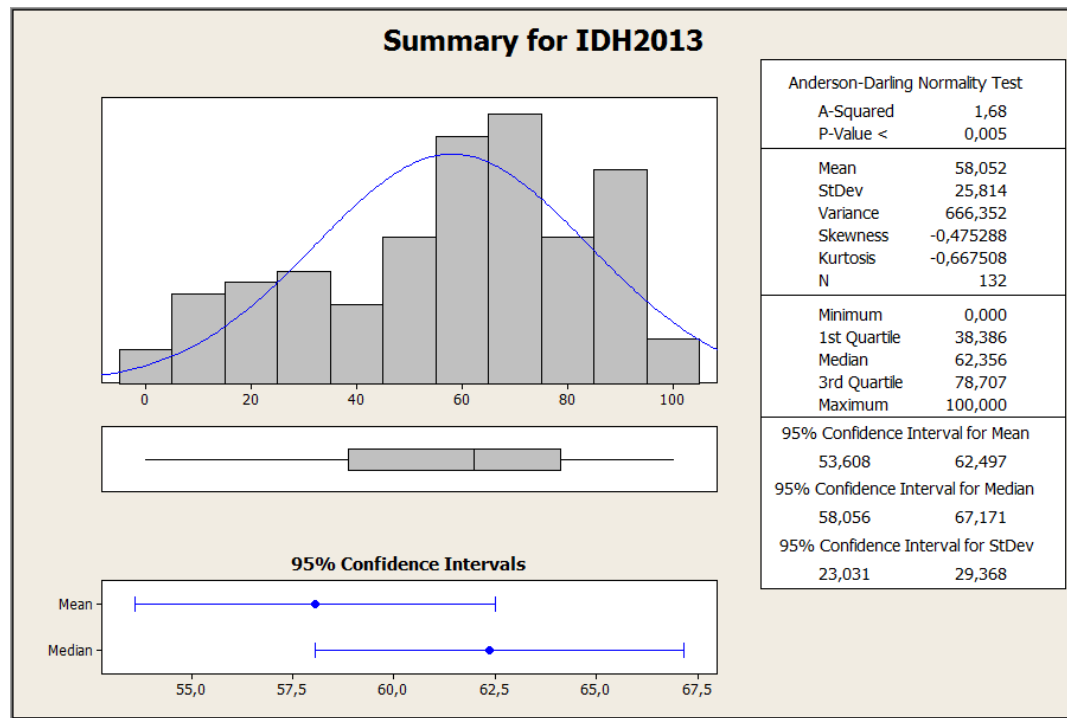


A princípio a distribuição é assimétrica, deslocada para a direita. O gráfico registra a pontuação cardinal no conjunto de observações para os 132 países analisados.

Percebe-se que a média de expectativa de vida de homens é de 62 anos, o mínimo é 0, e o máximo de expectativa de vida masculina é de 100 anos de idade. A mediana corresponde a 68 anos de idade, o primeiro quartil corresponde a 43 anos de idade, o terceiro quartil corresponde a 82 anos.

IDH (2013) - Índice de Desenvolvimento Humano (IDH/PNUD)

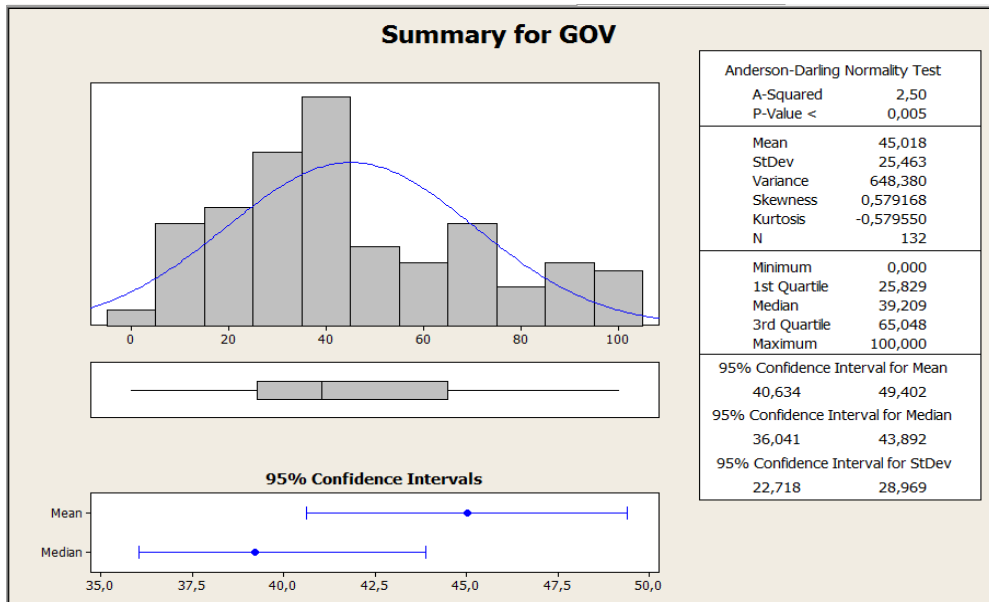
O Índice de Desenvolvimento Humano (IDH) mede o progresso de uma nação a partir de três dimensões: renda, saúde e educação. Fonte: PNUD, 2013.



O gráfico para o IDH aproxima-se de uma distribuição normal, mas deslocada para a direita, com uma concentração maior de países dos 55 aos 75 pontos, totalizando 46 países. Isso pode ser constatado também pela mediana, em 62,35. No estrato inferior, com 55,84 pontos, encontra-se o Paraguai, com IDH de 0,676 (considerado “médio” nível de desenvolvimento humano) e no estrato superior, com 74,62 pontos encontra-se o Uruguai, com IDH de 0,79 , que é considerado “alto desenvolvimento humano” pelo PNUD.

A partir destes dados é possível afirmar que 95, dos 132 países analisados tem nível de IDH “médio” ou superior.

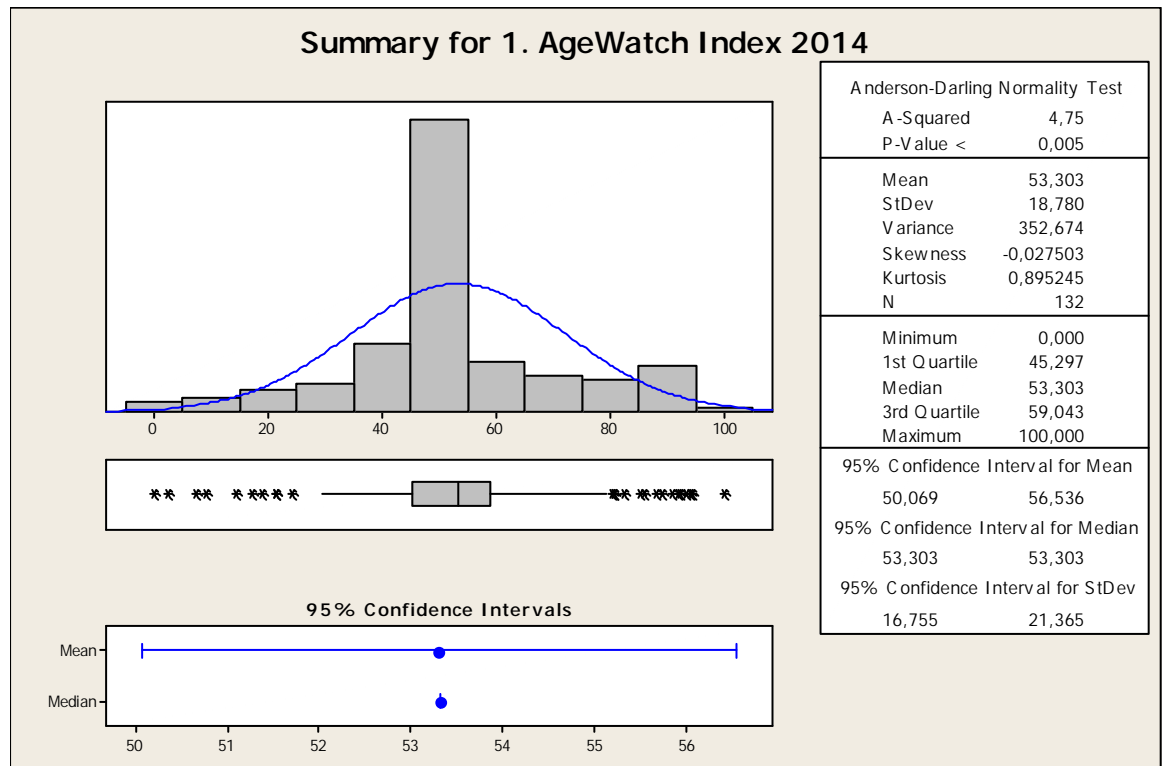
Índice de Governança



O gráfico para a variável GOV aproxima-se de uma distribuição assimétrica deslocada para a esquerda, o primeiro quartil de 25,82 e a mediana de 39,21 confirmam esse deslocamento, indicando uma concentração crescente de países entre as faixas de 5 a 15 (13 países), de 15 a 25 (15 países), de 25 a 35 (22 países) até chegar ao pico – a faixa 35 a 45 (29 países). Essas faixas agrupam o equivalente a 60% dos países analisados.

Em relação ao pico, os países mais bem colocados são a Macedônia (44,74), a Turquia (44,69) e o Kuwait (44,24) e na faixa inferior ficam Argentina (35,30), Benin (35,75) e Indonesia (35,96). Aparentemente trata-se de grupo bastante heterogêneo, não sendo possível estabelecer relações imediatas.

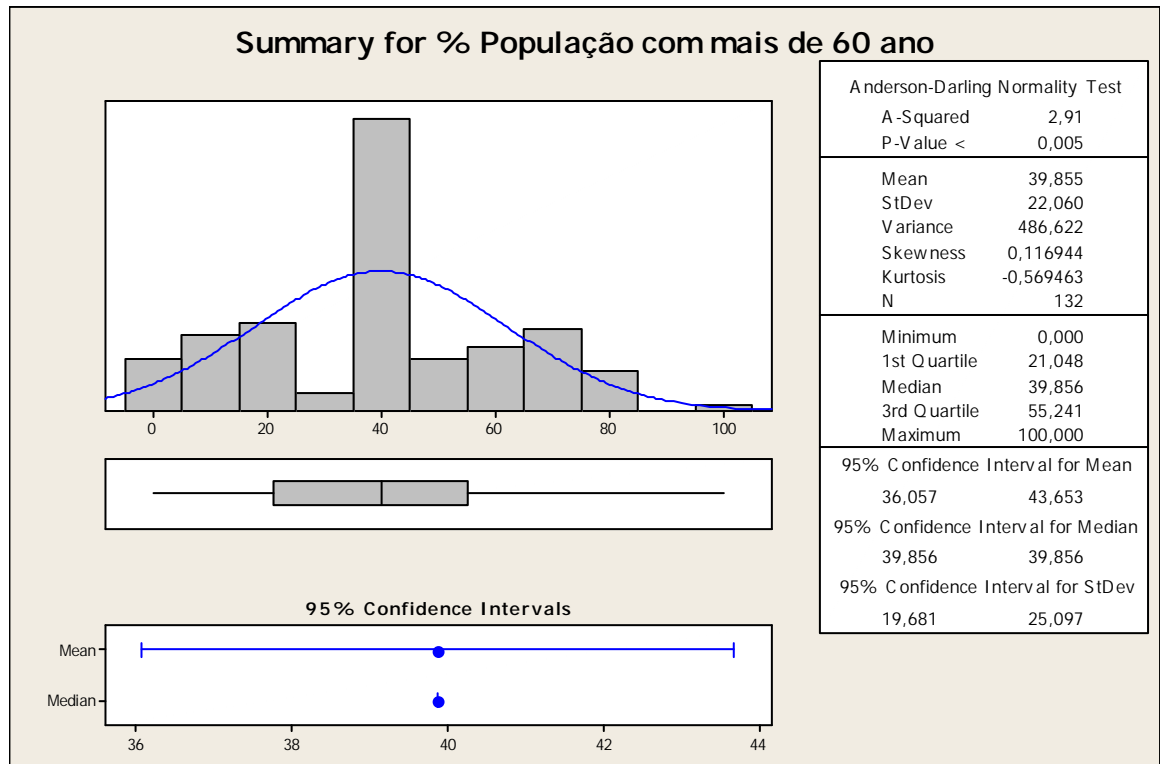
AgeWatch Index 2014



O gráfico para a variável AgeWatch Index 2014, aproxima-se de uma distribuição relativamente simétrica ,com pico elevado em seu centro. O gráfico registra a pontuação no conjunto de observações para os 132 países analisados.

Percebe-se que a média do indicador é de 53 , a mediana também corresponde a 53, o primeiro quartil corresponde a 45, o terceiro quartil corresponde a 59.

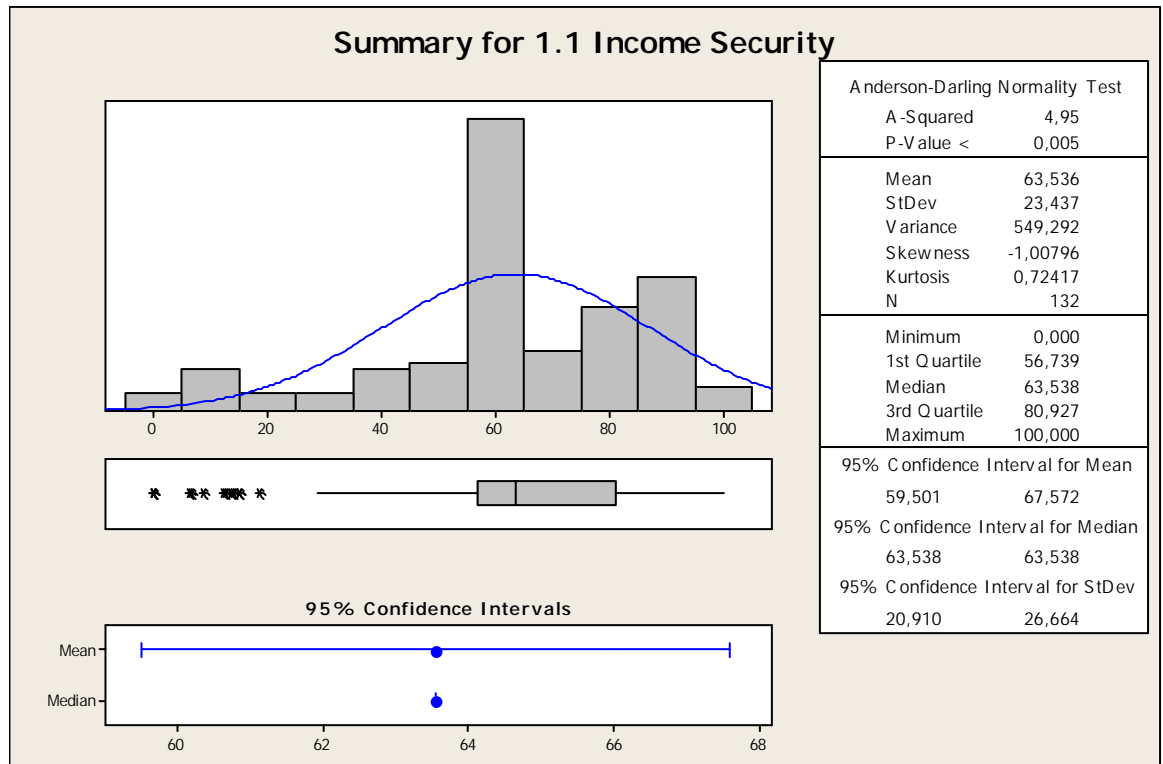
% População com mais de 60 anos



O gráfico para a variável % população com mais de 60 anos, aproxima-se de uma distribuição um pouco mais deslocada para a direita, porém com pico elevado na posição da central seguindo a direita. O gráfico regista a pontuação no conjunto de observações para os 132 países analisados.

- Percebe-se que a média do indicador é de 39 , a mediana também corresponde a 39, o primeiro quartil corresponde a 21, o terceiro quartil corresponde a 55.

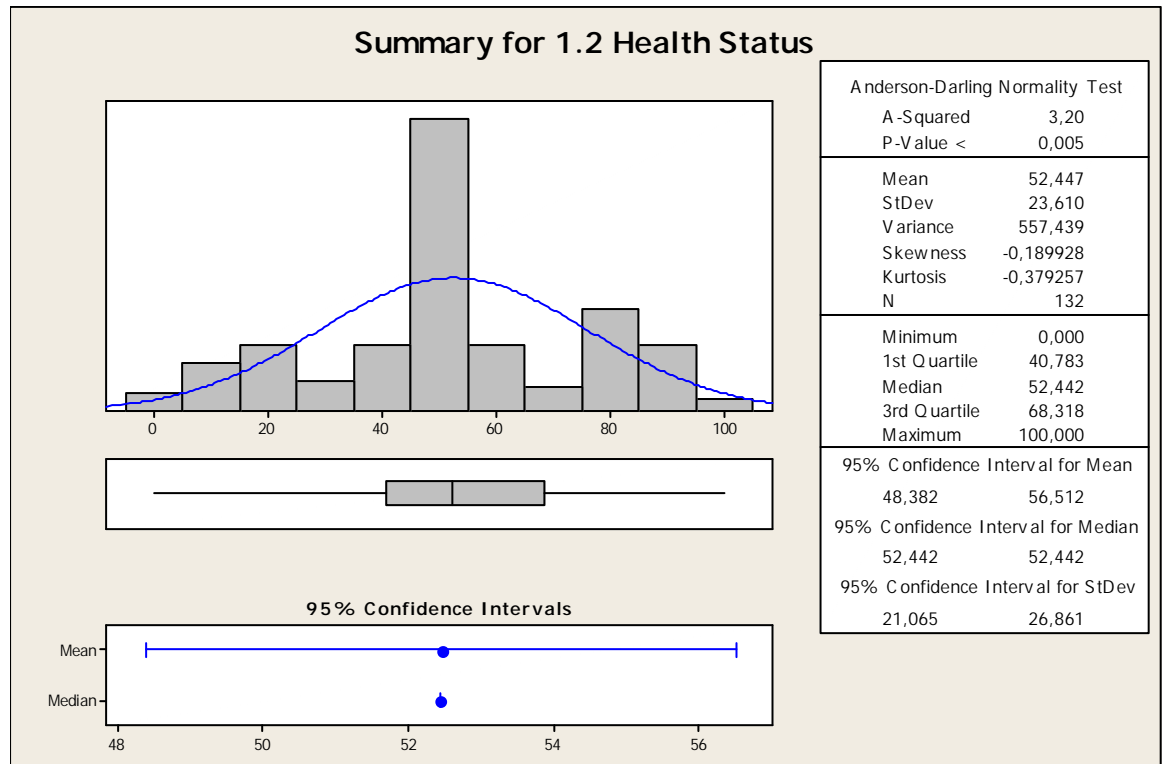
Income Security



O gráfico para a variável Income Security, aproxima-se de uma distribuição um pouco mais deslocada para a esquerda, porém com pico elevado na posição da central seguindo a direita. O gráfico registra a pontuação no conjunto de observações para os 132 países analisados.

- Percebe-se que a média do indicador é de 63, a mediana também corresponde a 63, o primeiro quartil corresponde a 56, o terceiro quartil corresponde a 80.

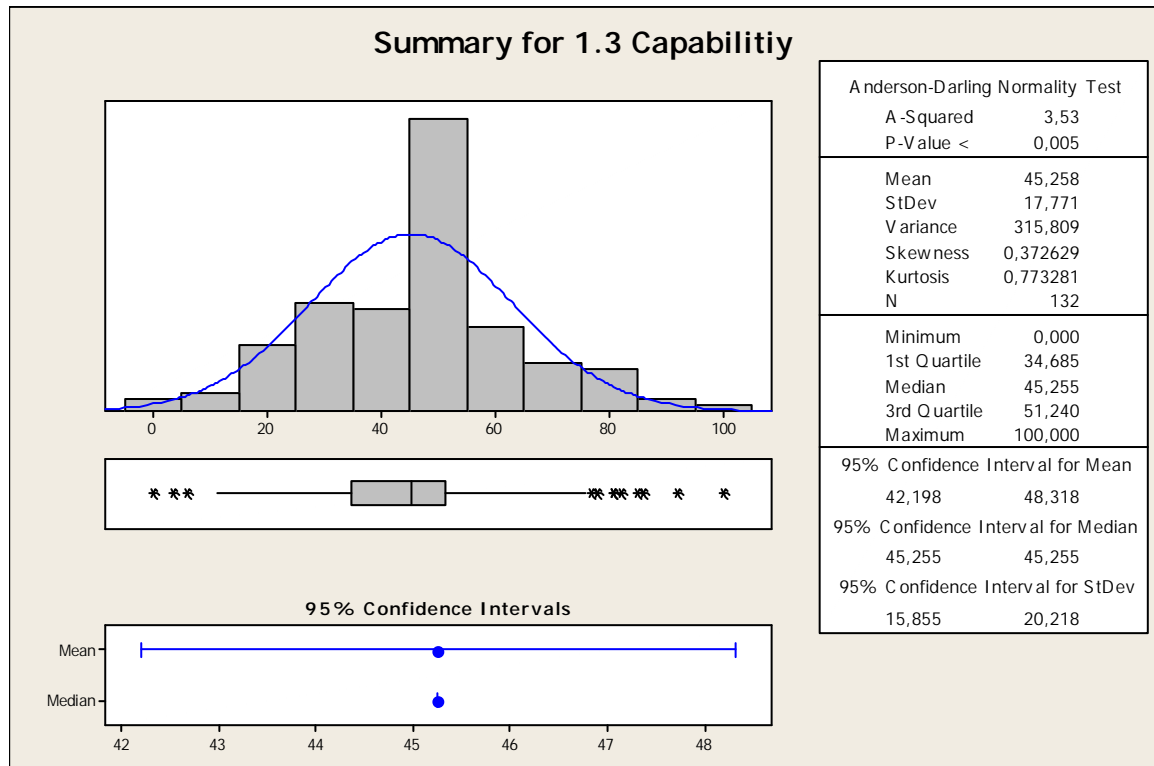
Health Status



O gráfico para a variável Health Status, aproxima-se de uma distribuição relativamente simétrica ,com pico elevado em seu centro. O gráfico regista a pontuação no conjunto de observações para os 132 países analisados.

Percebe-se que a média do indicador é de 52 , a mediana também corresponde a 52, o primeiro quartil corresponde a 40, o terceiro quartil corresponde a 68.

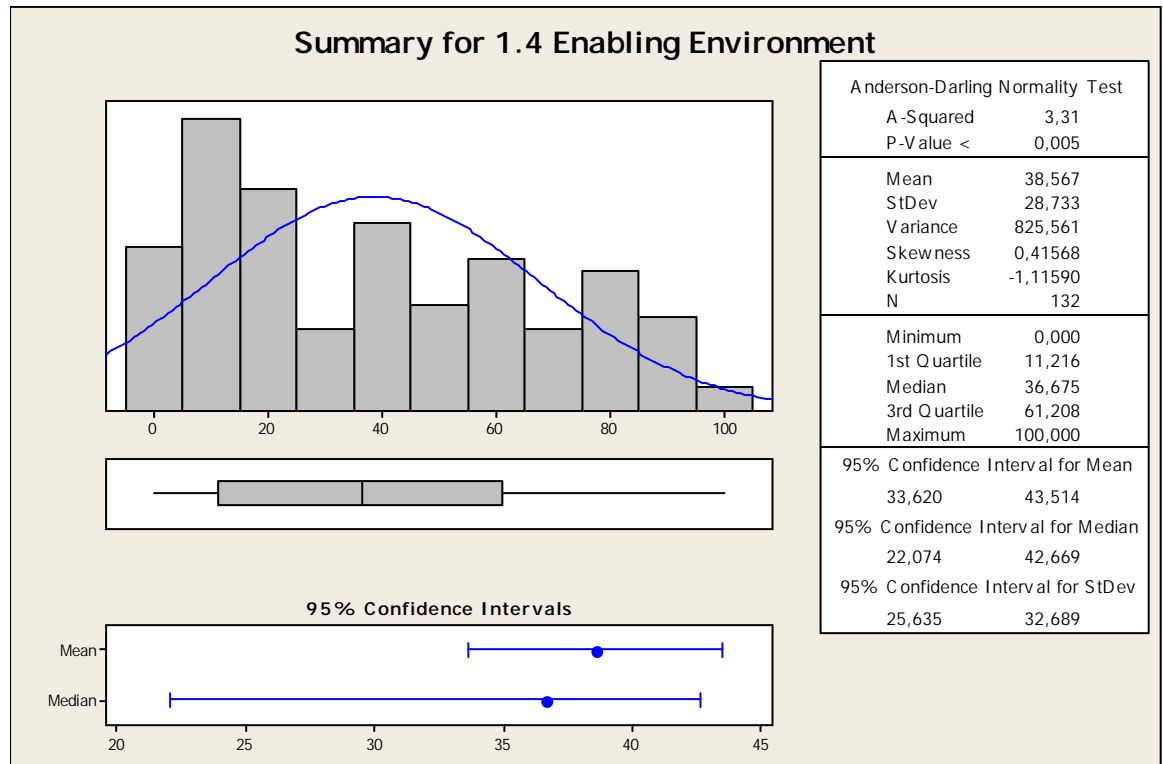
Capabilitiy



O gráfico para a variável Capabilitiy, aproxima-se de uma distribuição deslocada para a direita, porém com pico elevado na posição da central seguindo a direita. O gráfico registra a pontuação no conjunto de observações para os 132 países analisados.

Percebe-se que a média do indicador é de 45, a mediana também corresponde a 45, o primeiro quartil corresponde a 34, o terceiro quartil corresponde a 51.

Enabling Environment

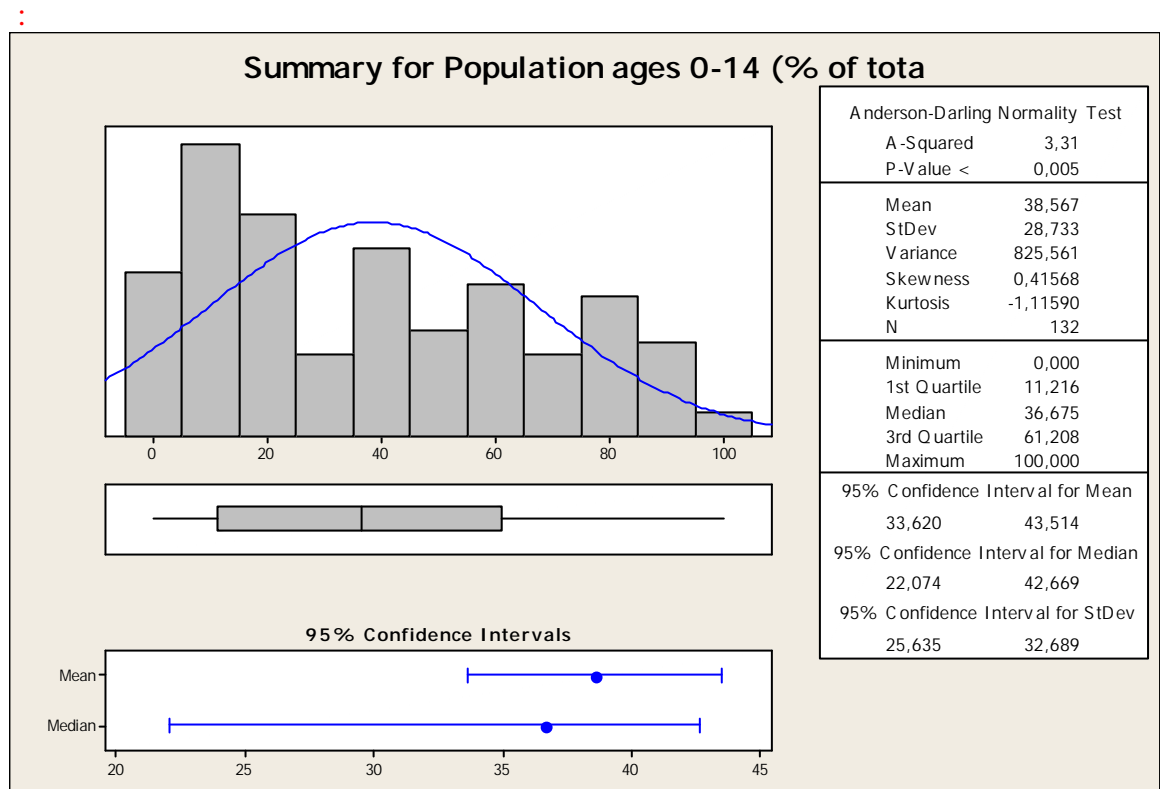


O gráfico para a variável Enabling Environment aproxima-se de uma distribuição assimétrica deslocada para a esquerda.

O gráfico registra a pontuação no conjunto de observações para os 132 países analisados.

O primeiro quartil é 11, a mediana 36, o terceiro quartil 61 e a média é de 38.

Population ages 0-14 (% of total)

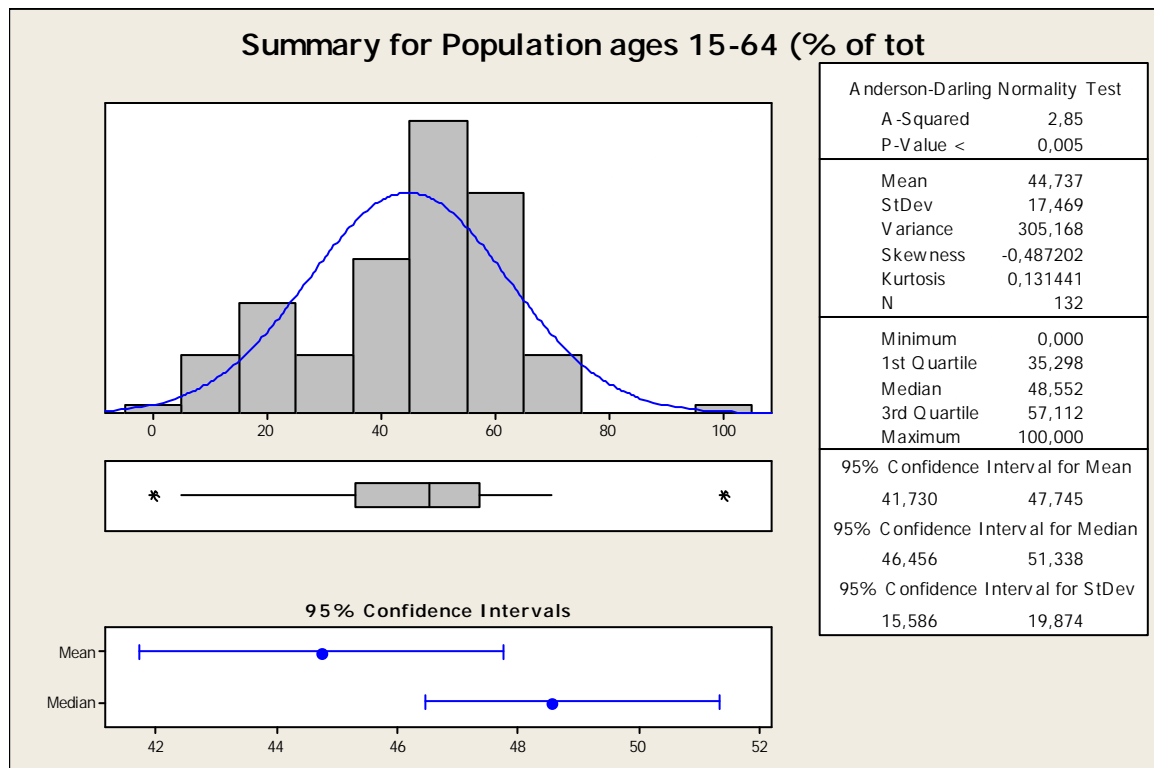


O gráfico para a variável % population total ages 0-14, aproxima-se de uma distribuição assimétrica deslocada para a esquerda.

O gráfico registra a pontuação no conjunto de observações para os 132 países analisados.

O primeiro quartil é 11, a mediana 36, o terceiro quartil 61 e a média é de 38.

Population ages 15-64 (% of total)

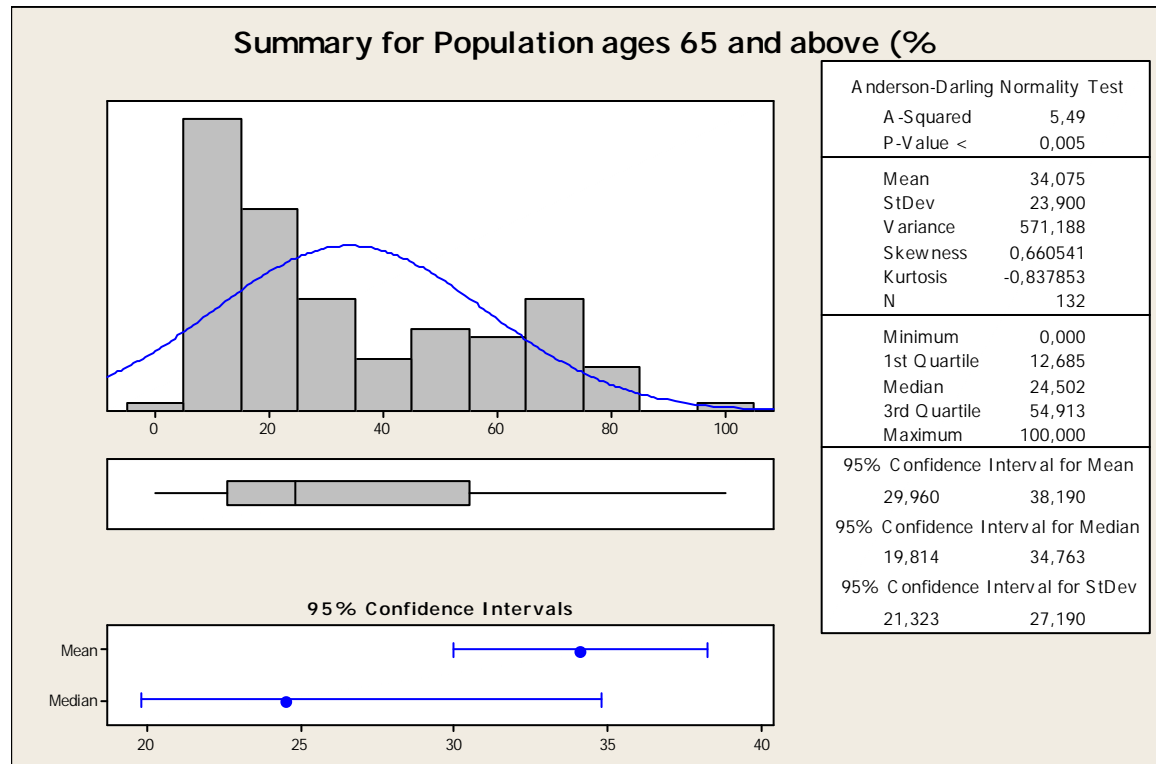


O gráfico para a variável % population total ages 15-64, aproxima-se de uma distribuição assimétrica deslocada para a esquerda, com índices bastante baixos no lado direito do gráfico, e com um pico elevado na posição central.

O gráfico registra a pontuação no conjunto de observações para os 132 países analisados.

O primeiro quartil é 35, a mediana 48, o terceiro quartil 57 e a média é de 44.

Population ages 65 and above (%)

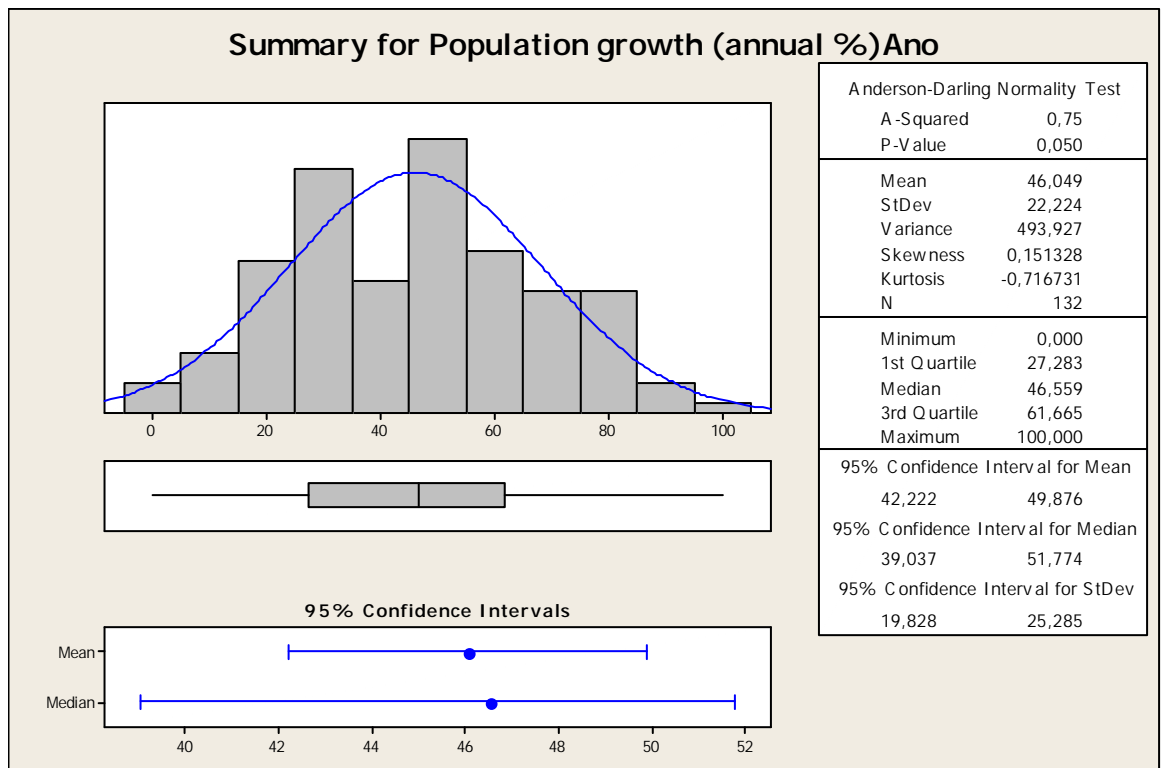


O gráfico para a variável % population ages 65 above, aproxima-se de uma distribuição assimétrica deslocada para a esquerda, com índices bastante baixos no lado direito do gráfico, e também bastante baixos no início do lado direito, com uma considerável elevação logo a direita após a queda inicial do lado direito do gráfico..

O gráfico registra a pontuação no conjunto de observações para os 132 países analisados.

O primeiro quartil é 12, a mediana 24, o terceiro quartil 54 e a média é de 34.

Summary for Population Growth (anual %) ano

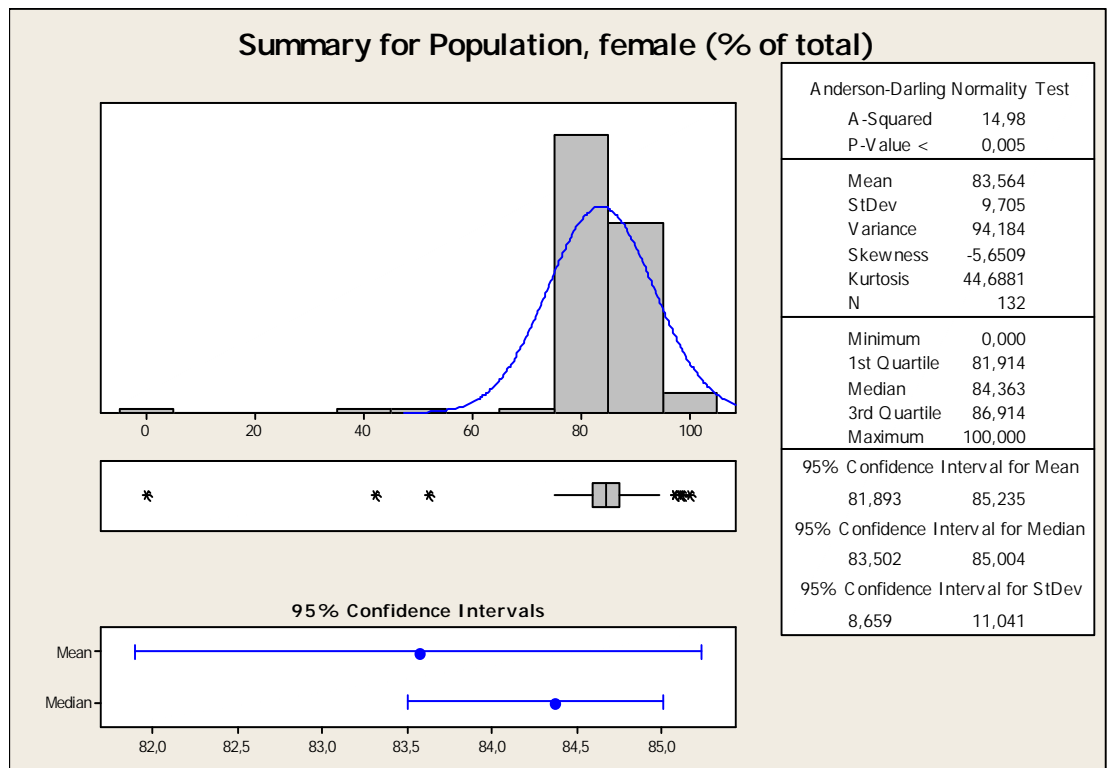


O gráfico para a variável population growth (anual %) aproxima-se de uma distribuição assimétrica deslocada para a esquerda, com índices muito baixos no final do lado direito do gráfico.

O gráfico registra a pontuação no conjunto de observações para os 132 países analisados.

O primeiro quartil é de 27, a mediana 46, o terceiro quartil 61 e a média é de 46.

Summary for Population, female (% of total)

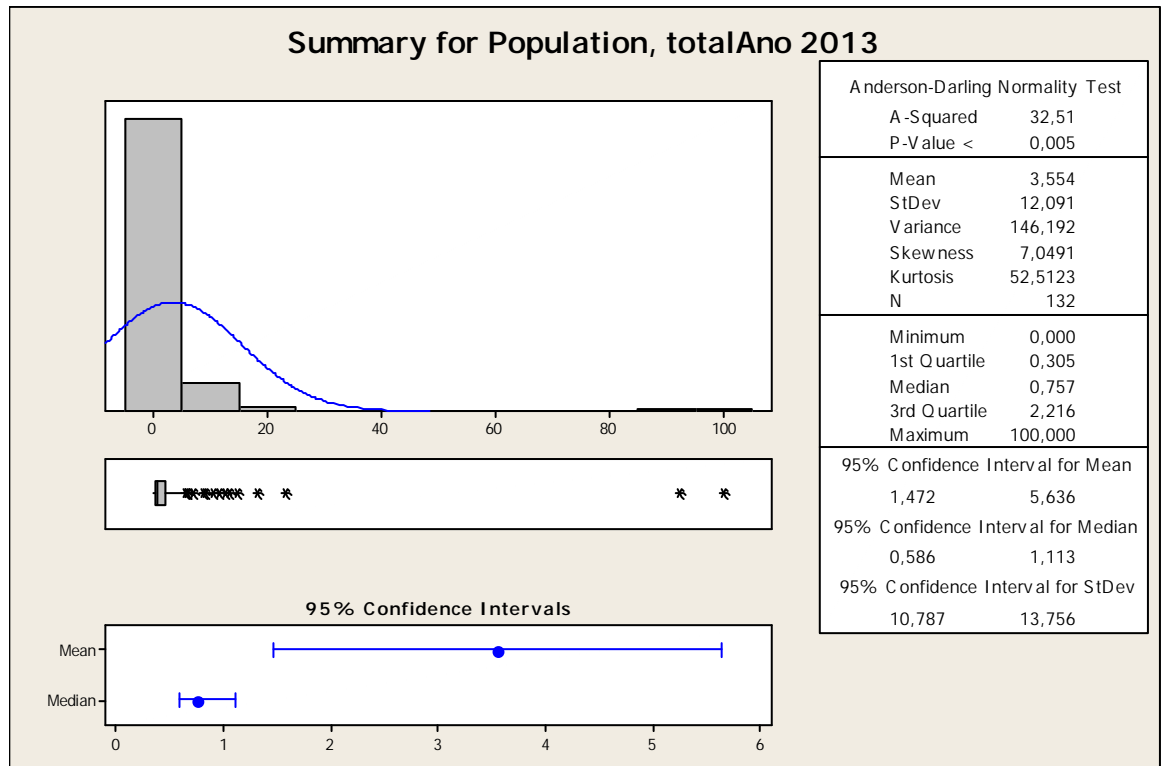


O gráfico para a variável Population, female (% of total), apresenta-se quase que totalmente deslocado para a direita, formando um pico elevado nessa pequena região e logo em seguida, há também uma queda brusca no final do lado direito do gráfico.

O gráfico registra a pontuação no conjunto de observações para os 132 países analisados.

O primeiro quartil é de 81, a mediana 84, o terceiro quartil 86 e a média é de 83.

Summary for Population, total Ano 2013

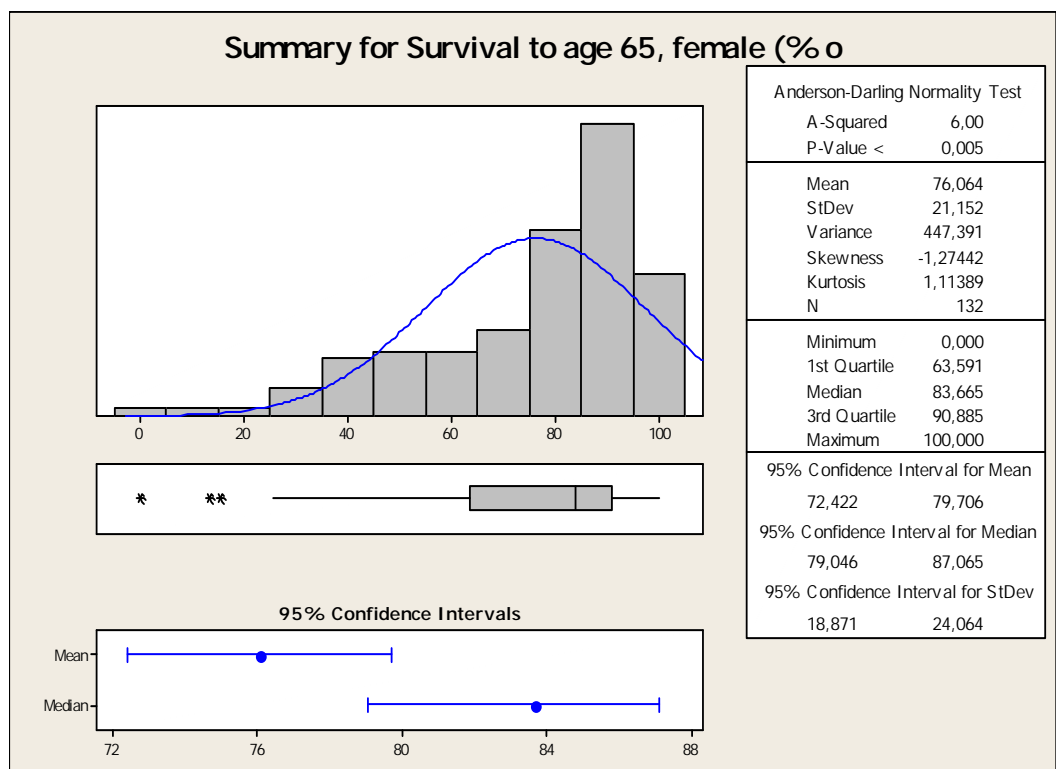


O gráfico para esta variável, apresenta-se quase que totalmente deslocado para a esquerda, formando um pico elevado nessa pequena região e uma queda brusca na região central e direita do mesmo.

O gráfico registra a pontuação no conjunto de observações para os 132 países analisados.

O primeiro quartil é de 0,305, a mediana 0,757, o terceiro quartil 2,216 e a média é de 3,554.

Summary for Survival to Age 65, female (%)

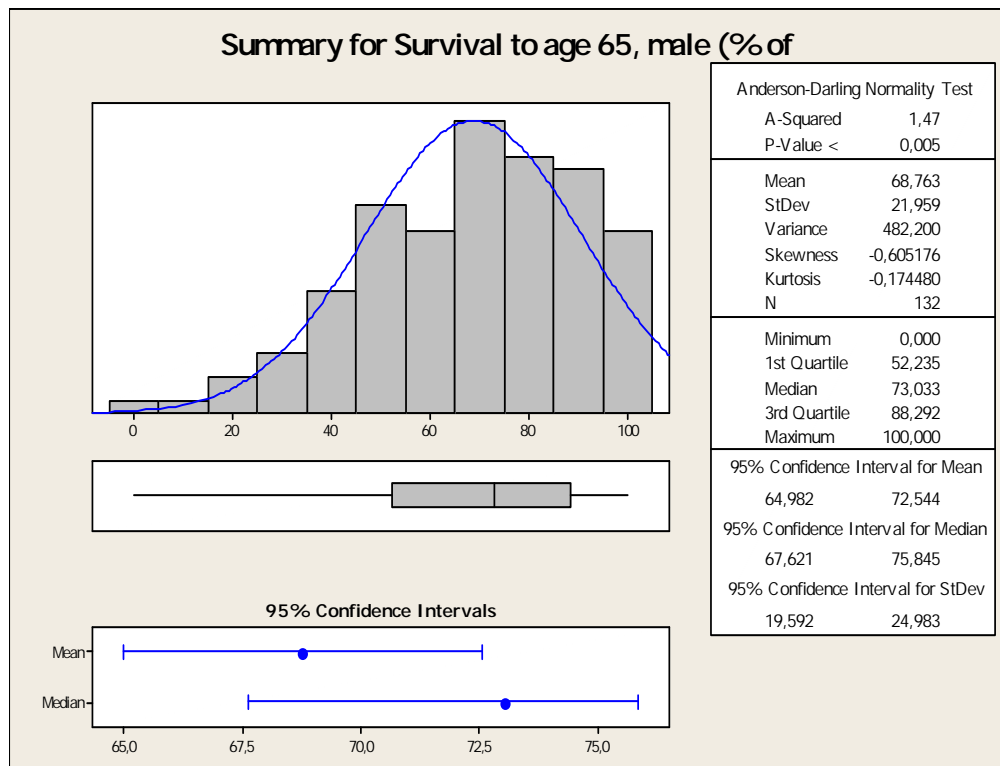


O gráfico para essa variável apresenta-se deslocado para a direita, com considerável queda do seu lado esquerdo.

O gráfico registra a pontuação no conjunto de observações para os 132 países analisados.

O primeiro quartil é de 63, a mediana 83, o terceiro quartil 90 e a média é de 76.

Summary for Survival to age 65, male (% of

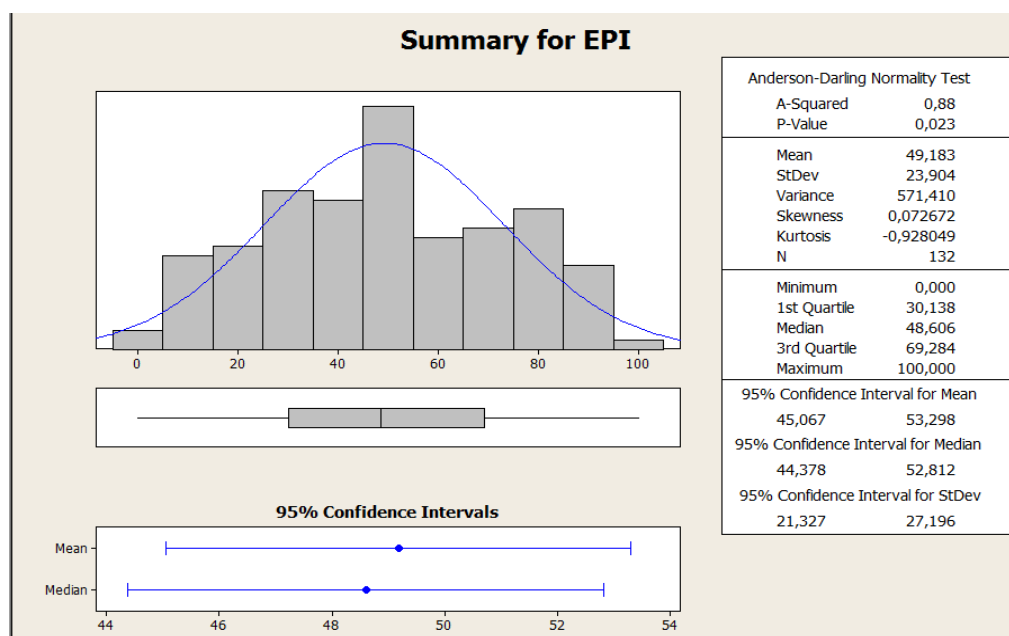


O gráfico para essa variável apresenta-se deslocado para a direita, com considerável queda do seu lado esquerdo.

O gráfico registra a pontuação no conjunto de observações para os 132 países analisados.

O primeiro quartil é de 52, a mediana 73, o terceiro quartil 88 e a média é de 68.

EPI - Pontuação no Índice de Proteção Ambiental . Fonte: EPI

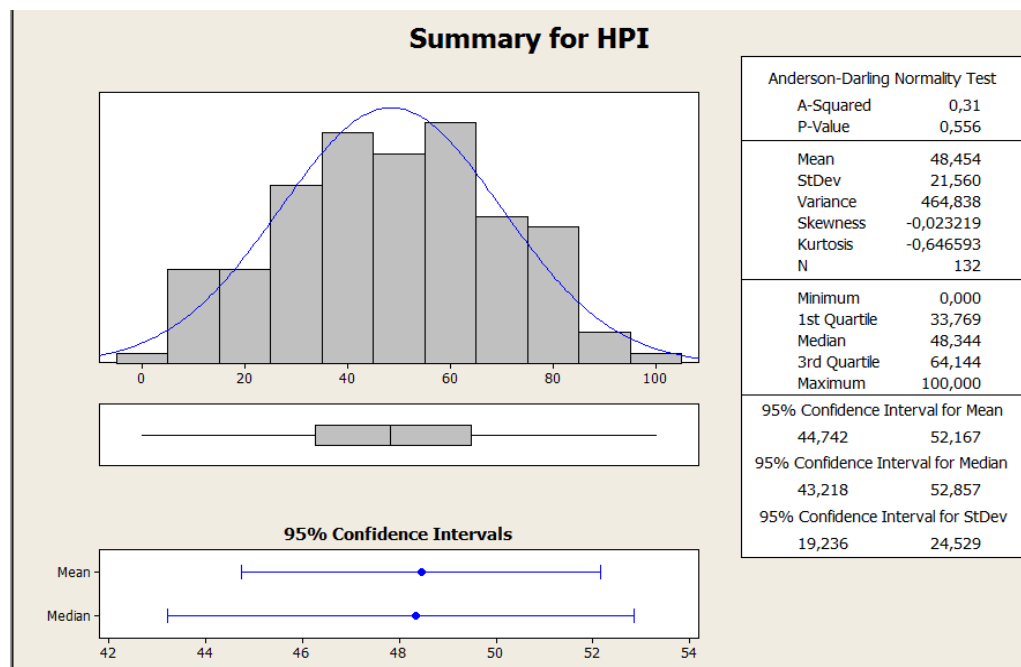


A análise dos dados do Índice de Proteção Ambiental apresenta uma distribuição normal, com média de 49,18 e mediana de 48,60, ou seja, um ligeiro deslocamento para a esquerda. Há apenas 1 país no estrato superior (nota normalizada acima de 95), que é a Suíça, com EPI de 87,67, seguida por 9 países no segundo estrato (de 85 a 95), sendo todos países de alto IDH e IPS (Austrália, República Tcheca, Alemanha, etc) sendo o último país do estrato a Dinamarca com EPI de 76,92.

Já nos dois estratos inferiores temos a seguinte composição : no primeiro estrato (nota normalizada até 5) há dois países – Mali (EPI = 18,43) e Lesoto (EPI = 20,81), seguidos por um grupo de 10 países no segundo estrato que vai de 5 a 15. Destes 10 países, 9 encontram-se na África, sendo Bangladesh a única exceção do grupo. O país melhor colocado é Angola, com EPI de 39,93.

Já a faixa de pico, que vai de 45 a 55, é composta da seguinte maneira : na parte inferior, Algéria (EPI = 50,08) e Líbano (EPI = 50,15) seguindo por um grupo heterogêneo de 26 países nos quais Jordânia (EPI = 55,78) e Montenegro (EPI = 55,52).

HPI - Pontuação no Happy Planet Index. Fonte: HPI



A distribuição para o Índice de Felicidade Bruta (FIB) aproxima-se de uma normal, com maior concentração de países entre a marca do 35 até 65, que formam quase um plateau, com os três maiores picos da distribuição. Nas extremidades encontramos um pequeno número de países : Costa Rica ficou um primeiro lugar, com um FIB de 64,03, seguida por um estrato de notas normalizadas de 85 a 95, que é composto por três países : Colômbia (FIB=59,75), El Salvador (58,88) e Jamaica (58,53).

No estrato inferior, que vai até 5 pontos, figura também apenas um país : Botswana, com FIB = 22,59, seguida pelo segundo estrato, que vai de 5 a 15 pontos e compreende 9 países. A menor pontuação é do Chade (FIB=24,68) e a maior é da Macedônia (FIB=28,27). Chama a atenção neste grupo de países a presença da África do Sul, que figura com um FIB de 28,19, o oitavo pior colocado na classificação geral do FIB.

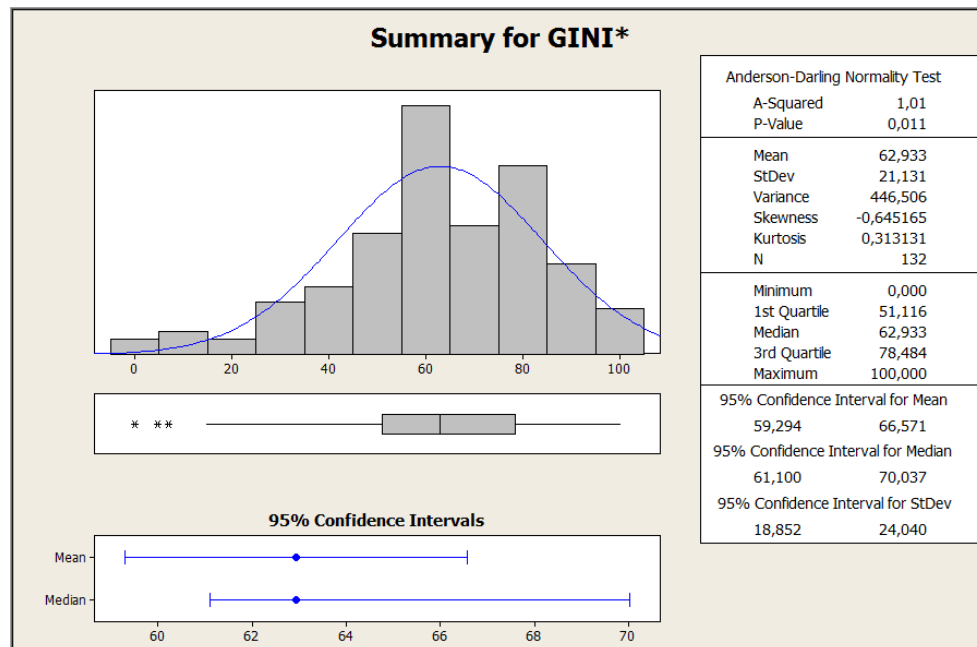
A maior concentração em número de países está alocada entre 35 e 65 pontos, sendo Djibouti (FIB=37,23), Estados Unidos (FIB=37,34) e Hungria (FIB=37,40) os piores colocados do grupo, e Sri Lanka (FIB=49,38), Iraque (FIB=49,19) e Laos (FIB=49,14) os melhores colocados do grupo.

O Índice de Felicidade Bruta mede aspectos subjetivos e objetivos da vida humana, evidenciando pesquisas que apontam que, a partir de certo nível de renda, o nível de felicidade médio reportado não aumenta na mesma proporção do aumento da

renda, até decaindo com o tempo. Outro tópico relaciona é a questão da resiliência construída por pessoas em situação de privação em países de baixo IDH e IPS, que acabam adaptando-se às situações adversas.

Uma análise mais aprofundada poderá revelar o baixo nível de correlação deste indicados com o PIB e inclusive com o IDH e o IPS, pois sua metodologia é bastante distinta.

Índice de GINI



Para o Índice de Gini, que mede a desigualdade de renda, faltaram dados relativos a 13 países, que foram substituídos pela média da distribuição original, que foi de 39,02, que normalizado de 0 a 100 tornou-se 62,93, o que explica o pico registrado na coluna entre 55 e 65 – dos 33 países, na realidade apenas 20 tem sua pontuação original registrada neste intervalo.

Assim percebemos uma distribuição basicamente uniforme, com tendência para concentração de países mais a direita, como já demonstra o primeiro quartil, em 51,11.

São 6 países no estrato superior, acima de 95 pontos na escala normalizada, conforme a Tabela 13, abaixo, que como podemos ver é formada pelos antigos países socialistas

Tabela 13 – Países com menor índice de Gini

| PAÍS | CÓD | REGIÃO | GINI |
|----------------|-----|-----------------|--------|
| Ukraine | UKR | Eastern Europe | 24,820 |
| Slovenia | SVN | Southern Europe | 24,870 |
| Sweden | SWE | Northern Europe | 26,080 |
| Czech Republic | CZE | Eastern Europe | 26,390 |
| Belarus | BLR | Eastern Europe | 26,460 |

| | | | |
|----------|-----|----------------|--------|
| Slovakia | SVK | Eastern Europe | 26,580 |
|----------|-----|----------------|--------|

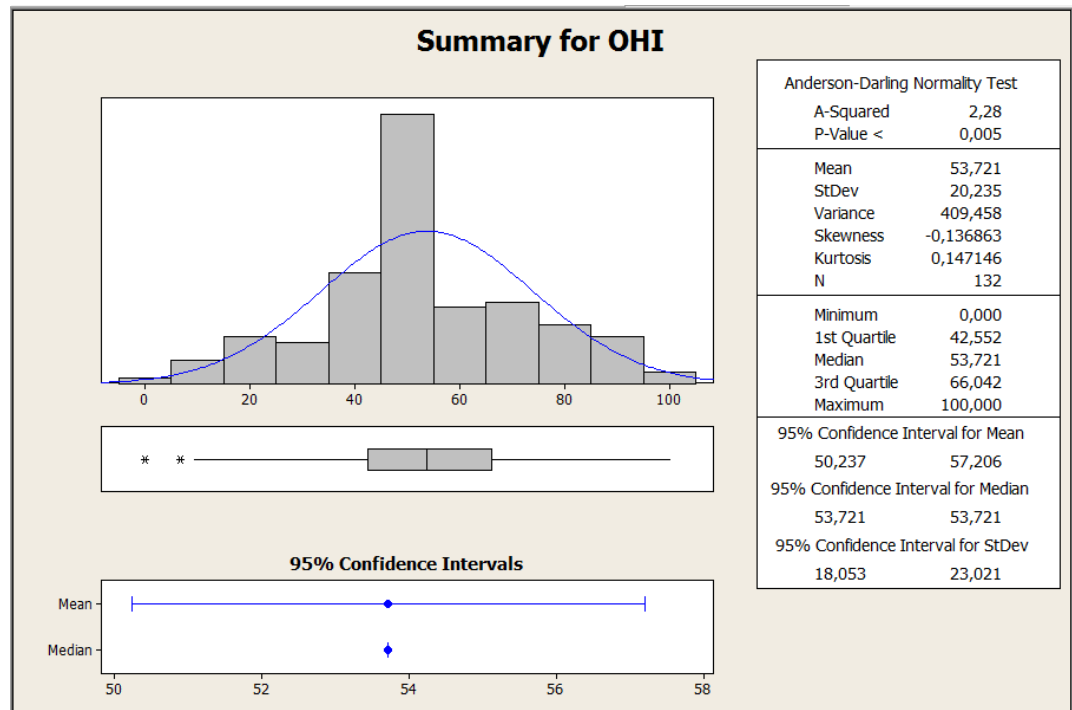
Os países com maior desigualdade de renda estão divididos nos três primeiros estratos : de 5 a 15 (2 países – África do Sul e Namíbia), de 15 a 25 (3 países – Botswana, Zâmbia e Honduras) e de 25 a 35 (2 países – República Central Africana e Lesoto).

Tabela 13 – Países de maior índice de Gini (mais desiguais)

| PAÍS | CÓD | REGIÃO | GINI |
|--------------------------|-----|-----------------|--------|
| Lesotho | LSO | Southern Africa | 54,170 |
| Central African Republic | CAF | Eastern Africa | 56,300 |
| Honduras | HND | IBE | 57,400 |
| Zambia | ZMB | Middle Africa | 57,490 |
| Botswana | BWA | Southern Africa | 60,460 |
| Namibia | NAM | Southern Africa | 61,320 |
| South Africa | ZAF | Southern Africa | 63,140 |

Botswana, Namíbia e África do Sul aparecem como *outliers* no gráfico.

OHI - Pontuação no Índice de Saúde dos Oceanos



O gráfico para o Índice de Saúde dos Oceanos (OHI) chama atenção pela grande concentração de países entre o marco do 45 e 55 na escala normalizada (46 países) , o que equivaleria as pontuações de Algeria (62,01), Namíbia (62,96) e Quênia (64,12) no estrato inferior e Togo (65,19) e Japão (65,09) no estrato superior.

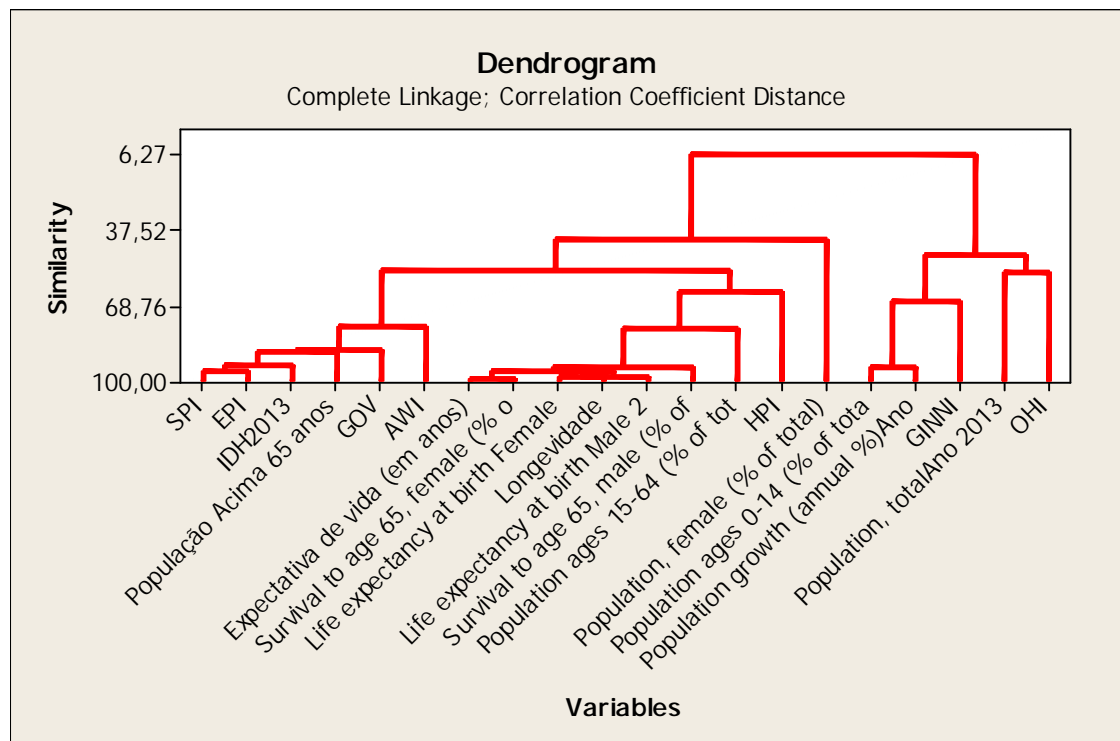
É preciso registrar, contudo, que faltavam dados para 34 países do OHI, e que conforme relatado acima, aos valores faltantes, foi atribuída a média das pontuações do OHI dos países disponível no momento de elaboração deste estudo. A média foi de 64,97, que ao ser normalizado de 0 à 100, tornou-se 53,721, que foi o valor atribuído a estes 34 países. Isso explica a grande concentração de países na faixa que vai de 45 a 55 do OHI, e por isso o pico não tem significância estatística.

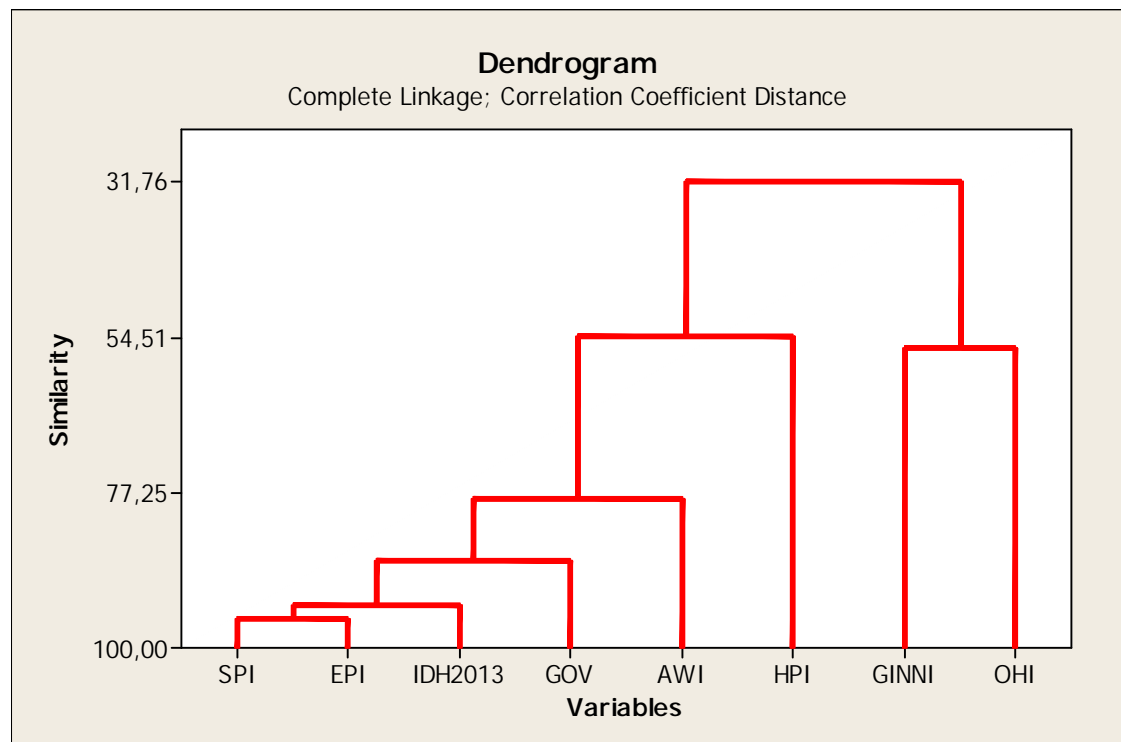
Os melhores colocados foram a Dinamarca (82,14), Finlândia (81,4) e Noruega (80,11) e os piores colocados foram a Nicarágua (45,05), a Libéria (47,54) e Angola (42,66).

4. Relação entre as Variáveis:

4. 1. Dendogramas:

Todas as Variáveis



Dendrogram Variáveis Sintéticas

Dendogram Variáveis Analíticas

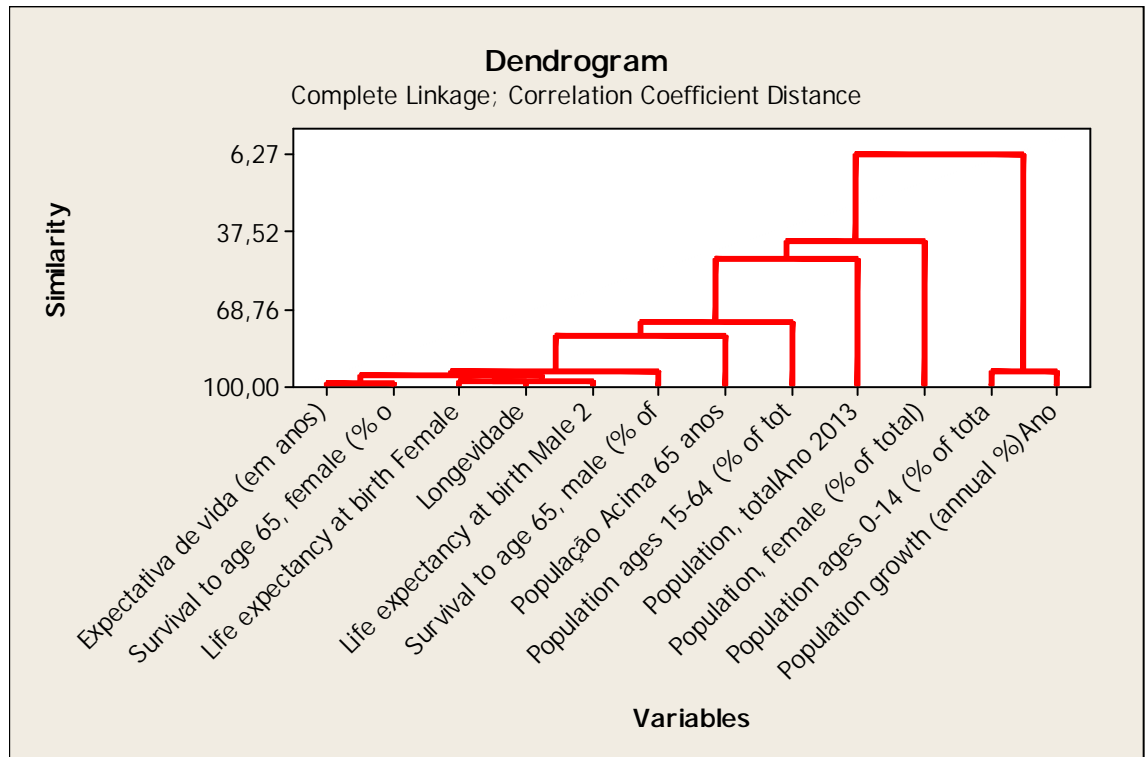


Gráfico 1. Componentes Principais das Variáveis Sintéticas

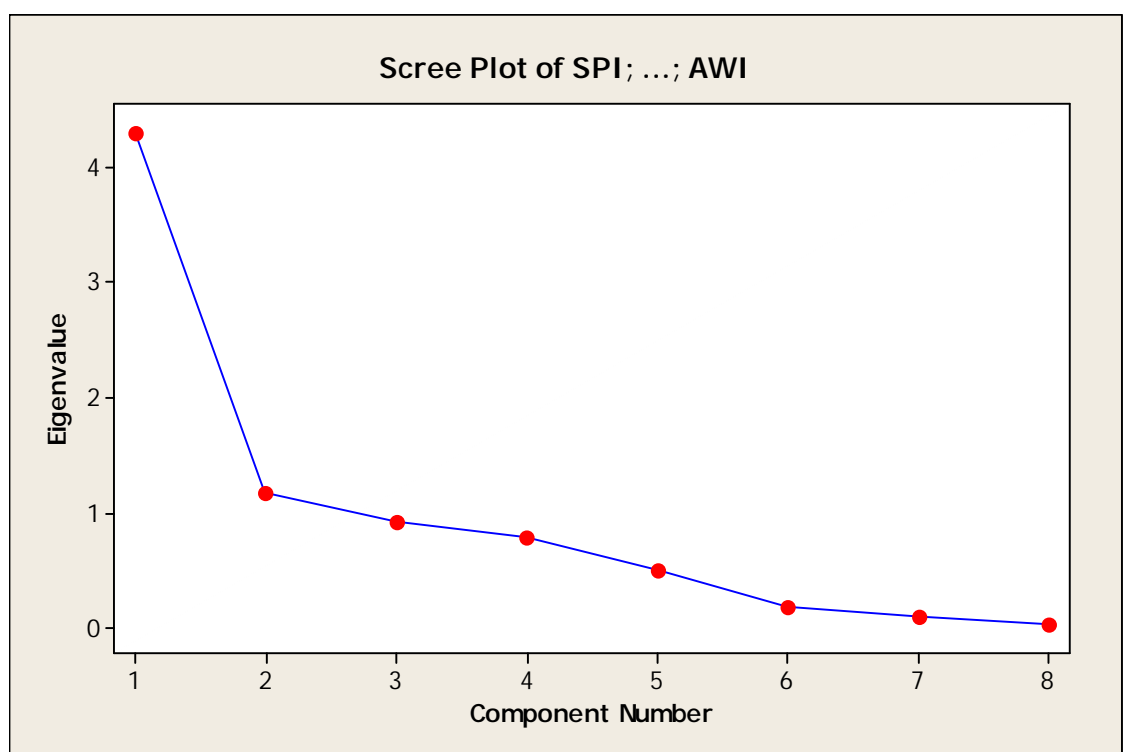
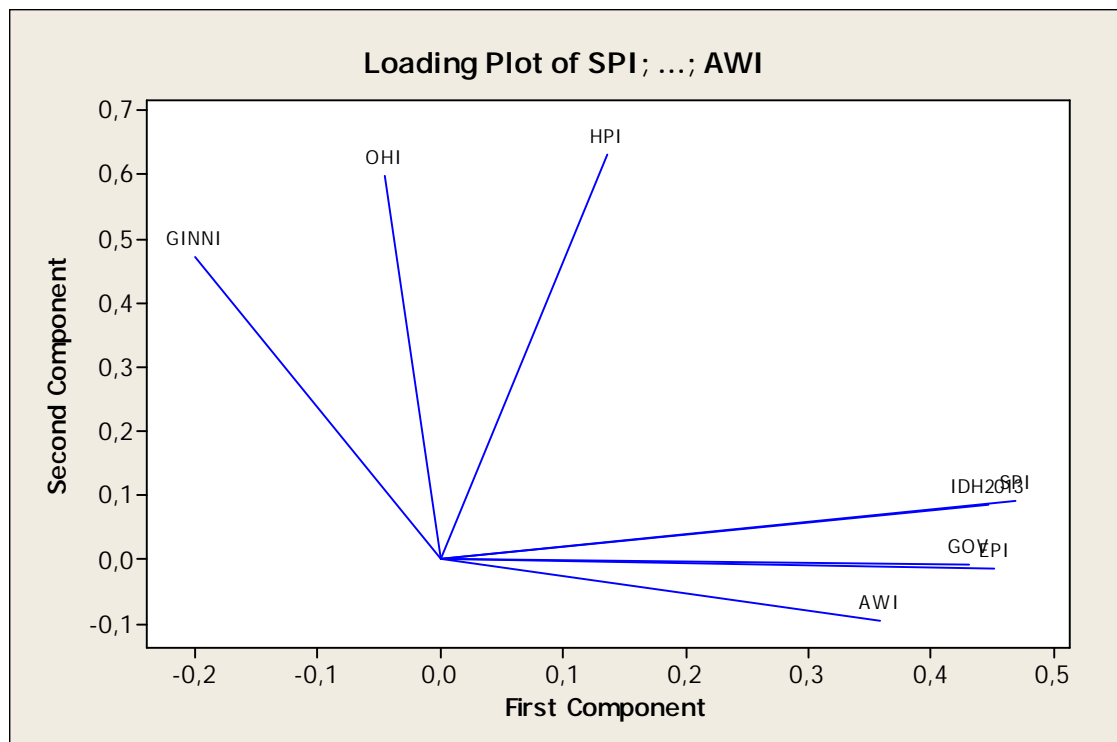


Gráfico 2. Componentes Principais das Variáveis Sintéticas

Principal Component Analysis: SPI; IDH2013; GOV; EPI; HPI; GINNI; OHI; AWI

Eigenanalysis of the Correlation Matrix

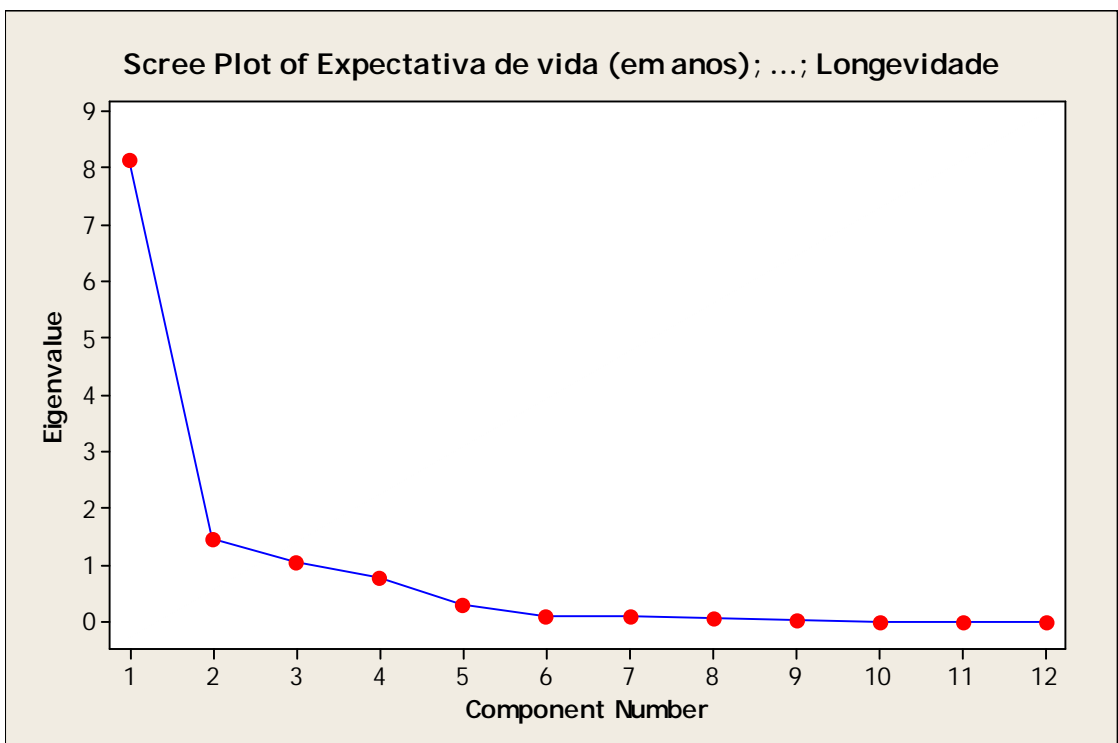
Eigenvalue 4,2898 1,1717 0,9187 0,7919 0,5012 0,1888 0,1038 0,0342

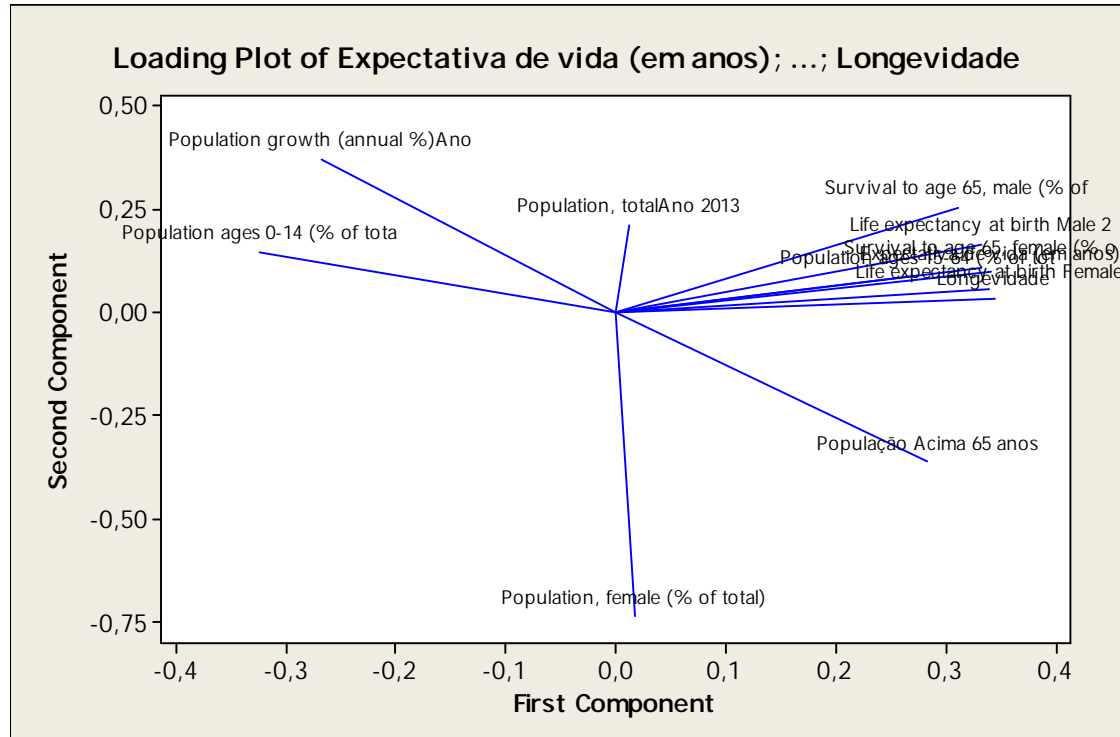
Proportion 0,536 0,146 0,115 0,099 0,063 0,024 0,013 0,004

Cumulative 0,536 0,683 0,798 0,897 0,959 0,983 0,996 1,000

| Variable | PC1 | PC2 | PC3 |
|----------|--------|--------|--------|
| SPI | 0,470 | 0,090 | 0,018 |
| IDH2013 | 0,447 | 0,085 | -0,114 |
| GOV | 0,431 | -0,009 | 0,203 |
| EPI | 0,452 | -0,015 | 0,035 |
| HPI | 0,136 | 0,631 | -0,597 |
| GINNI | -0,200 | 0,470 | -0,114 |
| OHI | -0,045 | 0,597 | 0,753 |
| AWI | 0,359 | -0,095 | 0,088 |

Scree Plot of SPI; ...; AWI

Loading Plot of SPI; ...; AWI



Principal Component Analysis: Expectativa ; Life expecta; Life expecta; Populat

Eigenanalysis of the Correlation Matrix

| | Eigenvalue | 1,4568 | 1,0388 | 0,7832 | 0,3068 | 0,1042 | 0,0775 | 0,0566 |
|------------|------------|--------|--------|--------|--------|--------|--------|--------|
| Proportion | 0,680 | 0,121 | 0,087 | 0,065 | 0,026 | 0,009 | 0,006 | 0,005 |
| Cumulative | 0,680 | 0,801 | 0,888 | 0,953 | 0,979 | 0,987 | 0,994 | 0,999 |

| | Eigenvalue | 0,0105 | 0,0048 | 0,0017 | -0,0000 |
|------------|------------|--------|--------|--------|---------|
| Proportion | 0,001 | 0,000 | 0,000 | -0,000 | |
| Cumulative | 0,999 | 1,000 | 1,000 | 1,000 | |

| Variable | PC1 | PC2 | PC3 | PC4 |
|--|--------|--------|--------|--------|
| Expectativa de vida (em anos) | 0,341 | 0,098 | 0,106 | -0,140 |
| Life expectancy at birth Female | 0,340 | 0,056 | 0,086 | -0,089 |
| Life expectancy at birth Male 2 | 0,332 | 0,165 | 0,115 | -0,155 |
| Population ages 0-14 (% of total) | -0,324 | 0,146 | 0,184 | -0,280 |
| Population ages 15-64 (% of total) | 0,275 | 0,089 | -0,284 | 0,531 |
| População Acima 65 anos | 0,283 | -0,361 | -0,021 | -0,076 |
| Population growth (annual %)Ano | -0,268 | 0,371 | 0,264 | -0,313 |
| Population, female (% of total) | 0,018 | -0,735 | 0,023 | -0,419 |
| Population, totalAno 2013 | 0,012 | 0,213 | -0,857 | -0,466 |
| Survival to age 65, female (% of population) | 0,332 | 0,109 | 0,104 | -0,146 |
| Survival to age 65, male (% of population) | 0,311 | 0,254 | 0,169 | -0,252 |
| Longevidade | 0,344 | 0,035 | 0,098 | -0,087 |

Scree Plot of Expectativa de vida (em anos); ...; Longevidade

Loading Plot of Expectativa de vida (em anos); ...; Longevidade

Stepwise Regression: PC1S versus SPI; IDH2013; ...

Alpha-to-Enter: 0,15 Alpha-to-Remove: 0,15

Response is PC1S on 8 predictors, with N = 132

| Step | 1 | 2 | 3 | 4 | 5 | 6 |
|-------------|--------------|--------------|--------------|-------------|-------------|--------|
| Constant | -4,410 | -5,060 | -5,110 | -4,602 | -4,763 | -4,656 |
| SPI | 0,0790 | 0,0689 | 0,0471 | 0,0489 | 0,0384 | 0,0238 |
| T-Value | 48,20 | 40,67 | 17,68 | 23,31 | 18,50 | 13,12 |
| P-Value | 0,000 | 0,000 | 0,000 | 0,000 | 0,000 | 0,000 |
| AWI | 0,02341 | 0,02411 | 0,02293 | 0,02427 | 0,02180 | |
| T-Value | 9,07 | 12,10 | 14,61 | 19,28 | 25,15 | |
| P-Value | 0,000 | 0,000 | 0,000 | 0,000 | 0,000 | |
| EPI | 0,0250 | 0,0208 | 0,0178 | 0,0165 | | |
| T-Value | 9,40 | 9,71 | 10,20 | 14,09 | | |
| P-Value | 0,000 | 0,000 | 0,000 | 0,000 | | |
| GINNI | -0,00915 | -0,00835 | -0,00863 | | | |
| T-Value | -9,01 | -10,25 | -15,80 | | | |
| P-Value | 0,000 | 0,000 | 0,000 | | | |
| IDH2013 | 0,0138 | 0,0195 | | | | |
| T-Value | 8,62 | 16,71 | | | | |
| P-Value | 0,000 | 0,000 | | | | |
| GOV | 0,0128 | | | | | |
| T-Value | 12,47 | | | | | |
| P-Value | 0,000 | | | | | |
| S | 0,479 | 0,375 | 0,290 | 0,227 | 0,181 | 0,121 |
| R-Sq | 94,70 | 96,76 | 98,09 | 98,83 | 99,27 | 99,67 |
| R-Sq(adj) | 94,66 | 96,71 | 98,04 | 98,79 | 99,24 | 99,66 |

Stepwise Regression: PC2S versus SPI; IDH2013; ...

Alpha-to-Enter: 0,15 Alpha-to-Remove: 0,15

Response is PC2S on 8 predictors, with N = 132

| Step | 1 | 2 | 3 | 4 | 5 | 6 |
|--------------|--------------|--------------|--------------|---------|---------|---------|
| Constant | -1,661 | -3,282 | -3,877 | -4,085 | -3,907 | -3,878 |
| HPI | 0,03429 | 0,03213 | 0,03126 | 0,02966 | 0,02934 | 0,02940 |
| T-Value | 10,66 | 17,33 | 70,48 | 91,88 | 258,32 | 996,43 |
| P-Value | 0,000 | 0,000 | 0,000 | 0,000 | 0,000 | 0,000 |
| OHI | 0,03211 | 0,02949 | 0,02984 | 0,02971 | 0,02950 | |
| T-Value | 16,25 | 62,01 | 93,49 | 265,32 | 1001,74 | |
| P-Value | 0,000 | 0,000 | 0,000 | 0,000 | 0,000 | |
| GINNI | 0,02100 | 0,02253 | 0,02233 | 0,02228 | | |
| T-Value | 46,16 | 68,78 | 194,10 | 745,95 | | |
| P-Value | 0,000 | 0,000 | 0,000 | 0,000 | | |
| IDH2013 | | 0,00361 | 0,00542 | 0,00327 | | |
| T-Value | | 12,62 | 46,37 | 54,65 | | |
| P-Value | | 0,000 | 0,000 | 0,000 | | |
| AWI | | -0,00489 | -0,00571 | | | |
| T-Value | | -30,13 | -122,90 | | | |
| P-Value | | 0,000 | 0,000 | | | |
| SPI | | | 0,00266 | | | |
| T-Value | | | 41,79 | | | |
| P-Value | | | 0,000 | | | |
| S | 0,794 | 0,456 | 0,109 | 0,0729 | 0,0256 | 0,00663 |
| R-Sq | 46,64 | 82,49 | 99,01 | 99,56 | 99,95 | 100,00 |
| R-Sq(adj) | 46,23 | 82,22 | 98,98 | 99,55 | 99,94 | 100,00 |

Stepwise Regression: PC1A versus Expectativa de v; Life expectancy ; ...

Alpha-to-Enter: 0,15 Alpha-to-Remove: 0,15

Response is PC1A on 12 predictors, with N = 132

| Step | 1 | 2 | 3 | 4 | 5 |
|-----------------------------------|--------------|---------|---------|---------|---------|
| Constant | -5,980 | -2,357 | -9,498 | -10,198 | -11,580 |
| Longevidade | 0,10339 | 0,07713 | 0,01938 | 0,02321 | 0,01054 |
| T-Value | 60,45 | 34,31 | 5,64 | 8,56 | 5,59 |
| P-Value | 0,000 | 0,000 | 0,000 | 0,000 | 0,000 |
| Population ages 0-14 (% of total) | | -0,0770 | -0,0925 | -0,0628 | -0,0704 |
| T-Value | | -13,42 | -29,00 | -15,35 | -27,34 |
| P-Value | | 0,000 | 0,000 | 0,000 | 0,000 |
| Expectativa de vida (em anos) | | 0,1550 | 0,1544 | 0,1302 | |
| T-Value | | 17,95 | 22,93 | 29,09 | |
| P-Value | | 0,000 | 0,000 | 0,000 | |
| Population growth (annual %)Ano | | | -0,2399 | -0,2511 | |
| T-Value | | | -9,15 | -15,52 | |
| P-Value | | | 0,000 | 0,000 | |
| Life expectancy at birth Male 2 | | | | 0,0591 | |
| T-Value | | | 14,43 | | |
| P-Value | | | 0,000 | | |
| Survival to age 65, female (% o | | | | | |
| T-Value | | | | | |
| P-Value | | | | | |
| S | 0,531 | 0,345 | 0,184 | 0,144 | 0,0886 |
| R-Sq | 96,56 | 98,57 | 99,59 | 99,75 | 99,91 |
| R-Sq(adj) | 96,54 | 98,54 | 99,58 | 99,75 | 99,90 |

Stepwise Regression: PC2A versus Expectativa de v; Life expectancy ; ...

Alpha-to-Enter: 0,15 Alpha-to-Remove: 0,15

Response is PC2A on 12 predictors, with N = 132

| Step | 1 | 2 | 3 | 4 | 5 |
|----------|-------|-------|-------|-------|-------|
| Constant | 22,79 | 21,01 | 15,98 | 15,25 | 14,10 |

Population, female (% of total) -0,4532 -0,4229 -0,3815 -0,3695 -0,3449

T-Value -21,97 -21,21 -29,66 -40,79 -52,53

P-Value 0,000 0,000 0,000 0,000 0,000

Population growth (annual %) Ano 0,2135 0,5212 0,5391 0,3929

T-Value 4,95 14,99 22,12 18,91

P-Value 0,000 0,000 0,000 0,000

Survival to age 65, female (% o 0,03329 0,03366 0,04079

T-Value 14,11 20,39 31,78

P-Value 0,000 0,000 0,000

Population, totalAno 2013 0,00000 0,00000

T-Value 11,60 15,96

P-Value 0,000 0,000

População Acima 65 anos -0,0520

T-Value -11,93

P-Value 0,000

Life expectancy at birth Male 2

T-Value

P-Value

S 0,558 0,514 0,323 0,226 0,155

R-Sq **78,78 82,17 93,02** 96,61 98,41

R-Sq(adj) 78,62 81,89 92,86 96,50 98,35

Stepwise Regression: PC3A versus Expectativa de v; Life expectancy ; ...

Alpha-to-Enter: 0,15 Alpha-to-Remove: 0,15

Response is PC3A on 12 predictors, with N = 132

| Step | 1 | 2 | 3 | 4 |
|----------|----------|-----------|-----------|----------|
| Constant | 0,263384 | -0,009679 | -2,146137 | 0,575968 |

Population, totalAno 2013 -0,00000 -0,00000 -0,00000 -0,00000

T-Value -20,45 -23,25 -45,87 -83,73

P-Value 0,000 0,000 0,000 0,000

Population growth (annual %)Ano 0,2256 0,3970 0,2360

T-Value 6,50 19,83 17,05

P-Value 0,000 0,000 0,000

Survival to age 65, male (% of 0,02831 0,03439

T-Value 18,95 39,98

P-Value 0,000 0,000

Population ages 15-64 (% of tot -0,04622

T-Value -18,12

P-Value 0,000

Life expectancy at birth Female

T-Value

P-Value

População Acima 65 anos

T-Value

P-Value

S 0,498 0,434 0,223 0,118

R-Sq **76,28** **82,13** **95,30** 98,69

R-Sq(adj) 76,10 81,85 95,19 98,65

5. COMPARAÇÃO DAS 8 REGIÕES

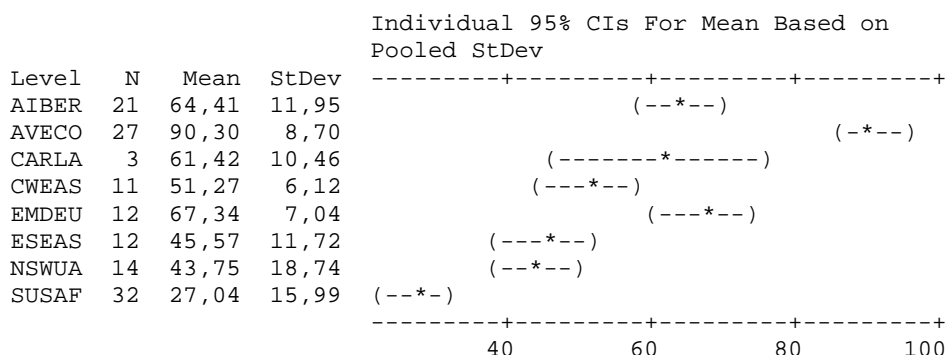
Quadro - Siglas, Nomenclaturas e Quantidades de Países por Região (8)

| Sigla da Região | Nomenclatura da Região | Países |
|-----------------|--|--------|
| AIBER | Ibero-Americanos | 21 |
| AVECO | Economias Avançadas | 27 |
| CARLA | América Latina e o Caribe | 3 |
| CWEAS | Comunidade dos Estados Independentes | 11 |
| ESEAS | Emergentes e em Desenvolvimento da Ásia | 12 |
| EMDEU | Emergentes e em Desenvolvimento da Europa | 12 |
| NSWUA | Oriente Médio, Norte da África e Paquistão | 14 |
| SUSAF | África Subsariana | 32 |

One-way ANOVA: SPI versus Grupos

| Source | DF | SS | MS | F | P |
|--------|-----|-------|------|-------|-------|
| Grupos | 7 | 65372 | 9339 | 58,02 | 0,000 |
| Error | 124 | 19961 | 161 | | |
| Total | 131 | 85333 | | | |

S = 12,69 R-Sq = 76,61% R-Sq(adj) = 75,29%



Pooled StDev = 12,69

One-way ANOVA: Expectativa de vida (em anos) versus Grupos

| Source | DF | SS | MS | F | P |
|--------|-----|---------|--------|-------|-------|
| Grupos | 7 | 9566,6 | 1366,7 | 85,23 | 0,000 |
| Error | 124 | 1988,4 | 16,0 | | |
| Total | 131 | 11555,0 | | | |

S = 4,004 R-Sq = 82,79% R-Sq(adj) = 81,82%

Individual 95% CIs For Mean Based on Pooled StDev

| Level | N | Mean | StDev | | | | |
|-------|----|--------|-------|---------------|---------|-------|------|
| AIBER | 21 | 75,288 | 3,655 | | (--*--) | | |
| AVECO | 27 | 80,326 | 2,165 | | (-*-) | | |
| CARLA | 3 | 69,555 | 3,601 | (-----*-----) | | | |
| CWEAS | 11 | 70,122 | 2,263 | (--*---) | | | |
| EMDEU | 12 | 75,199 | 1,181 | (--*---) | | | |
| ESEAS | 12 | 70,444 | 3,269 | (---*---) | | | |
| NSWUA | 14 | 71,338 | 5,207 | (---*---) | | | |
| SUSAF | 32 | 56,579 | 5,784 | (-*--) | | | |
| | | | | ----- | ----- | ----- | |
| | | | | 56,0 | 63,0 | 70,0 | 77,0 |

Pooled StDev = 4,004

One-way ANOVA: Life expectancy at birth Female versus Grupos

| Source | DF | SS | MS | F | P |
|--------|-----|---------|--------|-------|-------|
| Grupos | 7 | 10008,9 | 1429,8 | 81,23 | 0,000 |
| Error | 124 | 2182,7 | 17,6 | | |
| Total | 131 | 12191,6 | | | |

S = 4,196 R-Sq = 82,10% R-Sq(adj) = 81,09%

Individual 95% CIs For Mean Based on
Pooled StDev

| Level | N | Mean | StDev | | | | |
|-------|----|--------|-------|---------------|---------|-------|------|
| AIBER | 21 | 78,699 | 3,432 | | (-*--) | | |
| AVECO | 27 | 82,987 | 2,001 | | (-*-) | | |
| CARLA | 3 | 72,870 | 3,628 | (-----*-----) | | | |
| CWEAS | 11 | 73,982 | 2,410 | (---*---) | | | |
| EMDEU | 12 | 78,517 | 1,358 | (--*---) | | | |
| ESEAS | 12 | 73,297 | 3,398 | (---*---) | | | |
| NSWUA | 14 | 73,619 | 5,403 | (---*---) | | | |
| SUSAF | 32 | 59,015 | 6,304 | (-*--) | | | |
| | | | | ----- | ----- | ----- | |
| | | | | 63,0 | 70,0 | 77,0 | 84,0 |

Pooled StDev = 4,196

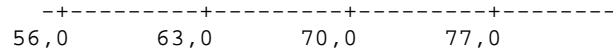
One-way ANOVA: Life expectancy at birth Male 2 versus Grupos

| Source | DF | SS | MS | F | P |
|--------|-----|--------|--------|-------|-------|
| Grupos | 7 | 7470,5 | 1067,2 | 63,37 | 0,000 |
| Error | 124 | 2088,1 | 16,8 | | |
| Total | 131 | 9558,7 | | | |

S = 4,104 R-Sq = 78,15% R-Sq(adj) = 76,92%

Individual 95% CIs For Mean Based on Pooled StDev

| Level | N | Mean | StDev | | | |
|-------|----|--------|-------|---------------|---------|--|
| AIBER | 21 | 72,748 | 3,605 | | (--*--) | |
| AVECO | 27 | 77,526 | 3,387 | | (-*-) | |
| CARLA | 3 | 67,008 | 3,729 | (-----*-----) | | |
| CWEAS | 11 | 65,161 | 3,338 | (---*---) | | |
| EMDEU | 12 | 71,643 | 2,291 | (--*---) | | |
| ESEAS | 12 | 68,748 | 3,252 | (---*---) | | |
| NSWUA | 14 | 70,031 | 5,253 | (---*---) | | |
| SUSAF | 32 | 56,487 | 5,261 | (-*--) | | |



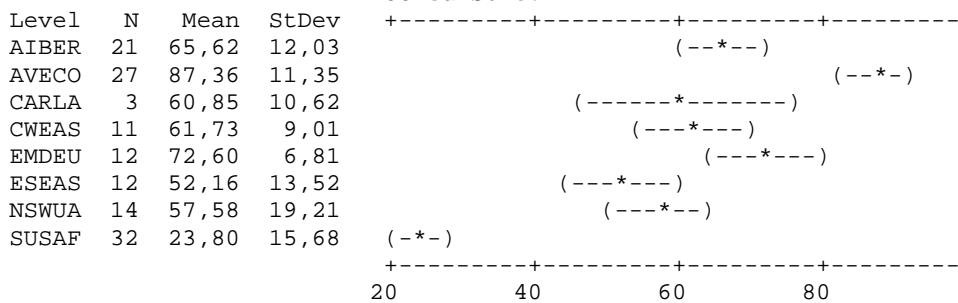
Pooled StDev = 4,104

One-way ANOVA: IDH2013 versus Grupos

| Source | DF | SS | MS | F | P |
|--------|-----|-------|------|-------|-------|
| Grupos | 7 | 65070 | 9296 | 51,87 | 0,000 |
| Error | 124 | 22222 | 179 | | |
| Total | 131 | 87292 | | | |

S = 13,39 R-Sq = 74,54% R-Sq(adj) = 73,11%

Individual 95% CIs For Mean Based on
Pooled StDev



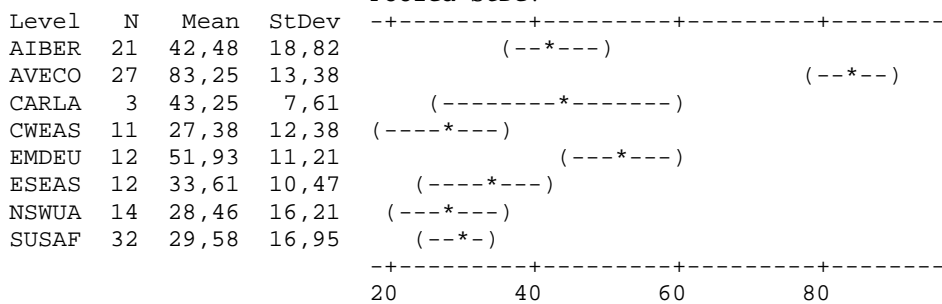
Pooled StDev = 13,39

One-way ANOVA: GOV versus Grupos

| Source | DF | SS | MS | F | P |
|--------|-----|-------|------|-------|-------|
| Grupos | 7 | 56636 | 8091 | 35,45 | 0,000 |
| Error | 124 | 28301 | 228 | | |
| Total | 131 | 84938 | | | |

S = 15,11 R-Sq = 66,68% R-Sq(adj) = 64,80%

Individual 95% CIs For Mean Based on
Pooled StDev



Pooled StDev = 15,11

One-way ANOVA: Population ages 0-14 (% of tota versus Grupos)

| Source | DF | SS | MS | F | P |
|--------|-----|---------|--------|-------|-------|
| Grupos | 7 | 10354,7 | 1479,2 | 40,90 | 0,000 |
| Error | 124 | 4484,4 | 36,2 | | |
| Total | 131 | 14839,2 | | | |

S = 6,014 R-Sq = 69,78% R-Sq(adj) = 68,07%

| Individual 95% CIs For Mean Based on Pooled StDev | | | | | | |
|--|----|--------|-------|---------------|------|--|
| Level | N | Mean | StDev | | | |
| AIBER | 21 | 27,087 | 6,717 | (---*---) | | |
| AVECO | 27 | 16,987 | 3,159 | (---*---) | | |
| CARLA | 3 | 28,006 | 7,690 | (-----*-----) | | |
| CWEAS | 11 | 22,671 | 6,709 | (---*---) | | |
| EMDEU | 12 | 16,436 | 2,355 | (-----*---) | | |
| ESEAS | 12 | 28,147 | 5,699 | (---*---) | | |
| NSWUA | 14 | 29,249 | 7,810 | (---*---) | | |
| SUSAF | 32 | 40,725 | 7,055 | (---*---) | | |
| | | 16,0 | 24,0 | 32,0 | 40,0 | |

Pooled StDev = 6,014

One-way ANOVA: Population ages 15-64 (% of tot versus Grupos)

| Source | DF | SS | MS | F | P |
|--------|-----|--------|-------|-------|-------|
| Grupos | 7 | 2963,2 | 423,3 | 20,92 | 0,000 |
| Error | 124 | 2509,4 | 20,2 | | |
| Total | 131 | 5472,6 | | | |

S = 4,499 R-Sq = 54,15% R-Sq(adj) = 51,56%

| Individual 95% CIs For Mean Based on Pooled StDev | | | | | | |
|--|----|--------|-------|---------------|------|--|
| Level | N | Mean | StDev | | | |
| AIBER | 21 | 64,545 | 3,526 | (---*---) | | |
| AVECO | 27 | 66,191 | 2,482 | (---*---) | | |
| CARLA | 3 | 65,204 | 4,859 | (-----*-----) | | |
| CWEAS | 11 | 68,606 | 3,352 | (-----*-----) | | |
| EMDEU | 12 | 68,969 | 1,316 | (-----*-----) | | |
| ESEAS | 12 | 66,046 | 4,095 | (---*---) | | |
| NSWUA | 14 | 66,385 | 7,560 | (---*---) | | |
| SUSAF | 32 | 55,771 | 5,664 | (---*---) | | |
| | | 55,0 | 60,0 | 65,0 | 70,0 | |

Pooled StDev = 4,499

One-way ANOVA: População Acima 65 anos versus Grupos

| Source | DF | SS | MS | F | P |
|--------|-----|---------|--------|-------|-------|
| Grupos | 7 | 3436,79 | 490,97 | 54,68 | 0,000 |
| Error | 124 | 1113,34 | 8,98 | | |
| Total | 131 | 4550,13 | | | |

S = 2,996 R-Sq = 75,53% R-Sq(adj) = 74,15%

Individual 95% CIs For Mean Based on

| Level | N | Mean | StDev | Pooled StDev |
|--------|----|--------|-------|-----------------|
| AIBER | 21 | 8,368 | 4,230 | (--*--) |
| AVECO | 27 | 16,822 | 3,255 | (--*--) |
| CARLA | 3 | 6,790 | 2,966 | (-----*-----) |
| CWEAS | 11 | 8,723 | 4,148 | (-----*-----) |
| EMDEU | 12 | 14,594 | 2,992 | (-----*-----) |
| ESEAS | 12 | 5,807 | 2,046 | (-----*-----) |
| NSWUA | 14 | 4,366 | 2,338 | (-----*-----) |
| SUSAFA | 32 | 3,504 | 1,553 | (--*-) |

4,0 8,0 12,0 16,0

Pooled StDev = 2,996

One-way ANOVA: Population growth (annual %)Ano versus Grupos

| Source | DF | SS | MS | F | P |
|--------|-----|---------|--------|-------|-------|
| Grupos | 7 | 92,007 | 13,144 | 25,23 | 0,000 |
| Error | 124 | 64,590 | 0,521 | | |
| Total | 131 | 156,596 | | | |

S = 0,7217 R-Sq = 58,75% R-Sq(adj) = 56,43%

Individual 95% CIs For Mean Based on
Pooled StDev

| Level | N | Mean | StDev | 95% CI |
|--------|----|---------|--------|-----------------|
| AIBER | 21 | 1,1083 | 0,7470 | (--*--) |
| AVECO | 27 | 0,5025 | 0,6203 | (--*--) |
| CARLA | 3 | 0,3582 | 0,1508 | (-----*-----) |
| CWEAS | 11 | 0,8353 | 0,9359 | (-----*-----) |
| EMDEU | 12 | -0,3333 | 0,4223 | (-----*-----) |
| ESEAS | 12 | 1,2450 | 0,5001 | (-----*-----) |
| NSWUA | 14 | 1,8341 | 0,7836 | (-----*-----) |
| SUSAFA | 32 | 2,3352 | 0,8410 | (-*---) |

0,0 1,0 2,0 3,0

Pooled StDev = 0,7217

One-way ANOVA: Population, female (% of total) versus Grupos

| Source | DF | SS | MS | F | P |
|--------|-----|--------|-------|------|-------|
| Grupos | 7 | 186,81 | 26,69 | 6,07 | 0,000 |
| Error | 124 | 545,26 | 4,40 | | |
| Total | 131 | 732,07 | | | |

S = 2,097 R-Sq = 25,52% R-Sq(adj) = 21,31%

Individual 95% CIs For Mean Based on Pooled StDev

| Level | N | Mean | StDev | 95% CI |
|-------|----|--------|-------|-----------------|
| AIBER | 21 | 50,517 | 0,865 | (-----*-----) |
| AVECO | 27 | 50,912 | 0,994 | (-----*-----) |
| CARLA | 3 | 50,172 | 0,857 | (-----*-----) |
| CWEAS | 11 | 51,360 | 1,700 | (-----*-----) |
| EMDEU | 12 | 51,322 | 1,124 | (-----*-----) |

| | | | | | | |
|--------|----|--------|-------|---------------------------|-----------------|------|
| ESEAS | 12 | 50,214 | 1,164 | | (-----*-----) | |
| NSWUA | 14 | 47,019 | 5,788 | | (-----*-----) | |
| SUSAFA | 32 | 50,295 | 0,568 | | (--*---) | |
| | | | | +-----+-----+-----+-----+ | | |
| | | | 46,0 | 48,0 | 50,0 | 52,0 |

Pooled StDev = 2,097

One-way ANOVA: Population, totalAno 2013 versus Grupos

| Source | DF | SS | MS | F | P |
|--------|-----|-------------|-------------|------|-------|
| Grupos | 7 | 6,80293E+17 | 9,71847E+16 | 4,23 | 0,000 |
| Error | 124 | 2,84660E+18 | 2,29565E+16 | | |
| Total | 131 | 3,52689E+18 | | | |

S = 151513868 R-Sq = 19,29% R-Sq(adj) = 14,73%

| Level | N | Mean | StDev |
|--------|----|-----------|-----------|
| AIBER | 21 | 30999081 | 47170610 |
| AVECO | 27 | 34913115 | 64206488 |
| CARLA | 3 | 1618588 | 987373 |
| CWEAS | 11 | 21449274 | 41301274 |
| EMDEU | 12 | 8391840 | 10854203 |
| ESEAS | 12 | 273677138 | 487575519 |
| NSWUA | 14 | 37813452 | 49018766 |
| SUSAFA | 32 | 20619576 | 31260048 |

Individual 95% CIs For Mean Based on Pooled StDev

| Level | -----+-----+-----+-----+ |
|----------|--------------------------|
| AIBER | (---*---) |
| AVECO | (---*---) |
| CARLA | (-----*-----) |
| CWEAS | (-----*-----) |
| EMDEU | (-----*-----) |
| ESEAS | (-----*-----) |
| NSWUA | (-----*-----) |
| SUSAFA | (--*---) |
| | -----+-----+-----+-----+ |
| -1,5E+08 | 0 1,50E+08 3,00E+08 |

Pooled StDev = 151513868

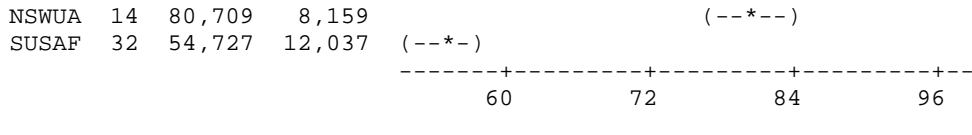
One-way ANOVA: Survival to age 65, female (% o versus Grupos)

| Source | DF | SS | MS | F | P |
|--------|-----|---------|--------|-------|-------|
| Grupos | 7 | 24206,5 | 3458,1 | 64,80 | 0,000 |
| Error | 124 | 6616,8 | 53,4 | | |
| Total | 131 | 30823,4 | | | |

S = 7,305 R-Sq = 78,53% R-Sq(adj) = 77,32%

Individual 95% CIs For Mean Based on
Pooled StDev

| Level | N | Mean | StDev | -----+-----+-----+-----+-- |
|-------|----|--------|-------|----------------------------|
| AIBER | 21 | 84,806 | 4,990 | (--*-) |
| AVECO | 27 | 91,329 | 2,390 | (-*-) |
| CARLA | 3 | 77,182 | 5,125 | (-----*-----) |
| CWEAS | 11 | 79,742 | 4,131 | (--*---) |
| EMDEU | 12 | 87,116 | 2,069 | (---*- --) |
| ESEAS | 12 | 78,722 | 5,583 | (---*---) |

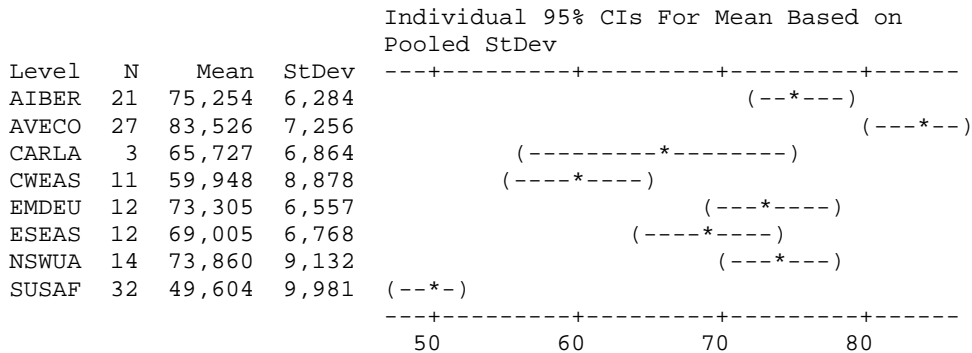


Pooled StDev = 7,305

One-way ANOVA: Survival to age 65, male (% of) versus Grupos

| Source | DF | SS | MS | F | P |
|--------|-----|---------|--------|-------|-------|
| Grupos | 7 | 19986,1 | 2855,2 | 43,23 | 0,000 |
| Error | 124 | 8190,1 | 66,0 | | |
| Total | 131 | 28176,2 | | | |

S = 8,127 R-Sq = 70,93% R-Sq(adj) = 69,29%

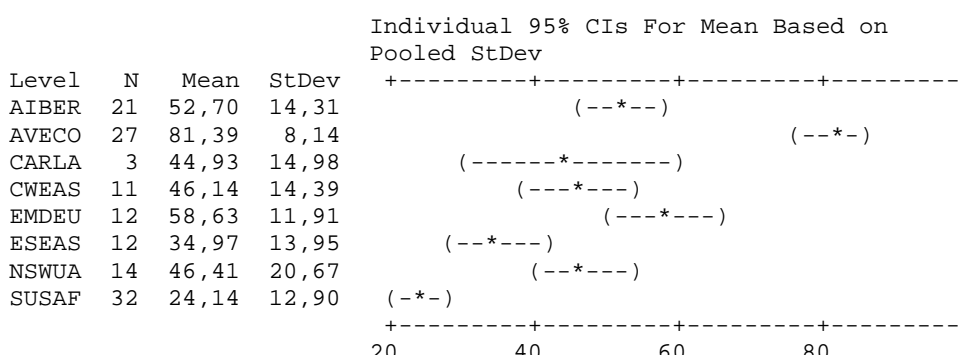


Pooled StDev = 8,127

One-way ANOVA: EPI versus Grupos

| Source | DF | SS | MS | F | P |
|--------|-----|-------|------|-------|-------|
| Grupos | 7 | 52100 | 7443 | 40,56 | 0,000 |
| Error | 124 | 22755 | 184 | | |
| Total | 131 | 74855 | | | |

S = 13,55 R-Sq = 69,60% R-Sq(adj) = 67,89%

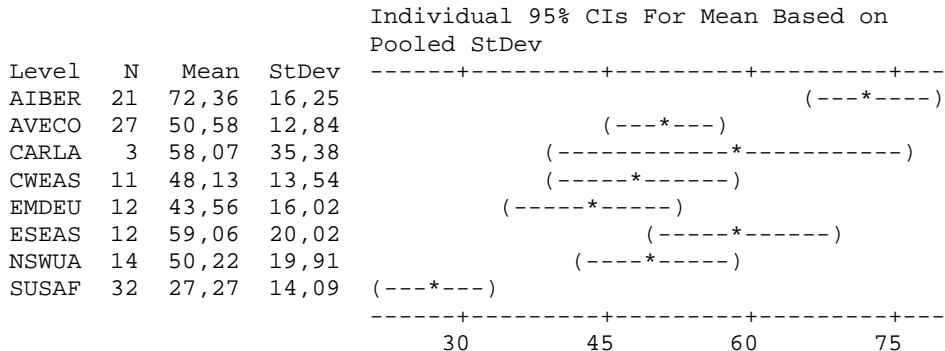


Pooled StDev = 13,55

One-way ANOVA: HPI versus Grupos

| Source | DF | SS | MS | F | P |
|--------|-----|-------|------|-------|-------|
| Grupos | 7 | 28446 | 4064 | 15,53 | 0,000 |
| Error | 124 | 32448 | 262 | | |
| Total | 131 | 60894 | | | |

S = 16,18 R-Sq = 46,71% R-Sq(adj) = 43,71%

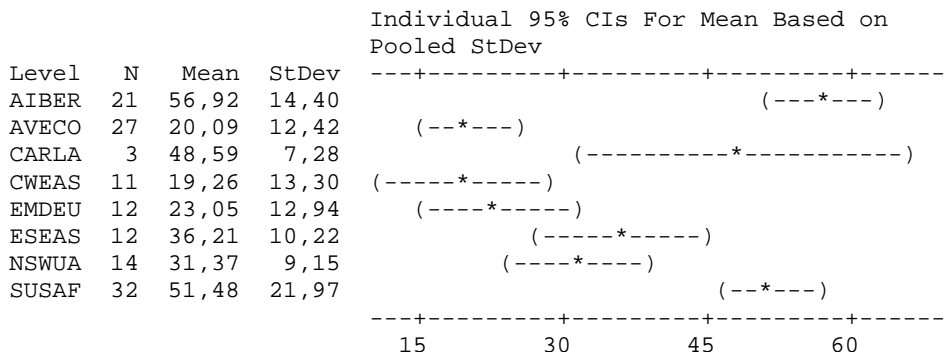


Pooled StDev = 16,18

One-way ANOVA: GINNI versus Grupos

| Source | DF | SS | MS | F | P |
|--------|-----|-------|------|-------|-------|
| Grupos | 7 | 29417 | 4202 | 17,92 | 0,000 |
| Error | 124 | 29075 | 234 | | |
| Total | 131 | 58492 | | | |

S = 15,31 R-Sq = 50,29% R-Sq(adj) = 47,49%

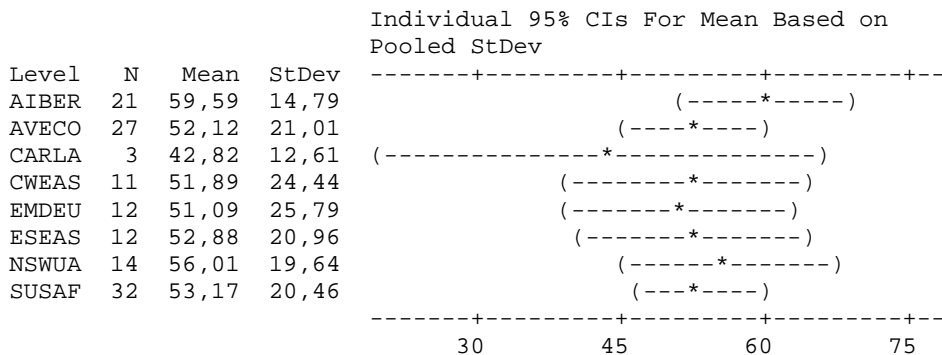


Pooled StDev = 15,31

One-way ANOVA: OHI versus Grupos

| Source | DF | SS | MS | F | P |
|--------|-----|-------|-----|------|-------|
| Grupos | 7 | 1361 | 194 | 0,46 | 0,861 |
| Error | 124 | 52278 | 422 | | |
| Total | 131 | 53639 | | | |

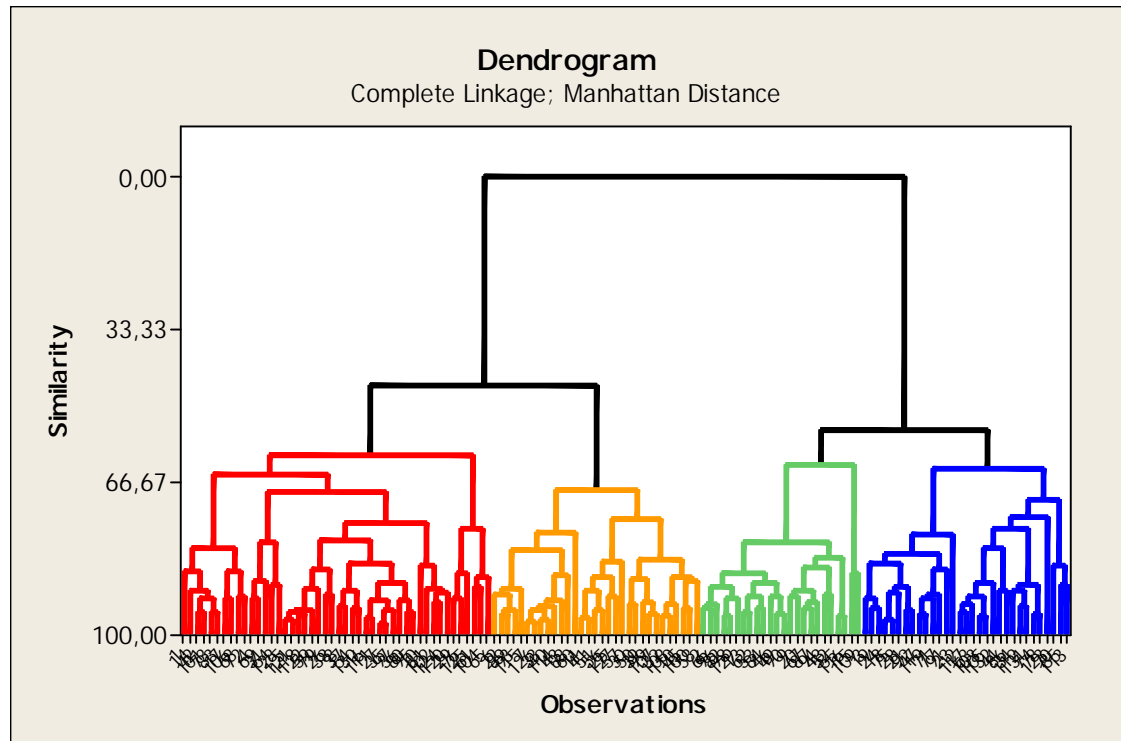
S = 20,53 R-Sq = 2,54% R-Sq(adj) = 0,00%



Pooled StDev = 20,53

| Variáveis | F |
|---|--------------|
| SPI | 58,02 |
| Expectativa de vida (em anos) | 85,23 |
| Life expectancy at birth Female | 81,23 |
| Life expectancy at birth Male 2 | 63,37 |
| IDH2013 | 51,87 |
| GOV | 35,45 |
| Population ages 0-14 (% of total) | 40,90 |
| Population ages 15-64 (% of total) | 20,92 |
| População Acima 65 anos | 54,68 |
| Population growth (annual %) | 25,23 |
| Population, female (% of total) | 6,07 |
| Population, totalAno 2013 | 4,23 |
| Survival to age 65, female (% of | 64,80 |
| Survival to age 65, male (% of | 43,23 |
| EPI | 40,56 |
| HPI | 15,53 |
| GINNI | 17,92 |
| OHI | 0,46 |

6. Classificação não supervisionada de países



(arrumar a tabela configurar)

Number of clusters: 4

| | Number of observations | Within cluster sum of squares | Average distance from centroid | Maximum distance from centroid | from |
|-------------------|------------------------|-------------------------------|--------------------------------|--------------------------------|------|
| centroid | | | | | |
| Cluster1 | 46 | 87,3228 | 1,25370 | 3,01789 | |
| Cluster2 | 24 | 29,6574 | 0,98472 | 2,95734 | |
| Cluster3 | 31 | 45,9623 | 1,13589 | 2,30138 | |
| Cluster4 | 31 | 35,5516 | 1,00797 | | |
| 1,8764 | | | | | |
| Cluster Centroids | | | | | |

| Variable | Cluster1 | Cluster2 | Cluster3 | Cluster4 |
|------------------------------|-----------|-----------|----------|----------|
| Expectativa de vida(em anos) | 0,423840 | -0,290625 | -1,44879 | 1,04487 |
| IDH2013 | 0,376934 | -0,359750 | -1,44269 | 1,16188 |
| GOV | -0,115520 | -0,644266 | -0,76850 | 1,43870 |
| População Acima 65 anos | 0,107366 | -0,723928 | -0,94782 | 1,34896 |
| Population growth(annual) | -0,520099 | 0,381859 | 1,17008 | -0,69395 |
| EPI | 0,205942 | -0,615629 | -1,17760 | 1,34863 |
| Longevidade | 0,363346 | -0,415789 | -1,42959 | 1,21233 |

| Variable | Grand centroid |
|---------------------------------|----------------|
| Expectativa de vida (em anos) | -0,0000000 |
| IDH2013 | 0,0000000 |
| GOV | 0,0000000 |
| População Acima 65 anos | -0,0000000 |
| Population growth (annual %)Ano | -0,0000000 |
| EPI | 0,0000000 |
| Longevidade | -0,0000000 |

Distances Between Cluster Centroids

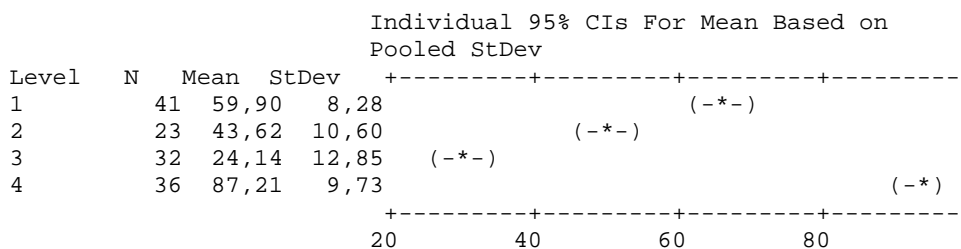
| | Cluster1 | Cluster2 | Cluster3 | Cluster4 |
|----------|----------|----------|----------|----------|
| Cluster1 | 0,00000 | 2,02962 | 4,04266 | 2,64872 |
| Cluster2 | 2,02962 | 0,00000 | 2,13180 | 4,51675 |
| Cluster3 | 4,04266 | 2,13180 | 0,00000 | 6,32339 |
| Cluster4 | 2,64872 | 4,51675 | 6,32339 | 0,00000 |

7. Comparação das 4 regiões de países

One-way ANOVA: SPI versus NGRUPOS

| Source | DF | SS | MS | F | P |
|---------|-----|-------|-------|---------------|-------|
| NGRUPOS | 3 | 71688 | 23896 | 224,16 | 0,000 |
| Error | 128 | 13645 | 107 | | |
| Total | 131 | 85333 | | | |

S = 10,32 R-Sq = 84,01% R-Sq(adj) = 83,63%



Pooled StDev = 10,32

One-way ANOVA: HPI versus NGRUPOS

| Source | DF | SS | MS | F | P |
|---------|-----|-------|------|--------------|-------|
| NGRUPOS | 3 | 21601 | 7200 | 23,46 | 0,000 |
| Error | 128 | 39293 | 307 | | |
| Total | 131 | 60894 | | | |

S = 17,52 R-Sq = 35,47% R-Sq(adj) = 33,96%

Individual 95% CIs For Mean Based on
Pooled StDev

| Level | N | Mean | StDev | (-----*-----) | (-----*-----) |
|-------|----|-------|-------|---------------|---------------|
| 1 | 41 | 57,31 | 21,94 | | |
| 2 | 23 | 61,64 | 18,18 | | |
| 3 | 32 | 27,25 | 14,44 | (-----*-----) | |
| 4 | 36 | 48,79 | 13,42 | | (-----*-----) |
| | | | | 24 | 36 |
| | | | | 48 | 60 |

Pooled StDev = 17,52

One-way ANOVA: OHI versus NGRUPOS

| Source | DF | SS | MS | F | P |
|---------|-----|-------|-----|-------------|-------|
| NGRUPOS | 3 | 634 | 211 | 0,51 | 0,676 |
| Error | 128 | 53005 | 414 | | |
| Total | 131 | 53639 | | | |

S = 20,35 R-Sq = 1,18% R-Sq(adj) = 0,00%

Individual 95% CIs For Mean Based on
Pooled StDev

| Level | N | Mean | StDev | (-----*-----) | (-----*-----) |
|-------|----|-------|-------|---------------|---------------|
| 1 | 41 | 50,66 | 20,64 | | |
| 2 | 23 | 56,45 | 18,57 | | |
| 3 | 32 | 54,06 | 21,32 | (-----*-----) | |
| 4 | 36 | 55,17 | 20,20 | | (-----*-----) |
| | | | | 48,0 | 54,0 |
| | | | | 60,0 | 66,0 |

Pooled StDev = 20,35

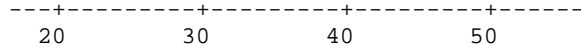
One-way ANOVA: GINNI versus NGRUPOS

| Source | DF | SS | MS | F | P |
|---------|-----|-------|------|--------------|-------|
| NGRUPOS | 3 | 12601 | 4200 | 11,72 | 0,000 |
| Error | 128 | 45891 | 359 | | |
| Total | 131 | 58492 | | | |

S = 18,93 R-Sq = 21,54% R-Sq(adj) = 19,70%

Individual 95% CIs For Mean Based on
Pooled StDev

| Level | N | Mean | StDev | (-----*-----) | (-----*-----) |
|-------|----|-------|-------|---------------|---------------|
| 1 | 41 | 38,05 | 18,80 | | |
| 2 | 23 | 40,33 | 22,47 | | |
| 3 | 32 | 49,53 | 20,74 | | |
| 4 | 36 | 22,78 | 14,45 | (-----*-----) | |



Pooled StDev = 18,93

One-way ANOVA: Longevidade versus NGRUPOS

| Source | DF | SS | MS | F | P |
|---------|-----|---------|---------|---------------|-------|
| NGRUPOS | 3 | 88419,1 | 29473,0 | 463,23 | 0,000 |
| Error | 128 | 8144,0 | 63,6 | | |
| Total | 131 | 96563,1 | | | |

S = 7,977 R-Sq = 91,57% R-Sq(adj) = 91,37%

Individual 95% CIs For Mean Based on
Pooled StDev

| Level | N | Mean | StDev | |
|-------|----|--------|--------|-----------|
| 1 | 41 | 66,863 | 6,419 | (* -) |
| 2 | 23 | 48,243 | 6,334 | (- * -) |
| 3 | 32 | 18,675 | 10,001 | (* -) |
| 4 | 36 | 88,517 | 8,473 | (* -) |

20 40 60 80

Pooled StDev = 7,977

One-way ANOVA: Population, female (% of total) versus NGRUPOS

| Source | DF | SS | MS | F | P |
|---------|-----|--------|-------|-------------|-------|
| NGRUPOS | 3 | 41,00 | 13,67 | 2,53 | 0,060 |
| Error | 128 | 691,07 | 5,40 | | |
| Total | 131 | 732,07 | | | |

S = 2,324 R-Sq = 5,60% R-Sq(adj) = 3,39%

Individual 95% CIs For Mean Based on
Pooled StDev

| Level | N | Mean | StDev | |
|-------|----|--------|-------|-----------------|
| 1 | 41 | 49,674 | 3,951 | (-----*-----) |
| 2 | 23 | 50,155 | 0,922 | (-----*-----) |
| 3 | 32 | 50,206 | 0,545 | (-----*-----) |
| 4 | 36 | 51,120 | 1,052 | (-----*-----) |

49,60 50,40 51,20 52,00

Pooled StDev = 2,324

One-way ANOVA: Population growth (annual %)Ano versus NGRUPOS

| Source | DF | SS | MS | F | P |
|---------|-----|---------|--------|--------------|-------|
| NGRUPOS | 3 | 87,631 | 29,210 | 54,21 | 0,000 |
| Error | 128 | 68,966 | 0,539 | | |
| Total | 131 | 156,596 | | | |

S = 0,7340 R-Sq = 55,96% R-Sq(adj) = 54,93%

Individual 95% CIs For Mean Based on
Pooled StDev

| Level | N | Mean | StDev | |
|-------|---|------|-------|--|
|-------|---|------|-------|--|

| | | | | |
|---|----|--------|--------|--|
| 1 | 41 | 0,7547 | 0,8739 | (---*---) |
| 2 | 23 | 1,6763 | 0,4663 | (---*---) |
| 3 | 32 | 2,4107 | 0,7584 | (---*---) |
| 4 | 36 | 0,3280 | 0,6720 | (---*---) |
| | | | | -----+-----+-----+-----+ |
| | | | | 0,70 1,40 2,10 2,80 |

Pooled StDev = 0,7340

One-way ANOVA: Survival to age 65, female (% o versus NGRUPOS)

| Source | DF | SS | MS | F | P |
|---------|-----|---------|--------|---------------|-------|
| NGRUPOS | 3 | 26000,4 | 8666,8 | 230,02 | 0,000 |
| Error | 128 | 4822,9 | 37,7 | | |
| Total | 131 | 30823,4 | | | |

S = 6,138 R-Sq = 84,35% R-Sq(adj) = 83,99%

Individual 95% CIs For Mean Based on Pooled StDev

| Level | N | Mean | StDev | |
|-------|----|--------|--------|--|
| 1 | 41 | 84,843 | 3,420 | (- *) |
| 2 | 23 | 76,084 | 3,856 | (- * ---) |
| 3 | 32 | 54,143 | 11,001 | (- * -) |
| 4 | 36 | 90,714 | 2,809 | (- *) |
| | | | | -----+-----+-----+-----+ |
| | | | | 60 72 84 96 |

Pooled StDev = 6,138

One-way ANOVA: Survival to age 65, male (% of versus NGRUPOS)

| Source | DF | SS | MS | F | P |
|---------|-----|---------|--------|--------------|-------|
| NGRUPOS | 3 | 18911,9 | 6304,0 | 87,10 | 0,000 |
| Error | 128 | 9264,2 | 72,4 | | |
| Total | 131 | 28176,2 | | | |

S = 8,507 R-Sq = 67,12% R-Sq(adj) = 66,35%

Individual 95% CIs For Mean Based on Pooled StDev

| Level | N | Mean | StDev | |
|-------|----|--------|-------|--|
| 1 | 41 | 73,419 | 8,723 | (- * ---) |
| 2 | 23 | 65,228 | 6,391 | (- * ---) |
| 3 | 32 | 49,389 | 9,547 | (---*---) |
| 4 | 36 | 81,399 | 8,446 | (- * ---) |
| | | | | -----+-----+-----+-----+ |
| | | | | 50 60 70 80 |

Pooled StDev = 8,507

One-way ANOVA: Population, totalAno 2013 versus NGRUPOS

| Source | DF | SS | MS | F | P |
|---------|-----|-------------|-------------|------|-------|
| NGRUPOS | 3 | 9,24517E+16 | 3,08172E+16 | 1,15 | 0,332 |
| Error | 128 | 3,43444E+18 | 2,68316E+16 | | |
| Total | 131 | 3,52689E+18 | | | |

S = 163803448 R-Sq = 2,62% R-Sq(adj) = 0,34%

| Individual 95% CIs For Mean Based on Pooled StDev | | | | | |
|---|----|----------|-----------|---------------|----------------------------|
| Level | N | Mean | StDev | | |
| 1 | 41 | 59305382 | 212171577 | (-----*-----) | |
| 2 | 23 | 96032189 | 260433854 | (-----*-----) | |
| 3 | 32 | 21391378 | 31035465 | (-----*-----) | |
| 4 | 36 | 30102500 | 56503639 | (-----*-----) | |
| | | | | 0 | 50000000 1,00E+08 1,50E+08 |

Pooled StDev = 163803448

8. Classificação Supervisionada

Discriminant Analysis: NGRUPOSo versus SPI; HPI; ...

Linear Method for Response: NGRUPOSo

Predictors: SPI; HPI; GINNI; OHI; Longevidade; Survival to age 65, female (%); Survival to age 65, male (% of; Population, female (% of total); Population growth (annual %)Ano; Population, totalAno 2013

| Group | 1 | 2 | 3 | 4 |
|-------|----|----|----|----|
| Count | 32 | 23 | 41 | 36 |

Summary of classification

| | True Group | | | |
|----------------|------------|-------|-------|-------|
| Put into Group | 1 | 2 | 3 | 4 |
| 1 | 32 | 0 | 0 | 0 |
| 2 | 0 | 23 | 2 | 0 |
| 3 | 0 | 0 | 39 | 3 |
| 4 | 0 | 0 | 0 | 33 |
| Total N | 32 | 23 | 41 | 36 |
| N correct | 32 | 23 | 39 | 33 |
| Proportion | 1,000 | 1,000 | 0,951 | 0,917 |

N = 132 N Correct = 127 Proportion Correct = 0,962

Squared Distance Between Groups

| 1 | 2 | 3 | 4 |
|---|---|---|---|
|---|---|---|---|

| | | | | |
|---|---------|--------|--------|---------|
| 1 | 0,000 | 29,049 | 63,403 | 117,754 |
| 2 | 29,049 | 0,000 | 9,400 | 45,131 |
| 3 | 63,403 | 9,400 | 0,000 | 17,834 |
| 4 | 117,754 | 45,131 | 17,834 | 0,000 |

Linear Discriminant Function for Groups

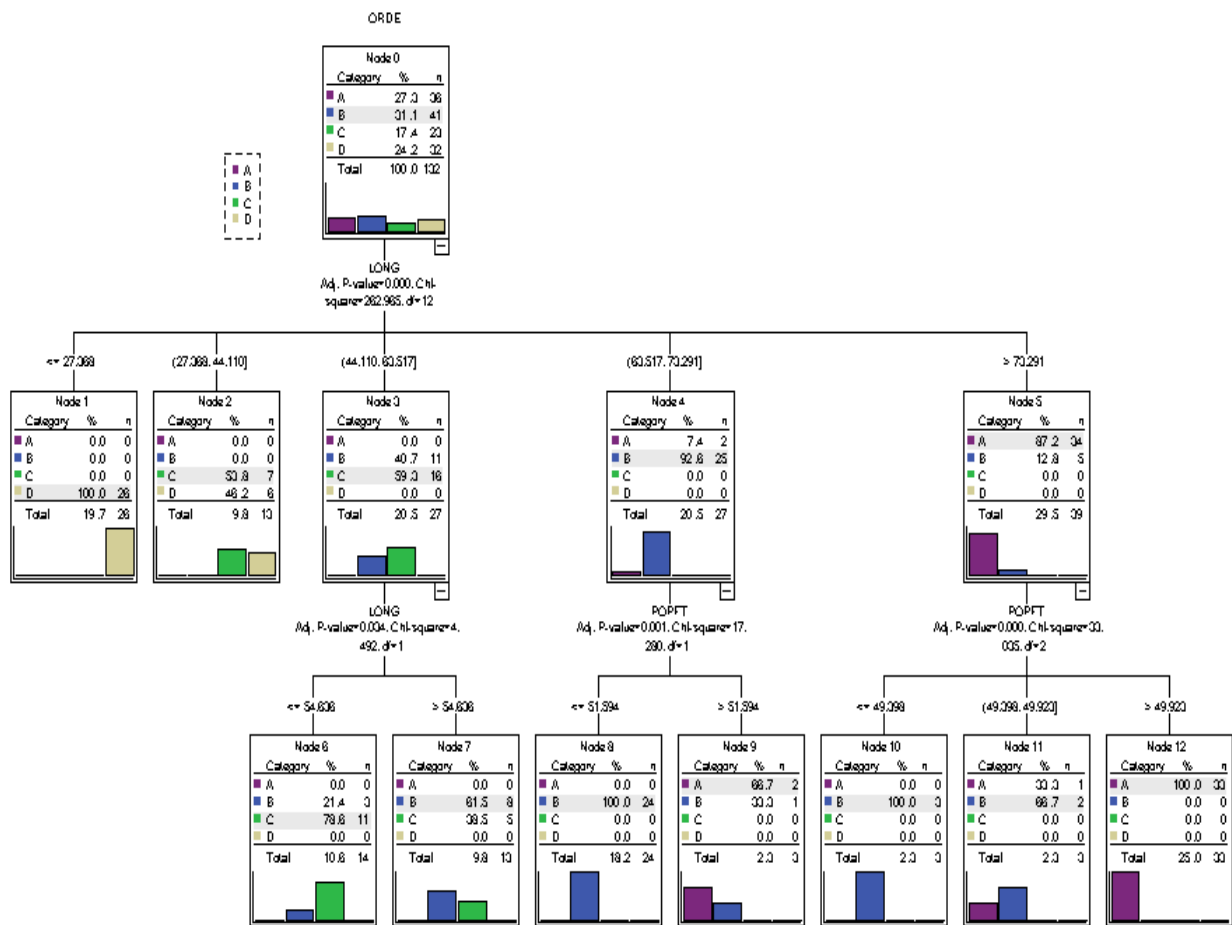
| | 1 | 2 | 3 | 4 |
|---------------------------------|---------|---------|---------|---------|
| Constant | -550,04 | -551,45 | -558,34 | -621,78 |
| SPI | 2,12 | 2,16 | 2,15 | 2,25 |
| HPI | -0,74 | -0,61 | -0,64 | -0,72 |
| GINNI | 0,06 | 0,05 | 0,06 | -0,04 |
| OHI | 0,24 | 0,24 | 0,24 | 0,31 |
| Longevidade | -4,21 | -3,74 | -3,30 | -2,65 |
| Survival to age 65, female (% o | 1,32 | 2,22 | 2,34 | 1,88 |
| Survival to age 65, male (% of | 4,59 | 3,84 | 3,64 | 3,65 |
| Population, female (% of total) | 16,14 | 15,47 | 15,28 | 16,25 |
| Population growth (annual %)Ano | 9,44 | 7,63 | 5,65 | 6,11 |
| Population, totalAno 2013 | 0,00 | 0,00 | 0,00 | 0,00 |

Summary of Misclassified Observations

| Observation | True Group | | | Pred Group | | | Squared Distance | Probability |
|-------------|------------|---------|---------|------------|--------|--|------------------|-------------|
| | Group 1 | Group 2 | Group 3 | Group 4 | | | | |
| 17** | 4 | 3 | 1 | 1 | 97,546 | | 0,000 | |
| | | | | 2 | 33,075 | | 0,000 | |
| | | | | 3 | 9,411 | | 0,560 | |
| | | | | 4 | 9,897 | | 0,440 | |
| 25** | 4 | 3 | 1 | 1 | 97,838 | | 0,000 | |
| | | | | 2 | 28,441 | | 0,000 | |
| | | | | 3 | 8,972 | | 0,834 | |
| | | | | 4 | 12,205 | | 0,166 | |
| 37** | 3 | 2 | 1 | 1 | 41,747 | | 0,000 | |
| | | | | 2 | 6,790 | | 0,539 | |
| | | | | 3 | 7,102 | | 0,461 | |
| | | | | 4 | 25,055 | | 0,000 | |
| 57** | 4 | 3 | 1 | 1 | 98,23 | | 0,000 | |
| | | | | 2 | 31,86 | | 0,000 | |
| | | | | 3 | 14,76 | | 0,793 | |
| | | | | 4 | 17,45 | | 0,207 | |
| 61** | 3 | 2 | 1 | 1 | 47,636 | | 0,000 | |
| | | | | 2 | 7,324 | | 0,708 | |
| | | | | 3 | 9,094 | | 0,292 | |
| | | | | 4 | 27,925 | | 0,000 | |

ARVORE
Model Summary

| | | |
|----------------|--------------------------------|---|
| Specifications | Growing Method | EXHAUSTIVE CHAID |
| | Dependent Variable | ORDE |
| | Independent Variables | SPI, AWI, HPI, OHI, LONG, POPFT, SURM65, SURF65 |
| | Validation | None |
| | Maximum Tree Depth | 5 |
| | Minimum Cases in Parent Node | 5 |
| | Minimum Cases in Child Node | 3 |
| Results | Independent Variables Included | LONG, POPFT |
| | Number of Nodes | 13 |
| | Number of Terminal Nodes | 9 |
| | Depth | 2 |



Classification

| Observed | Predicted | | | | Percent Correct |
|--------------------|-----------|-------|-------|-------|-----------------|
| | A | B | C | D | |
| A | 35 | 1 | 0 | 0 | 97,2% |
| B | 1 | 37 | 3 | 0 | 90,2% |
| C | 0 | 5 | 18 | 0 | 78,3% |
| D | 0 | 0 | 6 | 26 | 81,3% |
| Overall Percentage | 27,3% | 32,6% | 20,5% | 19,7% | 87,9% |

Growing Method: EXHAUSTIVE CHAID
Dependent Variable: ORDE

9. CLASSIFICAÇÃO SUPERVISIONADA 3 REGIÕES

CLUSTER 3REGIONS (3REG)

Final Partition Number of clusters: 3

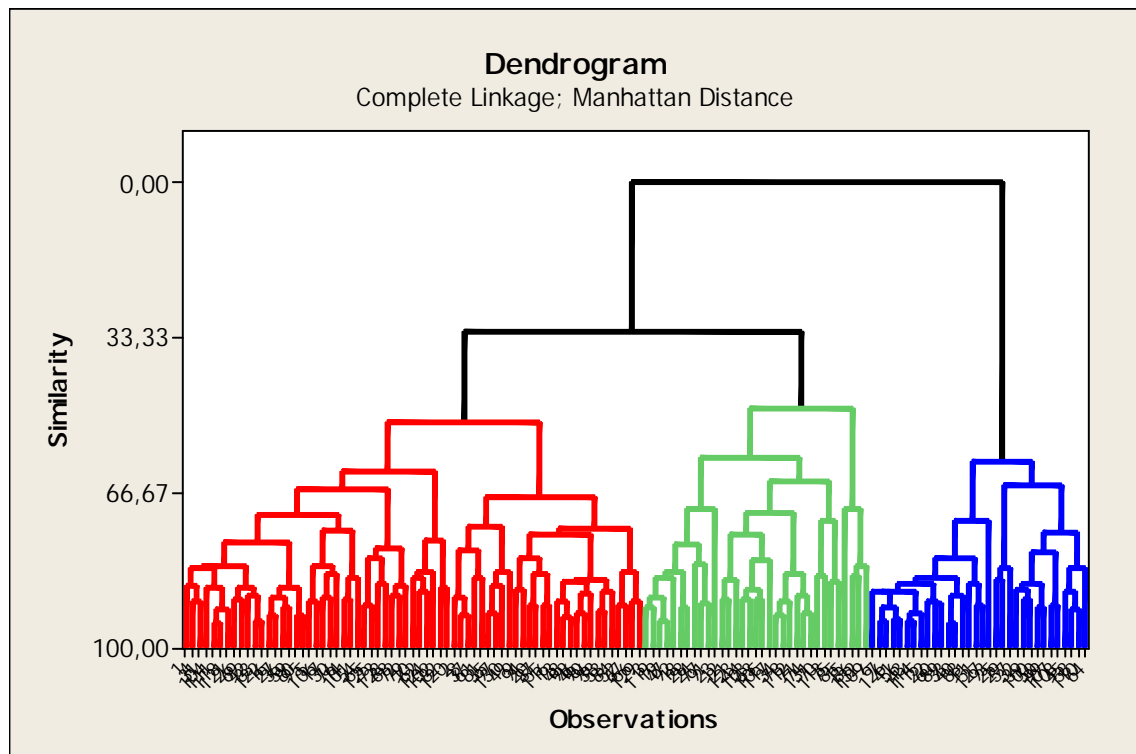
| | Number of observations | Within cluster sum of squares | Average distance from centroid | Maximum distance from centroid |
|----------|------------------------|-------------------------------|--------------------------------|--------------------------------|
| Cluster1 | 67 | 138566 | 43,6835 | 66,6323 |
| Cluster2 | 33 | 72272 | 44,3278 | 86,8536 |
| Cluster3 | 32 | 45187 | 34,9021 | 71,4438 |

Cluster Centroids

| Variable | Cluster1 | Cluster2 | Cluster3 | Grand centroid |
|---------------------------------|----------|----------|----------|----------------|
| Longevidade | 61,2331 | 19,2948 | 90,4943 | 57,8421 |
| AWI | 46,5806 | 43,0576 | 71,3281 | 51,6992 |
| IDH2013 | 61,6194 | 22,8797 | 86,8554 | 58,0523 |
| GOV | 36,2673 | 27,4819 | 81,4238 | 45,0180 |
| População Acima 65 anos | 7,9715 | 3,3163 | 16,2751 | 8,8207 |
| Survival to age 65, female (% o | 82,1534 | 54,5164 | 91,3575 | 77,4755 |
| Survival to age 65, male (% of | 70,3566 | 49,5654 | 83,4900 | 68,3426 |
| EPI | 47,2102 | 22,5702 | 80,7562 | 49,1826 |
| HPI | 56,6914 | 27,6190 | 52,6940 | 48,4542 |
| GINNI | 36,8785 | 50,9137 | 23,1842 | 37,0675 |
| OHI | 54,2593 | 53,8816 | 52,4303 | 53,7215 |

Distances Between Cluster Centroids

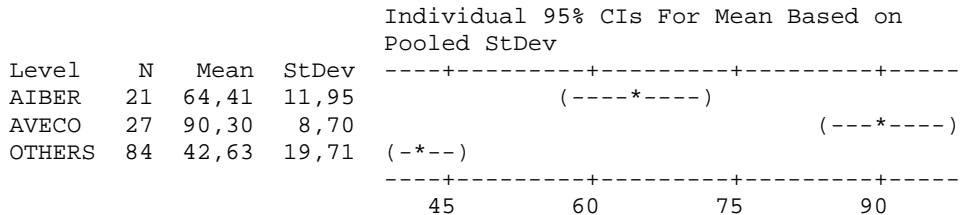
| | Cluster1 | Cluster2 | Cluster3 |
|----------|----------|----------|----------|
| Cluster1 | 0,0000 | 78,844 | 76,177 |
| Cluster2 | 78,8441 | 0,000 | 142,593 |
| Cluster3 | 76,1772 | 142,593 | 0,000 |



One-way ANOVA: SPI versus 3REGIOES

| Source | DF | SS | MS | F | P |
|----------|-----|-------|-------|-------|-------|
| 3REGIOES | 2 | 48262 | 24131 | 83,97 | 0,000 |
| Error | 129 | 37071 | 287 | | |
| Total | 131 | 85333 | | | |

S = 16,95 R-Sq = 56,56% R-Sq(adj) = 55,88%

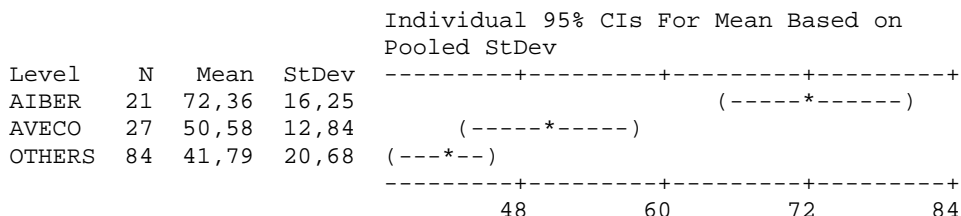


Pooled StDev = 16,95

One-way ANOVA: HPI versus 3REGIOES

| Source | DF | SS | MS | F | P |
|----------|-----|-------|------|-------|-------|
| 3REGIOES | 2 | 15846 | 7923 | 22,69 | 0,000 |
| Error | 129 | 45048 | 349 | | |
| Total | 131 | 60894 | | | |

S = 18,69 R-Sq = 26,02% R-Sq(adj) = 24,87%

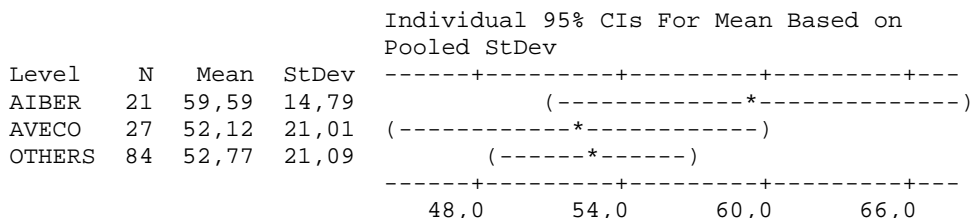


Pooled StDev = 18,69

One-way ANOVA: OHI versus 3REGIOES

| Source | DF | SS | MS | F | P |
|----------|-----|-------|-----|------|-------|
| 3REGIOES | 2 | 870 | 435 | 1,06 | 0,348 |
| Error | 129 | 52769 | 409 | | |
| Total | 131 | 53639 | | | |

S = 20,23 R-Sq = 1,62% R-Sq(adj) = 0,10%



Pooled StDev = 20,23

One-way ANOVA: GINNI versus 3REGIOES

| Source | DF | SS | MS | F | P |
|----------|-----|-------|------|-------|-------|
| 3REGIOES | 2 | 16078 | 8039 | 24,45 | 0,000 |
| Error | 129 | 42414 | 329 | | |
| Total | 131 | 58492 | | | |

S = 18,13 R-Sq = 27,49% R-Sq(adj) = 26,36%

Individual 95% CIs For Mean Based on
Pooled StDev

| Level | N | Mean | StDev | (-----*-----) |
|--------|----|-------|-------|---------------|
| AIBER | 21 | 56,92 | 14,40 | (---*---) |
| AVECO | 27 | 20,09 | 12,42 | (---*---) |
| OTHERS | 84 | 37,56 | 20,32 | (--*--) |

15 30 45 60

Pooled StDev = 18,13

One-way ANOVA: Population, female (% of total) versus 3REGIOES

| Source | DF | SS | MS | F | P |
|----------|-----|--------|------|------|-------|
| 3REGIOES | 2 | 17,66 | 8,83 | 1,59 | 0,207 |
| Error | 129 | 714,41 | 5,54 | | |
| Total | 131 | 732,07 | | | |

S = 2,353 R-Sq = 2,41% R-Sq(adj) = 0,90%

Individual 95% CIs For Mean Based on
Pooled StDev

| Level | N | Mean | StDev | (-----*-----) |
|--------|----|--------|-------|---------------|
| AIBER | 21 | 50,517 | 0,865 | (-----*-----) |
| AVECO | 27 | 50,912 | 0,994 | (-----*-----) |
| OTHERS | 84 | 50,019 | 2,849 | (-----*-----) |

49,80 50,40 51,00 51,60

Pooled StDev = 2,353

One-way ANOVA: Population growth (annual %)Ano versus 3REGIOES

| Source | DF | SS | MS | F | P |
|----------|-----|--------|------|------|-------|
| 3REGIOES | 2 | 18,47 | 9,23 | 8,62 | 0,000 |
| Error | 129 | 138,13 | 1,07 | | |
| Total | 131 | 156,60 | | | |

S = 1,035 R-Sq = 11,79% R-Sq(adj) = 10,43%

| Individual 95% CIs For Mean Based on Pooled StDev | | | |
|---|----|-------|-------|
| Level | N | Mean | StDev |
| AIBER | 21 | 1,108 | 0,747 |
| AVECO | 27 | 0,502 | 0,620 |
| OTHERS | 84 | 1,448 | 1,187 |

Pooled StDev = 1,035

One-way ANOVA: Longevidade versus 3REGIOES

| Source | DF | SS | MS | F | P |
|----------|-----|-------|-------|-------|-------|
| 3REGIOES | 2 | 47457 | 23729 | 62,34 | 0,000 |
| Error | 129 | 49106 | 381 | | |
| Total | 131 | 96563 | | | |

S = 19,51 R-Sq = 49,15% R-Sq(adj) = 48,36%

| Individual 95% CIs For Mean Based on Pooled StDev | | | |
|---|----|-------|-------|
| Level | N | Mean | StDev |
| AIBER | 21 | 68,75 | 12,05 |
| AVECO | 27 | 91,09 | 6,99 |
| OTHERS | 84 | 44,43 | 23,27 |

45 60 75 90

Pooled StDev = 19,51

One-way ANOVA: Survival to age 65, female (% o versus 3REGIOES)

| Source | DF | SS | MS | F | P |
|----------|-----|-------|------|-------|-------|
| 3REGIOES | 2 | 9629 | 4814 | 29,30 | 0,000 |
| Error | 129 | 21195 | 164 | | |
| Total | 131 | 30823 | | | |

S = 12,82 R-Sq = 31,24% R-Sq(adj) = 30,17%

Individual 95% CIs For Mean Based on
Pooled StDev

| Level | N | Mean | StDev | -----+-----+-----+----- | (-----*-----) | (-----*-----) |
|--------|----|-------|-------|--|---------------|---------------|
| AIBER | 21 | 84,81 | 4,99 | (---*--- | | |
| AVECO | 27 | 91,33 | 2,39 | | | |
| OTHERS | 84 | 71,19 | 15,73 | | | |
| | | | | -----+-----+-----+----- | | |
| | | | | 70,0 77,0 84,0 91,0 | | |

Pooled StDev = 12,82

One-way ANOVA: Survival to age 65, male (% of versus 3REGIOES)

| Source | DF | SS | MS | F | P |
|----------|-----|-------|------|-------|-------|
| 3REGIOES | 2 | 10896 | 5448 | 40,67 | 0,000 |
| Error | 129 | 17281 | 134 | | |
| Total | 131 | 28176 | | | |

S = 11,57 R-Sq = 38,67% R-Sq(adj) = 37,72%

Individual 95% CIs For Mean Based on
Pooled StDev

| Level | N | Mean | StDev | -----+-----+-----+----- | (-----*-----) | (-----*-----) |
|--------|----|-------|-------|--|---------------|---------------|
| AIBER | 21 | 75,25 | 6,28 | (---*--- | | |
| AVECO | 27 | 83,53 | 7,26 | | | |
| OTHERS | 84 | 61,73 | 13,50 | (--*--) | | |
| | | | | -----+-----+-----+----- | | |
| | | | | 64,0 72,0 80,0 88,0 | | |

Pooled StDev = 11,57

One-way ANOVA: Population, totalAno 2013 versus 3REGIOES

| Source | DF | SS | MS | F | P |
|----------|-----|-------------|-------------|------|-------|
| 3REGIOES | 2 | 1,79498E+16 | 8,97488E+15 | 0,33 | 0,720 |
| Error | 129 | 3,50894E+18 | 2,72011E+16 | | |
| Total | 131 | 3,52689E+18 | | | |

S = 164927582 R-Sq = 0,51% R-Sq(adj) = 0,00%

| Level | N | Mean | StDev |
|--------|----|----------|-----------|
| AIBER | 21 | 30999081 | 47170610 |
| AVECO | 27 | 34913115 | 64206488 |
| OTHERS | 84 | 57319527 | 201119075 |

Individual 95% CIS For Mean Based on Pooled StDev

| Level | - | - | - | - |
|--------|--|---|---|---|
| AIBER | (-----* -----)</td <td></td> <td></td> <td></td> | | | |
| AVECO | (-----* -----)</td <td></td> <td></td> <td></td> | | | |
| OTHERS | (-----* -----)</td <td></td> <td></td> <td></td> | | | |

-----+-----+-----+-----
-4,0E+07 0 40000000 80000000

Pooled StDev = 164927582

Discriminant Analysis: 3REGIOESo versus SPI; HPI; ...

Linear Method for Response: 3REGIOESo

Predictors: SPI; HPI; GINNI; OHI; Longevidade; Survival to age 65, female (% o;
 Survival to age 65, male (% of; Population, female (% of total);
 Population growth (annual %)Ano; Population, totalAno 2013

| Group | 1 | 2 | 3 |
|-------|----|----|----|
| Count | 84 | 21 | 27 |

Summary of classification

| | True Group | | |
|----------------|------------|-------|-------|
| Put into Group | 1 | 2 | 3 |
| 1 | 73 | 0 | 1 |
| 2 | 8 | 18 | 1 |
| 3 | 3 | 3 | 25 |
| Total N | 84 | 21 | 27 |
| N correct | 73 | 18 | 25 |
| Proportion | 0,869 | 0,857 | 0,926 |

N = 132 N Correct = 116 Proportion Correct = 0,879

Squared Distance Between Groups

| | 1 | 2 | 3 |
|---|---------|---------|---------|
| 1 | 0,0000 | 7,2990 | 16,6398 |
| 2 | 7,2990 | 0,0000 | 14,5858 |
| 3 | 16,6398 | 14,5858 | 0,0000 |

Linear Discriminant Function for Groups

| | 1 | 2 | 3 |
|----------|---------|---------|---------|
| Constant | -562,00 | -597,65 | -615,13 |
| SPI | 2,22 | 2,26 | 2,36 |
| HPI | -0,43 | -0,36 | -0,44 |
| GINNI | 0,28 | 0,38 | 0,20 |

| | | | | | |
|----------------------------------|--|--|-------|-------|-------|
| OHI | | | 0,18 | 0,19 | 0,21 |
| Longevidade | | | -4,01 | -3,89 | -3,60 |
| Survival to age 65, female (% of | | | 1,97 | 1,96 | 1,27 |
| Survival to age 65, male (% of | | | 4,24 | 4,24 | 4,49 |
| Population, female (% of total) | | | 15,70 | 16,05 | 16,74 |
| Population growth (annual %)Ano | | | 11,61 | 12,82 | 14,63 |
| Population, totalAno 2013 | | | 0,00 | 0,00 | 0,00 |

Summary of Misclassified Observations

| Observation | True Group | Pred Group | Squared Distance | Probability |
|-------------|------------|------------|------------------|-------------|
| 15** | 1 | 3 | 1 61,42 | 0,230 |
| | | | 2 67,89 | 0,009 |
| | | | 3 59,02 | 0,761 |
| 42** | 1 | 2 | 1 7,361 | 0,497 |
| | | | 2 7,337 | 0,503 |
| | | | 3 23,219 | 0,000 |
| 50** | 1 | 3 | 1 9,424 | 0,347 |
| | | | 2 15,806 | 0,014 |
| | | | 3 8,207 | 0,638 |
| 57** | 3 | 2 | 1 23,67 | 0,003 |
| | | | 2 12,61 | 0,772 |
| | | | 3 15,07 | 0,225 |
| 59** | 1 | 2 | 1 11,181 | 0,046 |
| | | | 2 5,097 | 0,954 |
| | | | 3 22,054 | 0,000 |
| 61** | 1 | 2 | 1 8,415 | 0,399 |
| | | | 2 8,074 | 0,473 |
| | | | 3 10,685 | 0,128 |
| 68** | 3 | 1 | 1 16,92 | 0,888 |
| | | | 2 21,28 | 0,100 |
| | | | 3 25,64 | 0,011 |
| 76** | 1 | 2 | 1 12,643 | 0,126 |
| | | | 2 8,808 | 0,859 |
| | | | 3 16,922 | 0,015 |
| 86** | 1 | 2 | 1 15,84 | 0,053 |
| | | | 2 10,07 | 0,947 |
| | | | 3 35,23 | 0,000 |
| 98** | 1 | 2 | 1 11,197 | 0,278 |
| | | | 2 9,285 | 0,722 |
| | | | 3 27,089 | 0,000 |
| 99** | 1 | 3 | 1 7,727 | 0,279 |
| | | | 2 9,106 | 0,140 |
| | | | 3 6,255 | 0,581 |
| 100** | 2 | 3 | 1 12,703 | 0,034 |
| | | | 2 11,433 | 0,063 |
| | | | 3 6,119 | 0,903 |
| 110** | 2 | 3 | 1 14,131 | 0,005 |
| | | | 2 11,135 | 0,022 |
| | | | 3 3,573 | 0,973 |
| 118** | 1 | 2 | 1 4,428 | 0,469 |
| | | | 2 4,178 | 0,531 |
| | | | 3 18,192 | 0,000 |
| 128** | 2 | 3 | 1 14,52 | 0,075 |
| | | | 2 11,10 | 0,414 |
| | | | 3 10,67 | 0,511 |
| 132** | 1 | 2 | 1 10,397 | 0,352 |
| | | | 2 9,175 | 0,648 |
| | | | 3 30,187 | 0,000 |

Ordinal Logistic Regression: 3REGIOESo versus SPI; Population growth; ...

Link Function: Logit

Response Information

| Variable | Value | Count |
|-----------|-------|-------|
| 3REGIOESo | 1 | 84 |
| | 2 | 21 |
| | 3 | 27 |
| | Total | 132 |

Logistic Regression Table

| Predictor | Coef | SE Coef | Z | P | Odds Ratio |
|---------------------------------|------------|-----------|-------|-------|------------|
| Const(1) | 48,1212 | 21,9481 | 2,19 | 0,028 | |
| Const(2) | 51,2073 | 22,0617 | 2,32 | 0,020 | |
| SPI | -0,0790930 | 0,0540652 | -1,46 | 0,143 | 0,92 |
| Population growth (annual %)Ano | -1,92437 | 0,620782 | -3,10 | 0,002 | 0,15 |
| Population, female (% of total) | -0,806023 | 0,430316 | -1,87 | 0,061 | 0,45 |
| Population, totalAno 2013 | -0,0000000 | 0,0000000 | -0,05 | 0,957 | 1,00 |
| Survival to age 65, female (% o | 0,241884 | 0,117313 | 2,06 | 0,039 | 1,27 |
| Survival to age 65, male (% of | -0,0261631 | 0,113090 | -0,23 | 0,817 | 0,97 |
| HPI | -0,0407277 | 0,0220222 | -1,85 | 0,064 | 0,96 |
| GINNI | 0,0087921 | 0,0202938 | 0,43 | 0,665 | 1,01 |
| OHI | -0,0187108 | 0,0154792 | -1,21 | 0,227 | 0,98 |
| Longevidade | -0,236564 | 0,111468 | -2,12 | 0,034 | 0,79 |

| Predictor | 95% CI | |
|---------------------------------|--------|-------|
| | Lower | Upper |
| Const(1) | | |
| Const(2) | | |
| SPI | 0,83 | 1,03 |
| Population growth (annual %)Ano | 0,04 | 0,49 |
| Population, female (% of total) | 0,19 | 1,04 |
| Population, totalAno 2013 | 1,00 | 1,00 |
| Survival to age 65, female (% o | 1,01 | 1,60 |
| Survival to age 65, male (% of | 0,78 | 1,22 |
| HPI | 0,92 | 1,00 |
| GINNI | 0,97 | 1,05 |

| | | |
|-------------|------|------|
| OHI | 0,95 | 1,01 |
| Longevidade | 0,63 | 0,98 |

Log-Likelihood = -43,352
Test that all slopes are zero: G = 152,134, DF = 10, P-Value = 0,000

Goodness-of-Fit Tests

| Method | Chi-Square | DF | P |
|----------|------------|-----|-------|
| Pearson | 111,160 | 252 | 1,000 |
| Deviance | 86,703 | 252 | 1,000 |

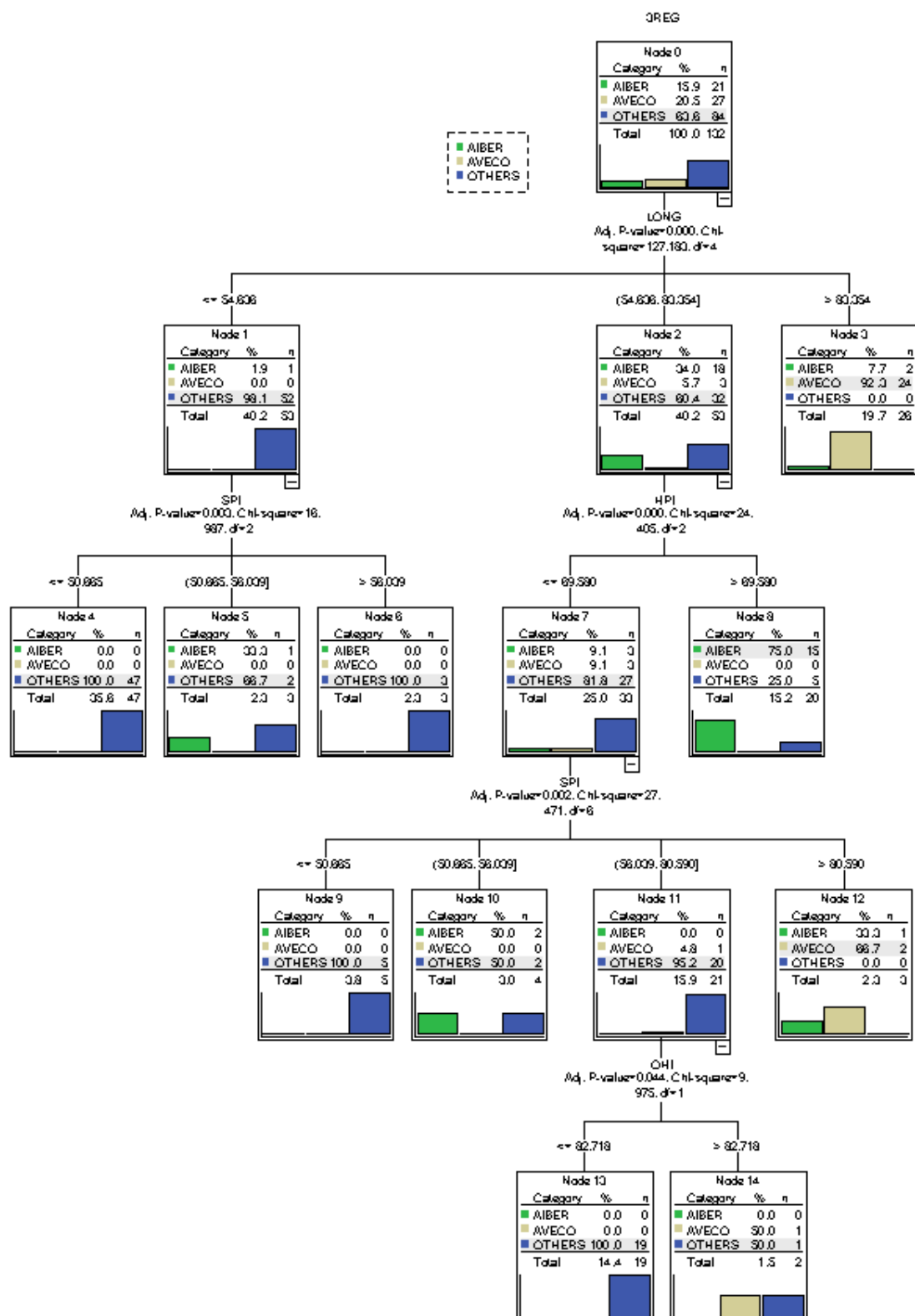
Measures of Association: (Between the Response Variable and Predicted Probabilities)

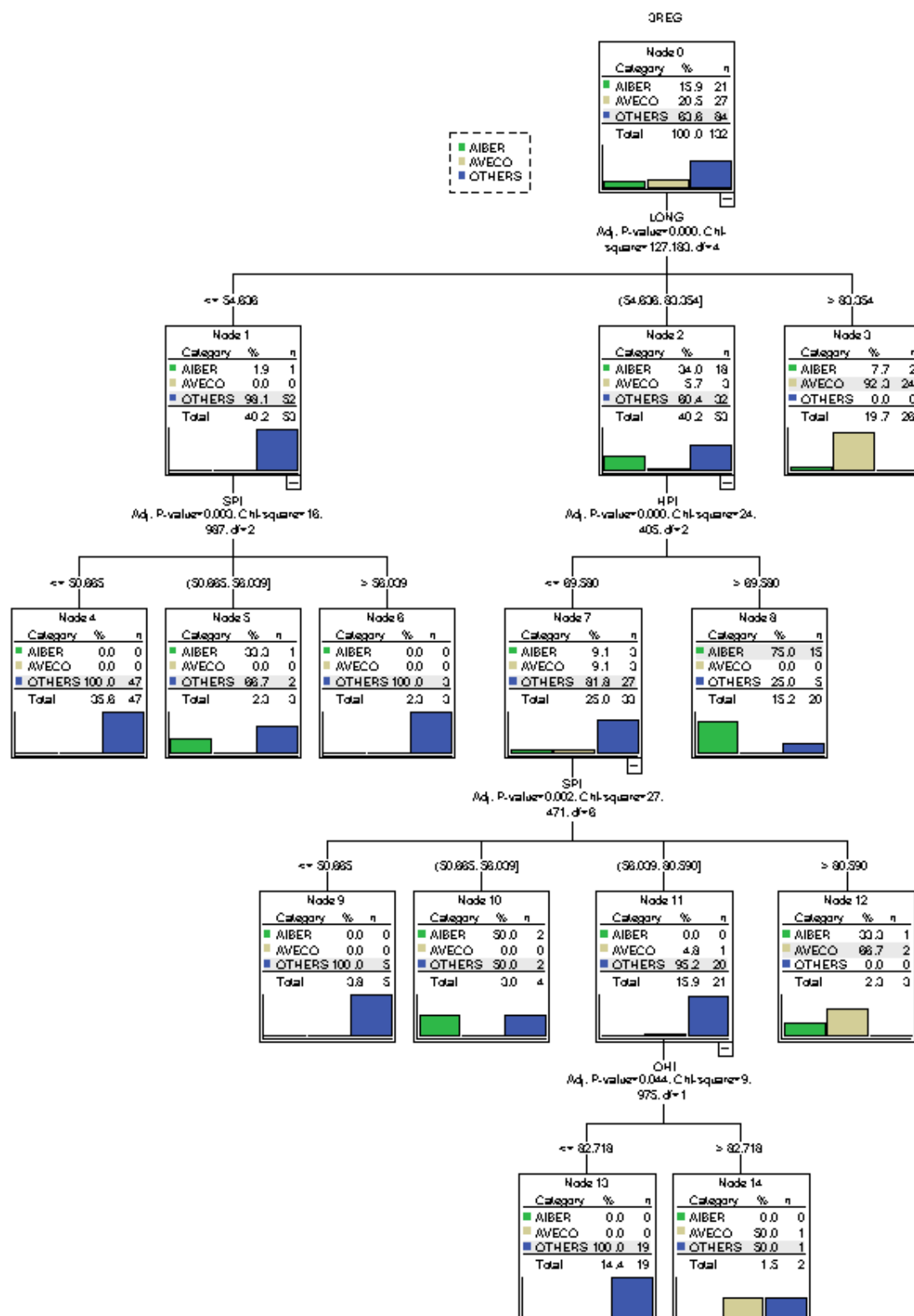
| Pairs | Number | Percent | Summary Measures |
|------------|--------|---------|----------------------------|
| Concordant | 4457 | 96,9 | Somers' D 0,94 |
| Discordant | 140 | 3,0 | Goodman-Kruskal Gamma 0,94 |
| Ties | 2 | 0,0 | Kendall's Tau-a 0,50 |
| Total | 4599 | 100,0 | |

Árvore das Três Regiões

Model Summary

| Model Summary | | |
|----------------------|--------------------------------|---|
| Specifications | Growing Method | EXHAUSTIVE CHAID |
| | Dependent Variable | 3REG |
| | Independent Variables | SPI, AWI, HPI, OHI, LONG, POPFT, SURM65, SURF65 |
| | Validation | None |
| | Maximum Tree Depth | 5 |
| | Minimum Cases in Parent Node | 3 |
| | Minimum Cases in Child Node | 2 |
| | Independent Variables Included | LONG, SPI, HPI, OHI |
| | Number of Nodes | 15 |
| | Number of Terminal Nodes | 10 |
| Results | Depth | 4 |
| | | S |





10. CLASSIFICAÇÃO SUPERVISIONADA DAS 3 REGIÕES:

DISCRIMINANT ANALYSIS: 3REGO VERSUS IDH2013; GOV; ...

Linear Method for Response: 3REGO

Predictors: IDH2013; GOV; População Acima 65 anos;
 Survival to age 65, female (% o; Survival to age 65, male (% of;
 EPI; HPI; GINNI; OHI; AWI; Longevidade

| Group | 1 | 2 | 3 |
|-------|----|----|----|
| Count | 33 | 67 | 32 |

Summary of classification

| | True Group | | |
|----------------|------------|-------|-------|
| Put into Group | 1 | 2 | 3 |
| 1 | 33 | 0 | 0 |
| 2 | 0 | 67 | 1 |
| 3 | 0 | 0 | 31 |
| Total N | 33 | 67 | 32 |
| N correct | 33 | 67 | 31 |
| Proportion | 1,000 | 1,000 | 0,969 |

N = 132 N Correct = 131 Proportion Correct = 0,992

Squared Distance Between Groups

| | 1 | 2 | 3 |
|---|---------|---------|---------|
| 1 | 0,0000 | 35,2803 | 67,8532 |
| 2 | 35,2803 | 0,0000 | 17,4401 |
| 3 | 67,8532 | 17,4401 | 0,0000 |

STEPWISE DISCRIMINANT (SPSS)

ANOVA Tests of Equality of Group Means

| | Wilks' Lambda | F | df1 | df2 | Sig. |
|----------------|---------------|---------|-----|-----|------|
| IDH | ,218 | 230,795 | 2 | 129 | ,000 |
| GOV | ,321 | 136,566 | 2 | 129 | ,000 |
| SURm65 | ,379 | 105,757 | 2 | 129 | ,000 |
| SURVF65 | ,188 | 278,538 | 2 | 129 | ,000 |
| SURVM65 | ,317 | 139,080 | 2 | 129 | ,000 |
| EPI | ,258 | 185,375 | 2 | 129 | ,000 |
| HPI | ,681 | 30,263 | 2 | 129 | ,000 |
| GINI | ,786 | 17,525 | 2 | 129 | ,000 |
| OHI | ,999 | ,089 | 2 | 129 | ,915 |
| AWI | ,551 | 52,600 | 2 | 129 | ,000 |
| LONG | ,131 | 428,210 | 2 | 129 | ,000 |

| Step | Entered | Min. D Squared | | | | | |
|------|---------|----------------|----------------|-----------|-----|---------|-----------|
| | | Statistic | Between Groups | Exact F | | | |
| | | | | Statistic | df1 | df2 | Sig. |
| 1 | LONG | 8,738 | 2,00 and 3,00 | 189,227 | 1 | 129,000 | 4,602E-27 |
| 2 | GOV | 12,014 | 2,00 and 3,00 | 129,083 | 2 | 128,000 | 2,032E-31 |
| 3 | GINI | 13,517 | 2,00 and 3,00 | 96,065 | 3 | 127,000 | 1,626E-32 |
| 4 | AWI | 14,273 | 2,00 and 3,00 | 75,481 | 4 | 126,000 | 1,602E-32 |
| 5 | HPI | 14,760 | 2,00 and 3,00 | 61,947 | 5 | 125,000 | 3,420E-32 |
| 6 | EPI | 16,100 | 2,00 and 3,00 | 55,860 | 6 | 124,000 | 6,115E-33 |
| 7 | SURVM65 | 16,257 | 2,00 and 3,00 | 47,958 | 7 | 123,000 | 3,115E-32 |
| 8 | SURm65 | 17,092 | 2,00 and 3,00 | 43,760 | 8 | 122,000 | 2,459E-32 |

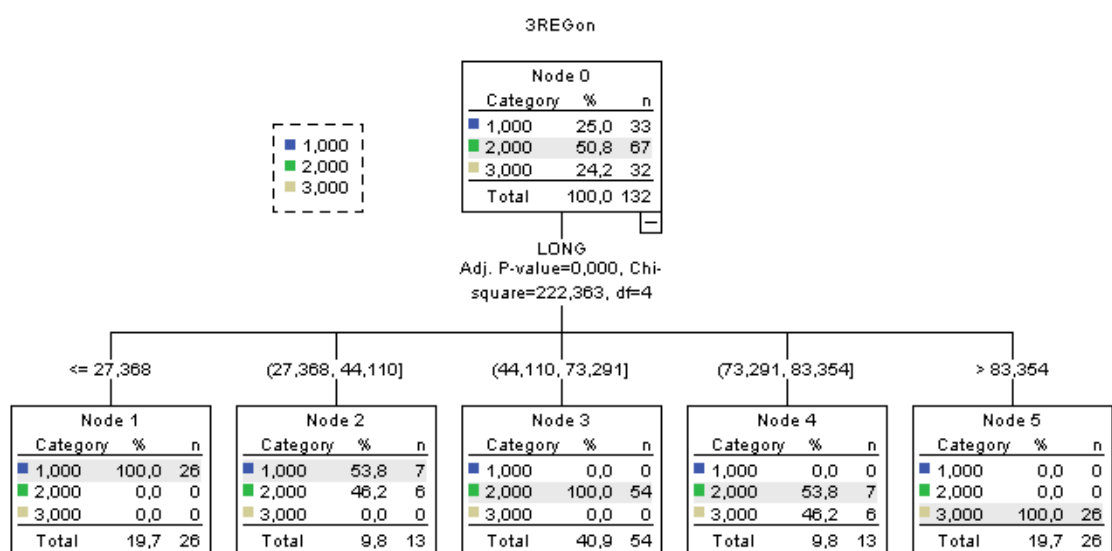
At each step, the variable that maximizes the Mahalanobis distance between the two closest groups is entered.

- a. Maximum number of steps is 22.
- b. Minimum partial F to enter is 3.84.
- c. Maximum partial F to remove is 2.71.
- d. F level, tolerance, or VIN insufficient for further computation.

| | | Classification Results ^a | | | | Total | |
|----------|-------|-------------------------------------|-------------|-------------------|-----------------------------|--------------------------------|--|
| | | Predicted Group Membership | | | | | |
| | | 1,00 | 2,00 | 3,00 | | | |
| Original | Count | 1,00 | 33 | 0 | 0 | 33 | |
| | | 2,00 | 0 | 67 | 0 | 67 | |
| | | 3,00 | 0 | 0 | 32 | 32 | |
| % | | 1,00 | 100,0 ,0 | ,0 100,0 ,0 | ,0 100,0 100,0 | 100,0 100,0 100,0 | |

a. 100,0% of original grouped cases correctly classified.

CLASSIFICATION TREE



Classification

| Observed | Predicted | | | |
|--------------------|-----------|-------|-------|-----------------|
| | 1,00 | 2,00 | 3,00 | Percent Correct |
| 1,00 | 33 | 0 | 0 | 100,0% |
| 2,00 | 6 | 61 | 0 | 91,0% |
| 3,00 | 0 | 6 | 26 | 81,3% |
| Overall Percentage | 29,5% | 50,8% | 19,7% | 90,9% |

Growing Method: EXHAUSTIVE CHAID

Dependent Variable: 3REGOn

11. COMPARAÇÃO DE 3 REGIÕES: AVECO, AIBER E OTHERS

3REGIOESo (OTHERS < AIBER < AVECO)

ANALISE DISCRIMINANTE STEPWISE SPSS

Tests of Equality of Group Means

| | Wilks' Lambda | F | df1 | df2 | Sig. |
|---------------|---------------|--------|-----|-----|------|
| IDH | ,597 | 43,453 | 2 | 129 | ,000 |
| GOV | ,399 | 97,018 | 2 | 129 | ,000 |
| SURm65 | ,508 | 62,585 | 2 | 129 | ,000 |
| SURVF65 | ,688 | 29,302 | 2 | 129 | ,000 |
| SURVM65 | ,613 | 40,667 | 2 | 129 | ,000 |
| EPI | ,481 | 69,680 | 2 | 129 | ,000 |
| HPI | ,740 | 22,688 | 2 | 129 | ,000 |
| GINI | ,725 | 24,451 | 2 | 129 | ,000 |
| OHI | ,984 | 1,063 | 2 | 129 | ,348 |
| AWI | ,543 | 54,177 | 2 | 129 | ,000 |
| LONG | ,509 | 62,335 | 2 | 129 | ,000 |

Variables Entered/Removed^{a,b,c,d}

| Step | | Min. D Squared | | | | | |
|------|------|----------------|---------------|----------------|-----------|---------|-----------|
| | | Entered | Statistic | Between Groups | Exact F | | |
| | | | | | Statistic | df1 | df2 |
| 1 | LONG | 1,312 | 2,00 and 3,00 | 15,496 | 1 | 129,000 | ,000 |
| 2 | GINI | 4,208 | 2,00 and 3,00 | 24,660 | 2 | 128,000 | 8,730E-10 |
| 3 | HPI | 5,931 | 1,00 and 3,00 | 39,767 | 3 | 127,000 | 3,436E-18 |
| 4 | AWI | 6,423 | 1,00 and 2,00 | 26,349 | 4 | 126,000 | 6,945E-16 |
| 5 | GOV | 6,727 | 1,00 and 2,00 | 21,901 | 5 | 125,000 | 1,050E-15 |

At each step, the variable that maximizes the Mahalanobis distance between the two closest groups is entered.

a. Maximum number of steps is 22.

b. Minimum partial F to enter is 3.84.

- c. Maximum partial F to remove is 2.71.
 d. F level, tolerance, or VIN insufficient for further computation.

Classification Results^a

| | 3REGIOESo | Predicted Group Membership | | | Total |
|----------------|-----------|----------------------------|------|------|--------------|
| | | 1,00 | 2,00 | 3,00 | |
| Original Count | 1,00 | 69 | 11 | 4 | 84 |
| | 2,00 | 0 | 18 | 3 | 21 |
| | 3,00 | 1 | 2 | 24 | 27 |
| % | 1,00 | 82,1 | 13,1 | 4,8 | 100,0 |
| | 2,00 | ,0 | 85,7 | 14,3 | 100,0 |
| | 3,00 | 3,7 | 7,4 | 88,9 | 100,0 |

a. 84,1% of original grouped cases correctly classified.

Ordinal Logistic Regression: 3REGIOESo versus Survival to ; Survival to ; ...

Link Function: Logit

Response Information

| Variable | Value | Count |
|-----------|-------|-------|
| 3REGIOESo | 1 | 3886 |
| | 2 | 1366 |
| | 3 | 2349 |
| | Total | 7601 |

Frequency: IDH2013

* NOTE * 129 cases were used

* NOTE * 3 cases contained missing values or was a case with zero frequency.

Logistic Regression Table

| Predictor | Coef | SE Coef | Z | P | Odds Ratio |
|---------------------------------|------------|-----------|---------------|-------|------------|
| Const(1) | 0,534433 | 0,536881 | 1,00 | 0,320 | |
| Const(2) | 3,02070 | 0,541633 | 5,58 | 0,000 | |
| Survival to age 65, female (% o | 0,206579 | 0,0099569 | 20,75 | 0,000 | 1,23 |
| Survival to age 65, male (% of | 0,0971608 | 0,0078554 | 12,37 | 0,000 | 1,10 |
| HPI | -0,0398754 | 0,0023308 | -17,11 | 0,000 | 0,96 |
| GINNI | -0,0188823 | 0,0022894 | -8,25 | 0,000 | 0,98 |
| AWI | -0,0556050 | 0,0036884 | -15,08 | 0,000 | 0,95 |
| Longevidade | -0,359910 | 0,0101891 | -35,32 | 0,000 | 0,70 |
| IDH2013 | 0,0845887 | 0,0057725 | 14,65 | 0,000 | 1,09 |

| Predictor | 95% CI | |
|---------------------------------|--------|-------|
| | Lower | Upper |
| Const(1) | | |
| Const(2) | | |
| Survival to age 65, female (% o | 1,21 | 1,25 |
| Survival to age 65, male (% of | 1,09 | 1,12 |
| HPI | 0,96 | 0,97 |
| GINNI | 0,98 | 0,99 |
| AWI | 0,94 | 0,95 |
| Longevidade | 0,68 | 0,71 |
| IDH2013 | 1,08 | 1,10 |

Log-Likelihood = -3489,624

Test that all slopes are zero: G = 8440,984, DF = 7, P-Value = 0,000

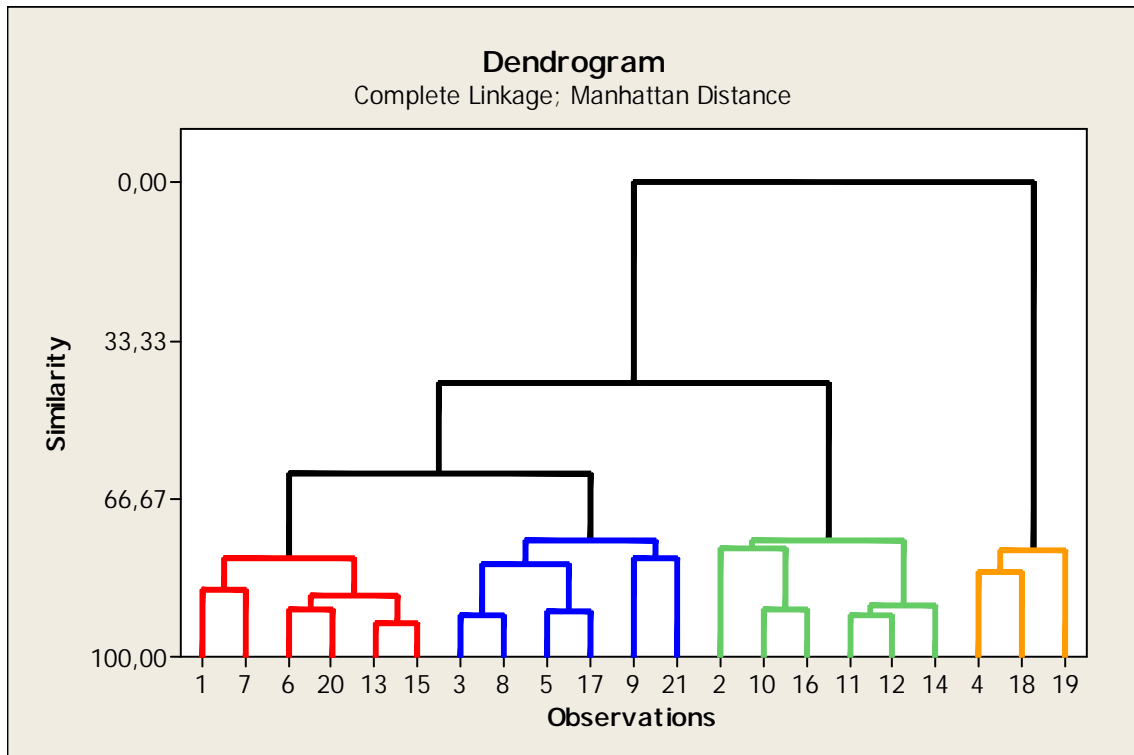
Goodness-of-Fit Tests

| | | | |
|----------|------------|-----|-------|
| Method | Chi-Square | DF | P |
| Pearson | 8619,84 | 249 | 0,000 |
| Deviance | 6979,25 | 249 | 0,000 |

Measures of Association:
(Between the Response Variable and Predicted Probabilities)

| | | | | |
|------------|----------|-------------|-----------------------|------|
| Pairs | Number | Percent | Summary Measures | |
| Concordant | 16614918 | 94,2 | Somers' D | 0,88 |
| Discordant | 1011532 | 5,7 | Goodman-Kruskal Gamma | 0,89 |
| Ties | 18774 | 0,1 | Kendall's Tau-a | 0,54 |
| Total | 17645224 | 100,0 | | |

12. ANALISE DOS 21 PAÍSES DA IBERO AMÉRICA



Discriminant Analysis: AIBER4Ro versus IDH2013; Survival to age ; ...

Linear Method for Response: AIBER4Ro

Predictors: IDH2013; Survival to age 65, female (% o; EPI; AWI; Longevidade

| Group | 1 | 2 | 3 | 4 |
|-------|---|---|---|---|
| Count | 6 | 6 | 6 | 3 |

Summary of classification

| Put into Group | True Group | | | |
|----------------|------------|---|---|---|
| | 1 | 2 | 3 | 4 |

| | | | | |
|--|-------|-------|-------|-------|
| 1 | 6 | 0 | 0 | 0 |
| 2 | 0 | 6 | 0 | 0 |
| 3 | 0 | 0 | 6 | 0 |
| 4 | 0 | 0 | 0 | 3 |
| Total N | 6 | 6 | 6 | 3 |
| N correct | 6 | 6 | 6 | 3 |
| Proportion | 1,000 | 1,000 | 1,000 | 1,000 |
| N = 21 N Correct = 21 Proportion Correct = 1,000 | | | | |

ANOVAS (SPSS)

ANOVAS

| | | Sum of Squares | df | Mean Square | F | Sig. |
|---------|----------------|----------------|----|-------------|--------|------|
| IDH | Between Groups | 2587,660 | 3 | 862,553 | 47,474 | ,000 |
| | Within Groups | 308,871 | 17 | 18,169 | | |
| | Total | 2896,531 | 20 | | | |
| SURVF65 | Between Groups | 404,598 | 3 | 134,866 | 24,522 | ,000 |
| | Within Groups | 93,495 | 17 | 5,500 | | |
| | Total | 498,093 | 20 | | | |
| EPI | Between Groups | 3436,542 | 3 | 1145,514 | 29,527 | ,000 |
| | Within Groups | 659,515 | 17 | 38,795 | | |
| | Total | 4096,057 | 20 | | | |
| AWI | Between Groups | 1252,641 | 3 | 417,547 | 10,922 | ,000 |
| | Within Groups | 649,928 | 17 | 38,231 | | |
| | Total | 1902,570 | 20 | | | |
| LONGEV | Between Groups | 2664,497 | 3 | 888,166 | 63,571 | ,000 |
| | Within Groups | 237,509 | 17 | 13,971 | | |
| | Total | 2902,006 | 20 | | | |

STEPWISE DICRIMINANT (SPSS)

Variables in the Analysis

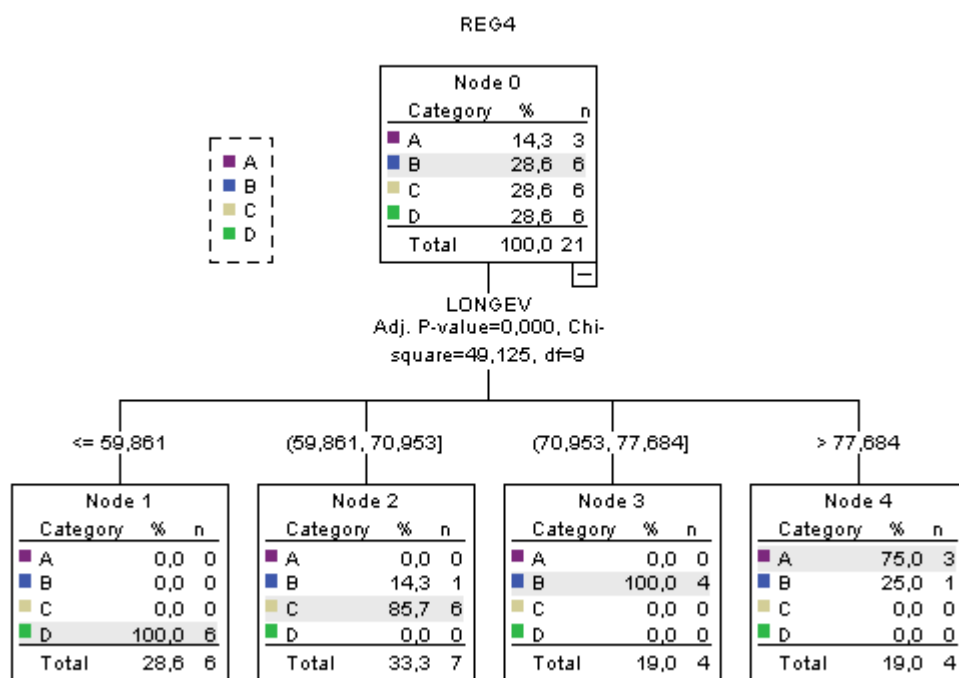
| Step | Tolerance | F to Remove | Wilks' Lambda |
|------|-----------|-------------|---------------|
| 1 | 1,000 | 63,571 | |
| 2 | ,991 | 8,307 | ,107 |
| | ,991 | 5,135 | ,082 |
| 3 | ,806 | 2,770 | ,033 |
| | ,921 | 4,975 | ,043 |
| | ,779 | 4,672 | ,042 |

Classification Results^a

| | AIBER4Ro | Predicted Group Membership | | | | Total |
|----------|----------|----------------------------|-------|-------|-------|-------|
| | | 1,00 | 2,00 | 3,00 | 4,00 | |
| Original | Count | 1,00 | 6 | 0 | 0 | 6 |
| | | 2,00 | 0 | 6 | 0 | 6 |
| | | 3,00 | 0 | 0 | 6 | 6 |
| | | 4,00 | 0 | 0 | 3 | 3 |
| | % | 1,00 | 100,0 | ,0 | ,0 | 100,0 |
| | | 2,00 | ,0 | 100,0 | ,0 | 100,0 |
| | | 3,00 | ,0 | ,0 | 100,0 | 100,0 |
| | | 4,00 | ,0 | ,0 | 100,0 | 100,0 |

a. 100,0% of original grouped cases correctly classified.

ÁRVORE DA CLASSIFICAÇÃO DAS 4 REGIÕES DA AIBER



Classification

| Observed | Predicted | | | | Percent Correct |
|--------------------|-----------|-------|-------|-------|-----------------|
| | A | B | C | D | |
| A | 3 | 0 | 0 | 0 | 100,0% |
| B | 1 | 4 | 1 | 0 | 66,7% |
| C | 0 | 0 | 6 | 0 | 100,0% |
| D | 0 | 0 | 0 | 6 | 100,0% |
| Overall Percentage | 19,0% | 19,0% | 33,3% | 28,6% | 90,5% |

Classification

| Observed | Predicted | | | | Percent Correct |
|--------------------|-----------|-------|-------|-------|-----------------|
| | A | B | C | D | |
| A | 3 | 0 | 0 | 0 | 100,0% |
| B | 1 | 4 | 1 | 0 | 66,7% |
| C | 0 | 0 | 6 | 0 | 100,0% |
| D | 0 | 0 | 0 | 6 | 100,0% |
| Overall Percentage | 19,0% | 19,0% | 33,3% | 28,6% | 90,5% |

Growing Method: EXHAUSTIVE CHAID

Dependent Variable: REG4

One-way ANOVA: SPI versus LONG

| Source | DF | SS | MS | F | P |
|--------|----|--------|-------|-------|-------|
| LONG | 3 | 1999,6 | 666,5 | 13,22 | 0,000 |
| Error | 17 | 857,2 | 50,4 | | |
| Total | 20 | 2856,8 | | | |

S = 7,101 R-Sq = 69,99% R-Sq(adj) = 64,70%

Individual 95% CIs For Mean Based on
Pooled StDev

| Level | N | Mean | StDev | -----+-----+-----+----- |
|-------|---|--------|--------|--|
| A | 3 | 83,729 | 4,500 | (-----*-----) |
| B | 6 | 68,988 | 11,655 | (-----*-----) |
| C | 6 | 60,766 | 4,738 | (-----*-----) |
| D | 6 | 53,807 | 2,246 | (-----*-----) |
| | | | | -----+-----+-----+----- |
| | | | | 48 60 72 84 |

Pooled StDev = 7,101

One-way ANOVA: IDH2013 versus LONG

| Source | DF | SS | MS | F | P |
|--------|----|--------|-------|-------|-------|
| LONG | 3 | 2587,7 | 862,6 | 47,47 | 0,000 |
| Error | 17 | 308,9 | 18,2 | | |
| Total | 20 | 2896,5 | | | |

S = 4,262 R-Sq = 89,34% R-Sq(adj) = 87,45%

Individual 95% CIs For Mean Based on
Pooled StDev

| Level | N | Mean | StDev | -----+-----+-----+----- |
|-------|---|------|-------|-------------------------|
|-------|---|------|-------|-------------------------|

| | | | | | | |
|---|---|--------|-------|--------------------------|----|----|
| A | 3 | 82,482 | 4,470 | (-----*-----) | | |
| B | 6 | 73,449 | 4,136 | (---*---) | | |
| C | 6 | 64,388 | 4,032 | (---*---) | | |
| D | 6 | 50,577 | 4,519 | (---*---) | | |
| | | | | +-----+-----+-----+----- | | |
| | | | 48 | 60 | 72 | 84 |

Pooled StDev = 4,262

One-way ANOVA: GOV versus LONG

| Source | DF | SS | MS | F | P |
|--------|----|------|------|-------|-------|
| LONG | 3 | 4736 | 1579 | 11,43 | 0,000 |
| Error | 17 | 2348 | 138 | | |
| Total | 20 | 7084 | | | |

S = 11,75 R-Sq = 66,86% R-Sq(adj) = 61,01%

Individual 95% CIs For Mean Based on
Pooled StDev

| Level | N | Mean | StDev | +-----+-----+-----+----- | | |
|-------|---|-------|-------|--------------------------|----|----|
| A | 3 | 74,94 | 5,33 | (-----*-----) | | |
| B | 6 | 47,79 | 15,88 | (-----*-----) | | |
| C | 6 | 32,84 | 13,23 | (-----*-----) | | |
| D | 6 | 30,60 | 5,55 | (-----*-----) | | |
| | | | | +-----+-----+-----+----- | | |
| | | | 20 | 40 | 60 | 80 |

Pooled StDev = 11,75

One-way ANOVA: Survival to age 65, female (% o versus LONG)

| Source | DF | SS | MS | F | P |
|--------|----|--------|--------|-------|-------|
| LONG | 3 | 404,60 | 134,87 | 24,52 | 0,000 |
| Error | 17 | 93,49 | 5,50 | | |
| Total | 20 | 498,09 | | | |

S = 2,345 R-Sq = 81,23% R-Sq(adj) = 77,92%

Individual 95% CIs For Mean Based on
Pooled StDev

| Level | N | Mean | StDev | +-----+-----+-----+----- | | |
|-------|---|--------|-------|--------------------------|------|------|
| A | 3 | 92,286 | 2,010 | (-----*-----) | | |
| B | 6 | 87,834 | 1,315 | (---*---) | | |
| C | 6 | 83,346 | 1,851 | (---*---) | | |
| D | 6 | 79,499 | 3,454 | (---*---) | | |
| | | | | +-----+-----+-----+----- | | |
| | | | 80,0 | 85,0 | 90,0 | 95,0 |

Pooled StDev = 2,345

One-way ANOVA: EPI versus LONG

| Source | DF | SS | MS | F | P |
|--------|----|--------|--------|-------|-------|
| LONG | 3 | 3436,5 | 1145,5 | 29,53 | 0,000 |
| Error | 17 | 659,5 | 38,8 | | |
| Total | 20 | 4096,1 | | | |

S = 6,229 R-Sq = 83,90% R-Sq(adj) = 81,06%

Individual 95% CIs For Mean Based on
Pooled StDev

| Level | N | Mean | StDev | | | | |
|-------|---|--------|-------|--|--|--|---------------|
| A | 3 | 81,952 | 7,163 | | | | (-----*-----) |
| B | 6 | 52,487 | 4,436 | | | | (---*---) |
| C | 6 | 50,017 | 7,132 | | | | (---*---) |
| D | 6 | 40,966 | 6,390 | | | | (--*--) |

45 60 75 90

Pooled StDev = 6,229

One-way ANOVA: AWI versus LONG

| Source | DF | SS | MS | F | P |
|--------|----|--------|-------|-------|-------|
| LONG | 3 | 1252,6 | 417,5 | 10,92 | 0,000 |
| Error | 17 | 649,9 | 38,2 | | |
| Total | 20 | 1902,6 | | | |

S = 6,183 R-Sq = 65,84% R-Sq(adj) = 59,81%

Individual 95% CIs For Mean Based on Pooled StDev

| Level | N | Mean | StDev | | | | |
|-------|---|--------|-------|--|--|--|---------------|
| A | 3 | 63,467 | 7,073 | | | | (-----*-----) |
| B | 6 | 60,817 | 5,188 | | | | (-----*-----) |
| C | 6 | 47,933 | 7,509 | | | | (-----*-----) |
| D | 6 | 44,800 | 5,165 | | | | (-----*-----) |

40,0 48,0 56,0 64,0

Pooled StDev = 6,183

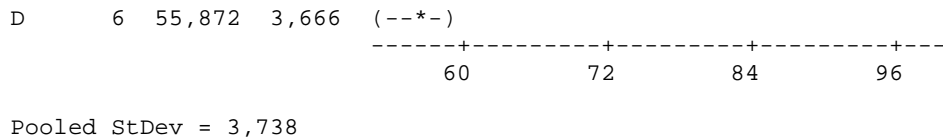
One-way ANOVA: Longevidade versus LONG

| Source | DF | SS | MS | F | P |
|--------|----|--------|-------|-------|-------|
| LONG | 3 | 2664,5 | 888,2 | 63,57 | 0,000 |
| Error | 17 | 237,5 | 14,0 | | |
| Total | 20 | 2902,0 | | | |

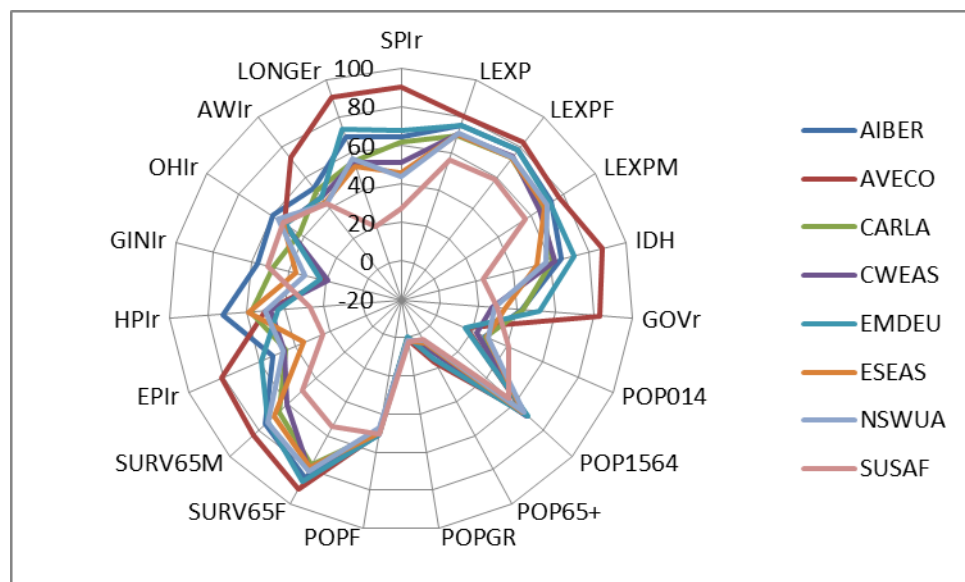
S = 3,738 R-Sq = 91,82% R-Sq(adj) = 90,37%

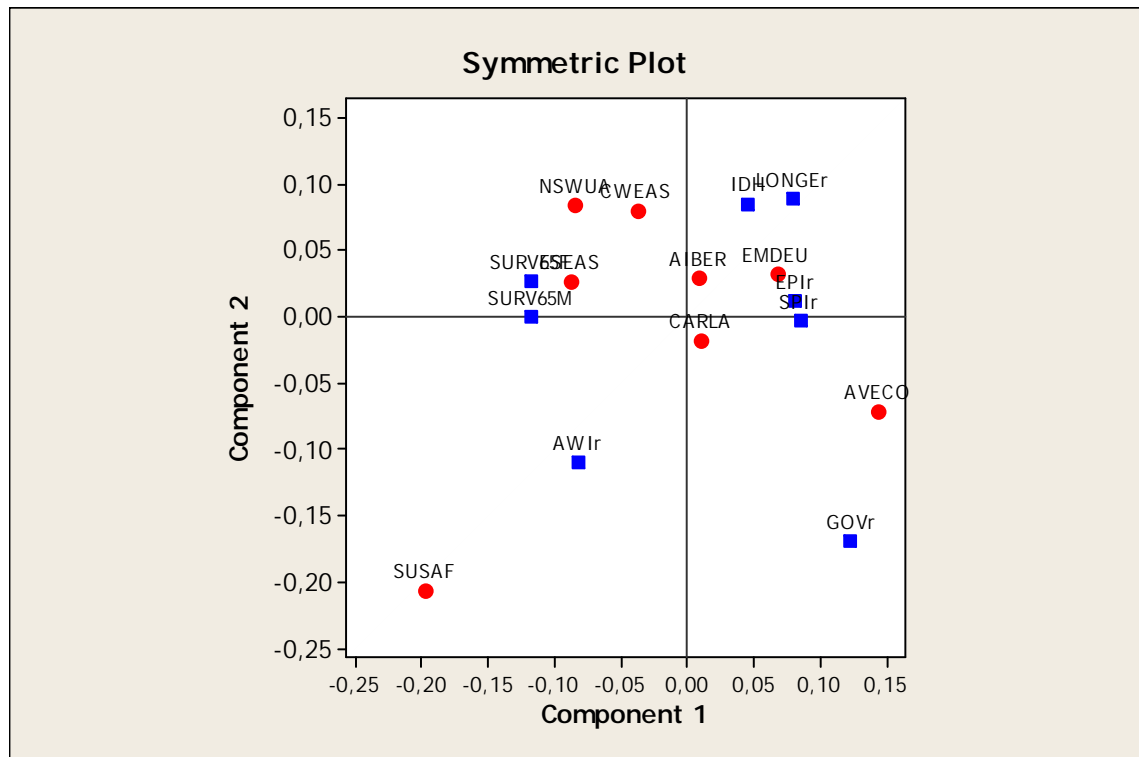
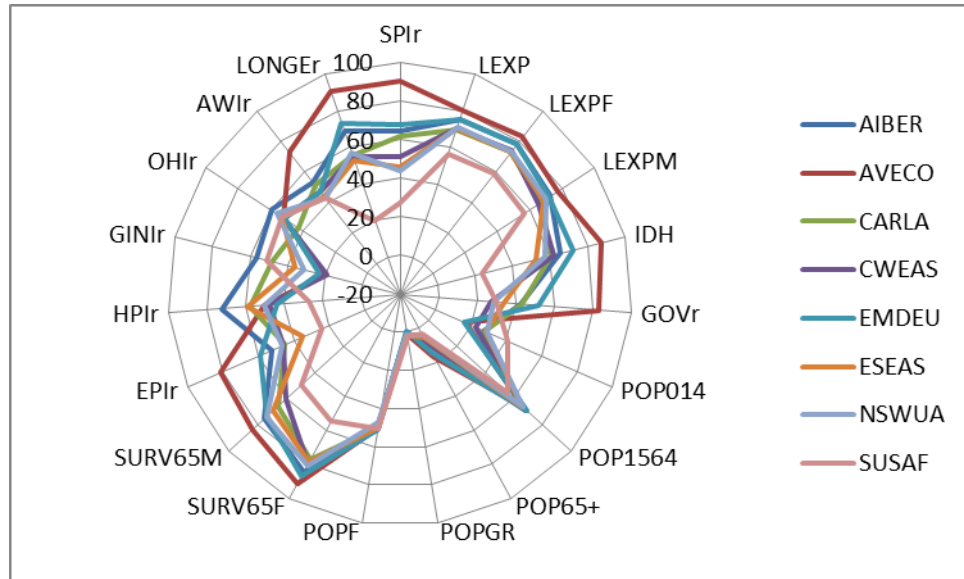
Individual 95% CIs For Mean Based on
Pooled StDev

| Level | N | Mean | StDev | | | | |
|-------|---|--------|-------|--|--|--|-----------|
| A | 3 | 89,830 | 6,050 | | | | (---*---) |
| B | 6 | 75,076 | 3,431 | | | | (--*--) |
| C | 6 | 64,745 | 2,766 | | | | (--*--) |



| Variáveis | F |
|----------------------------------|-------|
| SPI | 13,22 |
| IDH2013 | 47,47 |
| GOV | 11,43 |
| Survival to age 65, female (% of | 24,52 |
| EPI | 29,53 |
| AWI | 10,92 |
| Longevidade | 63,57 |

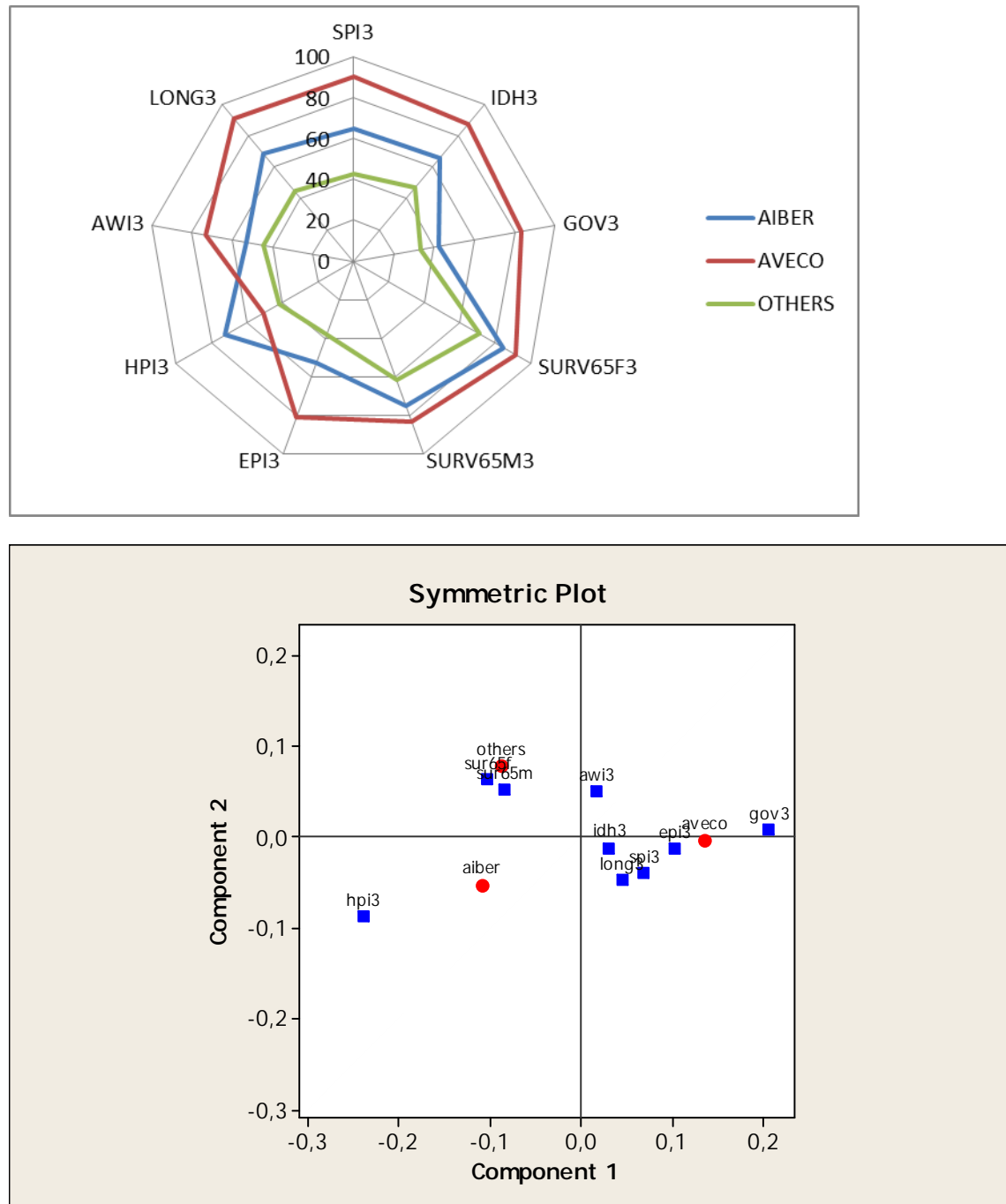




Simple Correspondence Analysis: SPIr; IDH; GOVr; SURV65F; SURV65M; EPIr; AWIr;

Analysis of Contingency Table

| Axis | Inertia | Proportion | Cumulative | Histogram |
|------|---------|------------|------------|-----------|
| 1 | 0,0091 | 0,5437 | 0,5437 | ***** |
| 2 | 0,0060 | 0,3572 | 0,9009 | ***** |
| 3 | 0,0008 | 0,0497 | 0,9506 | ** |
| 4 | 0,0006 | 0,0337 | 0,9843 | * |



Simple Correspondence Analysis: SPI3; IDH3; GOV3; SURV65F3; SURV65M3; EPI3; HPI

Analysis of Contingency Table

| Axis | Inertia | Proportion | Cumulative | Histogram |
|-------|---------|------------|------------|-----------|
| 1 | 0,0137 | 0,8509 | 0,8509 | ***** |
| 2 | 0,0024 | 0,1491 | 1,0000 | **** |
| Total | 0,0161 | | | |

| | SPI3 | IDH3 | GOV3 | SURV65F3 | SURV65M3 | EPI3 | HPI3 | AWI3 | LONG3 |
|----------|--------------|-------|--------------|----------|----------|--------------|-------|-------|--------------|
| AIBER | 64,41 | 65,62 | 42,48 | 84,81 | 75,25 | 52,7 | 72,36 | 52,94 | 68,75 |
| AVECO | 90,3 | 87,36 | 83,25 | 91,33 | 83,53 | 81,39 | 50,58 | 73,15 | 91,09 |
| OTHERS | 42,63 | 46,74 | 33,36 | 71,19 | 61,73 | 37,95 | 41,79 | 44,49 | 44,43 |
| | * | * | * | * | * | * | * | * | * |
| F | 83,97 | 43,45 | 97,02 | 29,3 | 40,67 | 69,68 | 22,69 | 54,18 | 62,34 |

Os Indicadores que mais diferenciam as três Regiões (major F) !